

⑤

Del M-35.9 al M-39.6

MODELOS CORPÓREOS



UNIVERSIDAD DE SEVILLA



601280240

UNIVERSIDAD DE SEVILLA
Facultad de Matemáticas
Biblioteca

o. 127382

i. 31210907

- Bib. -

C

TAP/007

EJECUTADO

VARIANTE DEL MODELO M-35.7, DE

IGUAL FORMA QUE ÉSTE, SIENDO MÁS

PEQUEÑO EL RADIO DE SU ESFERA CIR-

CUNSCRITA.

Radio de la esfera circunscrita:

$$r_{ec}^B = 76.1 \text{ mm.}$$

ENUNCIADO: Construir el modelo corpóreo del "ARQUIMEDIANO III", obtenido por truncadura de vértices de un octaedro regular convexo, de arista " a_8 ", al tomar sobre cada arista, y desde su vértice, la distancia $x = \frac{1}{2} a_8$. - El Arquimedeiano generado se construirá con las caras macizas, y el octaedro generador, con las caras vacías en los vértices truncados.

Este modelo puede considerarse como una variante del modelo M-35.7, de igual forma, pero siendo menor el radio de la esfera circunscrita al octaedro generador.
($r_{ec}^8 = 76.1 \text{ mm} < 110 \text{ mm}$).

Para obtener el desarrollo de este modelo, utilizaremos el mismo estudio analítico, hecho en el modelo M-35.7, determinando previamente el coeficiente "k" de reducción ($k = 76.1 : 110$), o relación entre los radios correspondientes de sus respectivas esferas circunscritas.

DATO "ÚNICO" DEL EJERCICIO

$$r_{ec}^8 = 110 \text{ mm}$$

COEFICIENTE DE REDUCCIÓN

$$k = \frac{76.1}{110} = 0,6918 \dots$$

Canfari

Octubre 1980

A continuación presentamos diversas tablas de longitudes y ángulos, cuyas dimensiones han sido reseñadas en las distintas figuras del modelo M-35.7, y de los valores correspondientes a aplicar en la construcción de este nuevo modelo M-35.9, en el que son necesarias, para su construcción, las siguientes piezas:

PIEZA N° 1 CARAS LATERALES TRIANGULARES, REGU-
LARES 8 unidades

La figura n° 1, ha de constarse con las siguientes cotas modificadas:

<u>FIGURA 1</u>	Longitudes m m	Cotas modificadas m m
<u>Pieza n° 1</u> 8 (u)	77.8	53.8

PIEZA N° 2 CARAS LATERALES CUADRADAS 6 unidades

La figura n° 2, ha de constarse con las siguientes cotas modificadas:

<u>FIGURA 2</u>	Longitudes	Cotas modificadas
<u>Pieza n° 2</u> 6 (u)	77.8	53.8

No. 1000	Date	Page

PIEZA N° 3 REFUERZO NORMAL EN CARAS TRIANGULARES
REGULARES 8 unidades

La figura 3, ha de construirse con las siguientes cotas modificadas:

<u>FIGURA 3</u>	<u>Longitudes</u> mm	<u>Cotas modificadas</u> mm
<u>Pieza n° 3</u>	77.8	53.8
8 (u)	5.5	5

PIEZA N° 4 REFUERZO NORMAL EN CARAS CUADRADAS
6 unidades

La figura 4, ha de construirse con las siguientes cotas modificadas:

<u>FIGURA 4</u>	<u>Longitudes</u> mm	<u>Cotas modificadas</u> mm
<u>Pieza n° 4</u>	77.8	53.8
6 (u)	5.5	5

PIEZA N° 5 REFUERZO TRANSVERSAL EN CARAS TRIANGULARES REGULARES 16 unidades

Debido al pequeño tamaño de estas caras, se suprime este refuerzo

PIEZA N° 6 REFUERZO TRANSVERSAL EN CARAS CUADRADAS

12 unidades

La figura 7, correspondiente a este refuerzo, queda sustituida por la siguiente 7' (modificada)

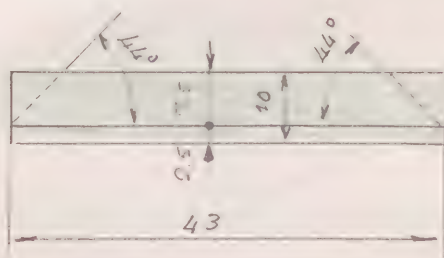


Figura 7'

PIEZA N° 6 12 (u)

Figura 7'

PIEZA N° 7 UNIONES ARISTAS

24 unidades

La figura 8, ha de construirse con las siguientes cotas modificadas:

<u>FIGURA 7</u>	<u>Longitudes</u> m m	<u>Cotas modificadas</u> m m
<u>Pieza n° 7</u>	76	53
<u>24 (u)</u>	4	4
	29°	29°
	44°	44°

PIEZA N° 8 FORDO COLOREADO EN CARAS TRIANGULA-

RES REGULARES

8 unidades

La figura 9, ha de construirse con las siguientes cotas modificadas:

<u>FIGURA 9</u>	<u>Longitudes</u> m m	<u>Cotas modificadas</u> m m
<u>Pieza n° 8</u>	77.8	53.8
<u>8 (u)</u>	2	2

PIEZA N° 9 FORRO COLOREADO EN CARAS CUADRADAS 6 unidades

La figura 10 ha de construirse con las siguientes cotas modificadas:

<u>FIGURA 10</u>	Longitudes m m	Cotas modificadas
<u>Pieza n° 9</u>	77.8	53.8
6 (u)	2	2

PIEZA N° 10 DESARROLLO LATERAL DE LAS SEIS PIRÁMIDES TRUNCADAS 6 unidades

La figura 11, ha de construirse con las siguientes cotas modificadas:

<u>FIGURA 11</u>	Longitudes m m	Cotas modificadas m m
<u>PIEZA N° 10</u>	77.8	53.8
6 (u)	4	3

PIEZA N° 11 UNIONES ARISTAS 24 unidades

La figura 12 ha de construirse con las siguientes cotas modificadas:

<u>FIGURA 12</u>	Longitudes m m	Cotas modificadas m m
<u>PIEZA N° 11</u>	76	52.5
24 (u)	3.5	21.5
	44°	44°

INTRODUCCIÓN A LOS MODELOS SOBRE

POLIEDROS SEMI-REGULARES CONVEXOS, O

"POLIEDROS ARQUIMEDIANOS"

ESTUDIO PREVIO A LA CONSTRUCCIÓN DE LOS

MISMOS.- PROCESO DE TRUNCADURA PARALE-

LA DE ARISTAS, EN LOS POLIEDROS REGULARES

CONVEXOS REPRESENTADOS EN LAS

LÁMINAS 1 a 5.

ENUNCIADO: Estudio previo a la construcción de poliedros Arquimedianos.- Proceso de obtención por el procedimiento de TRUNCADURA PARALELA DE ARISTAS, seguida de una TRUNCADURA DE VÉRTICES, (o viceversa), de los poliedros regulares convexos.

1. GENERALIDADES

En la introducción al modelo M-39.1, en su párrafo 5, expusimos que los trece Arquimedianos del Grupo 1º; el A_3 del Grupo 2º (octaedro regular convexo) y el B_4 del Grupo 3º (cuboctaedro regular convexo), pueden derivarse por varios procesos diferentes, de los cinco poliedros regulares convexos.

Entre ellos, estudiamos y aplicamos en este ejercicio, el denominado "TRUNCADURA PARALELA DE ARISTAS", seguida de una "TRUNCADURA DE VÉRTICES" de un poliedro regular convexo cualquiera.

La operación geométrica denominada "TRUNCADURA DE VÉRTICES" de un poliedro regular convexo, fue definida y estudiada en el estudio previo correspondiente al modelo M-39.5, por lo que omitimos su repetición.

La "TRUNCADURA PARALELA DE ARISTAS" la definiremos y estudiamos a continuación.



2. DEFINICIONES

La operación geométrica denominada "TRUNCADURA PARALELA DE ARISTAS" de un poliedro regular convexo generador, consiste en cortar los diedros formados por dos caras contiguas, por planos paralelos a sus aristas comunes, siendo al mismo tiempo estos planos perpendiculares al respectivo plano bisector de dichas caras contiguas. La distancia de cada arista al plano secante, ha de ser la misma en todas ellas.

La intersección del plano secante con las dos caras adyacentes a cada arista, será de dos rectas paralelas a dicha arista, y equidistantes de ésta. Estas rectas intersección dan lugar, en cada cara, a la formación de un polígono regular convexo, de igual número de lados que el de las caras del poliedro generador, siendo al mismo tiempo paralelos los lados de ambos polígonos.

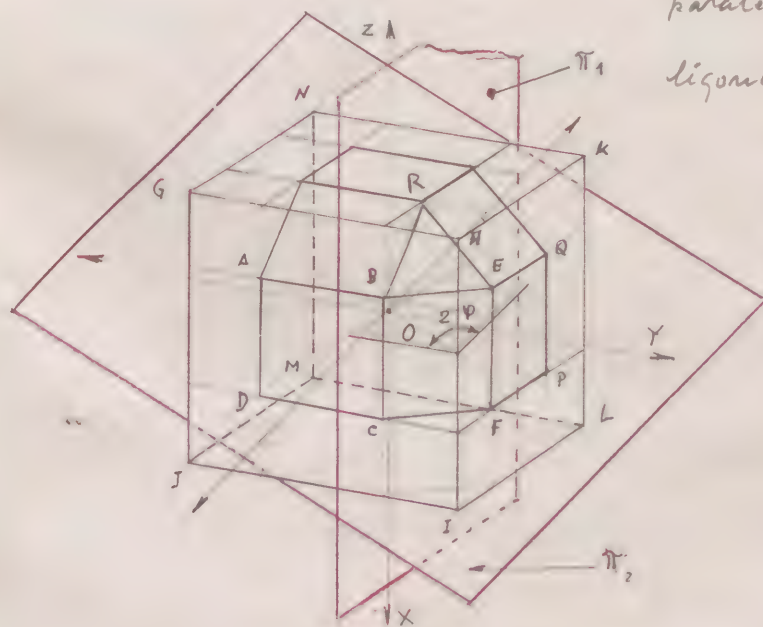


Figura 1

En la figura 1 hemos representado ^{P.O.} un poliedro regular generador (cubo GHIJKLMNOP) en el que el plano secante π_1 es paralelo a la arista HI, y al mismo tiempo perpendicular al bisector del



ángulo 2φ formados por las caras contiguas $GHIJ$ y $HKLI$ del poliedro generador. La intersección del plano π_1 con la cara $GHIJ$ será pues una recta \overline{BC} paralela a la arista \overline{HI} , e igualmente la intersección de π_1 con la cara $HKLI$, será también otra recta \overline{EF} paralela a la misma arista \overline{HI} . Así pues, las rectas \overline{BC} y \overline{EF} , son paralelas entre sí y equidistantes de la arista \overline{HI} .

Supongamos ahora que realizamos esta TRUNCADURA PARALELA DE ARISTAS, en todas las aristas del poliedro regular generador, en las que el plano secante π_1 esté siempre a la misma distancia de cada arista, siendo la distancia del plano secante π_1 al centro O del poliedro generador menor que la de la respectiva arista a dicho centro.

Esta truncadura de aristas dará lugar a la formación en cada cara del poliedro generador de polígonos regulares semejantes a los de dichas caras, cuyos respectivos centros son coincidentes y al mismo tiempo tienen sus lados paralelos. En el ejemplo de la figura 1 (en que el poliedro generador es un cubo) los polígonos de las caras de dicho poliedro generador, (caras $GHIJ$, $HKLI$, y las cuatro restantes), son cuadrados, y los polígonos que producen las intersecciones de los planos secantes π_1 en cada cara, son a su vez cuadrados (tales como el $ABCD$ en la cara $GHIJ$; el $EQPF$ en la cara $HKLI$, y los cuatro restantes). Estos polígonos regulares, son



pues semejantes, concéntricos y de lados paralelos.

En la figura 2 se presentan la cara GH IJ del poliedro generador (cubo) y la ABCD producido por la intersección de los planos secantes,

π_1 , paralelos a las aristas HI = IJ = JG = GH = a^n a la distancia y de sus vértices, siendo a^n la arista del poliedro y 2φ el ángulo diedro formado por sus dos caras contiguas GH IJ y HKLI.

Los polígonos GH IJ y ABCD, son regulares (semejantes), concéntricos y de lados paralelos.

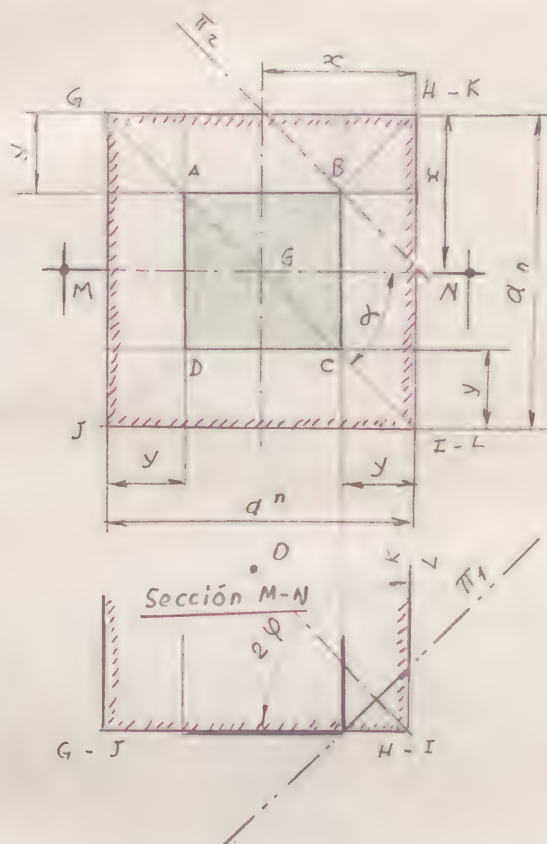


Figura 2

Si sumamos un vértice B del polígono regular de n lados ($n = 4$) con los vértices homólogos situados en las caras que forman el ángulo sólido del vértice H, (todos equidistantes de H) se nos formará el polígono regular BER... (figura 1), de tantos lados como sean el número p de caras concurrentes en cada vértice del mencionado poliedro regular generador.

Estos vértices estarán situados en un plano π_2 perpendicular al radio HO de la esfera circunscrita al poliedro generador. Si pues, el plano π_2 puede considerarse como el plano secante de una truncadura de vértices a la dis-



tancia " x ". El polígono regular $BED...$ (figura 1) tiene sus vértices en los puntos medios de los lados del polígono regular que se obtiene por la TRUNCADURA DE VÉRTICES a la distancia " x " del plano π_2 .

En la TRUNCADURA PARALELA DE ARISTAS, se puede fijar la posición del plano π_1 (fig. 3) con respecto a la arista correspondiente del poliedro generador, por su mínima distancia, o mejor por las distancias " $y = \overline{QB} = \overline{BS} = \overline{UC} = \overline{CT}$ " (fig. 3), en las que el plano secante π_1 corta a las aristas $\overline{TB} = \overline{MC} = \overline{VB} = \overline{NC}$, contiguas a \overline{BC} de dos caras adyacentes del po-

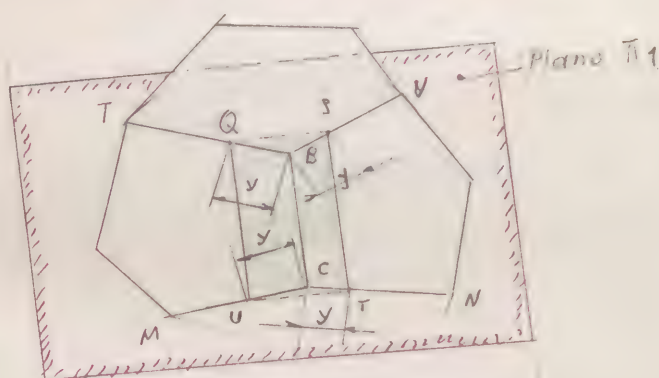


Figura 3

liedro regular generador. Las distancias x e y no son independientes entre sí, y al fijar una de ellas queda determinada la posición de los planos secantes π_1 y π_2 .

3. POLIEDRO NÚCLEO

Si en un poliedro regular convexo cualquiera hacemos una "truncadura paralela de aristas" definida anteriormente, y a continuación una "truncadura de vértices", definida en el párrafo 2 del modelo M-39.5 (o viceversa; 1° la truncadura de vértices y 2° la de aristas) e imaginamos que se retiran las zonas truncadas de ambas truncaduras, quedará como residuo

un poliedro convexo al que denominaremos "poliedro núcleo", de las siguientes características geométricas:

- a) Los planos secantes " π_1 " de la "truncadura paralela de aristas" (figura 1), producirán en cada cara del poliedro generador, polígonos regulares convexos semejantes a los de dicha cara y situados en ésta (triángulos equiláteros en el tetraedro, octaedro e icosaedro; cuadrados en el escaedro; y pentágonos en el dodecaedro).
- b) Los planos secantes " π_2 " de la "truncadura de vértices" (figura 1), producirán en cada vértice del poliedro generador, polígonos regulares convexos de tantos lados como caras concurren en dicho vértice, y que al unir los puntos medios de los lados de dichos polígonos, se nos formarán otros semejantes a los anteriores, situados en π_2 . Los lados de estos últimos son intersecciones de los planos π_1 y π_2 . (En el ejemplo de la figura 1 (escaedro), está representado uno de estos polígonos por el triángulo equilátero BER).- Los polígonos regulares de esta truncadura de vértices, son triángulos en el tetraedro, escaedro y dodecaedro; cuadrados en el octaedro; y pentágonos en el icosaedro.
- c) Los planos secantes " π_1 " y " π_2 " producirán también caras rectangulares BEFC (fig. 1), paralelas a cada



arista del poliedro generador, que podemos considerar asociada a la misma.

El conjunto de polígonos descritos en los apartados anteriores a), b) y c), constituyen en su forma y número, las caras superficiales del poliedro núcleo obtenido en cada poliedro regular al efectuar, sucesivamente en el mismo, una truncadura paralela de aristas y una truncadura de vértices (o viceversa). Los polígonos obtenidos según los apartados a) y b) son siempre regulares cuya tamaño depende de la situación relativa de los planos secantes con respecto al poliedro regular generador. Los polígonos obtenidos según el apartado c) son, en general rectángulos que en algún caso especial pueden convertirse en cuadrados. Esto sucederá (ver figura 1), cuando sea $\overline{BE} = \overline{BC}$, para lo cual han de tener los planos secantes π_1 y π_2 una posición especial, definida por los segmentos "x" e "y", cuyas magnitudes determinaremos posteriormente para cada poliedro generador.

La posibilidad de existencia de esta posición especial la establecemos por las siguientes consideraciones.

En efecto: cualquier posición del plano π_1 , dará lugar a la formación de polígonos regulares detallados en el apartado a) cuyos lados irán decreciendo a medida que dicho plano se aproxime al centro "O" del polie-

dos generador. Por otra parte, la posición del plano π_1 fija a su vez la del plano π_2 (que pasa por los vértices de los polígonos engendrados según el apartado a)) dando lugar este último a la formación de nuevos polígonos regulares, detallados en el apartado b), y cuyos lados van aumentando simultáneamente, a medida que el plano π_2 se aproxima al mencionado centro "O" del poliedro generador. Por consiguiente existirá una posición tal de ambos planos π_1 y π_2 en la que los lados de ambos polígonos detallados en los apartados a) y b), sean iguales.

Ello ocurrirá cuando se cumpla la condición de ser
 $\overline{BE} = \overline{BC}$ (figura 1).

Como resumen de lo expuesto anteriormente podemos establecer que una "truncadura paralela de aristas" seguida de una "truncadura de vértices" (o viceversa) en un poliedro regular convexo, da lugar a la formación de un "poliedro núcleo" cuyas caras en general, son regulares, excepto las paralelas a las aristas que son rectangulares.

Existe una "posición especial" de los planos π_1 y π_2 de las dos truncaduras en que las caras paralelas a las aristas se transforman en cuadrados, en cuyo caso el "poliedro núcleo" es un "POLIEDRO ARQUIMEDIANO" distinto en cada poliedro regular generador.

En el estudio analítico que efectuamos a continuación obtenemos fórmulas generales de las magnitudes lineales de los distintos poliedros Arquimedianos obtenidos por truncadura sucesiva de vértices y aristas de los distintos poliedros regulares generadores.

4). CÁLCULO ANALÍTICO DE MAGNITUDES DE POLIEDROS ARQUIMEDIANOS DERIVADOS DE LOS POLIEDROS REGULARES CONVEXOS, NECESARIAS PARA LA CONSTRUCCIÓN DE LOS MISMOS.

Como consecuencia de lo expuesto en los párrafos 1) y 2) de este ejercicio, deducimos las siguientes relaciones métricas:

Sea (fig. 4) p. e. ABC... una cara de un poliedro " P_n " regular

$$\alpha = \frac{2\pi}{p} \text{ radianes} = \frac{2 \times 180^\circ}{p} = \frac{360^\circ}{p}$$

$$\beta = \frac{180^\circ (p-2)}{p}$$

convexo generador, de arista " a_n " ($n = 4, 6, 8, 12, 20$)

y centro "Q" (en el ejemplo de la figura $n = 4$ y

$P_n =$ tetraedro). Unamos "Q"

con sus "p" vértices

($p = 3, 4, 5$) ABC... (en

la figura $p = 3$). Los segmentos

QA, QB, QC... serán

todos iguales, bisectrices

de los ángulos $\angle AQC$,

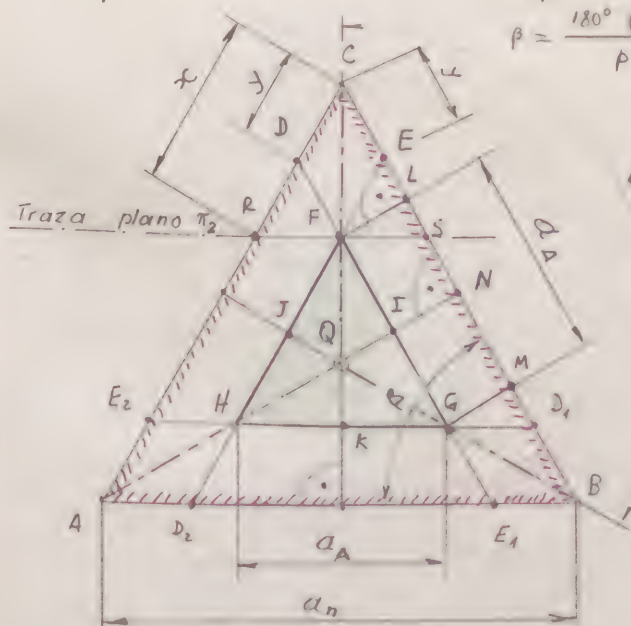


Figura 4

* $\angle CQB$; $\angle BQA$ --- y mediatrices de los lados \overline{AB} , \overline{BC} , \overline{CA} --- de los polígonos regulares de " p " lados. Los ángulos centrales de estos polígonos tendrían una amplitud $\alpha = \frac{2\pi}{p}$ radianes. La de los ángulos de la cara, otra de $\beta = \frac{\pi}{p}$ radianes $= \frac{\pi}{2}$ radianes.

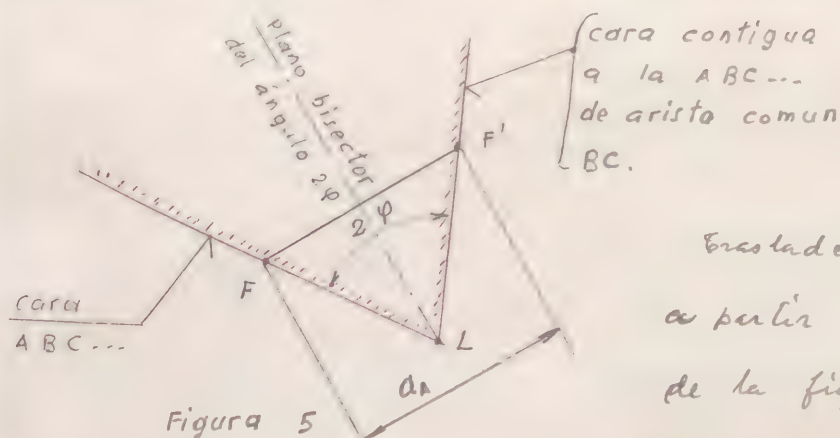
Tomemos a partir de cada vértice $A, B, C \dots$ de la cara $ABC \dots$ del poliedro generador P_n y sobre sus lados, una magnitud " y " arbitraria, con lo que obtendremos los puntos D y E ; D_1 y E_1 ; D_2 y $E_2 \dots$. Tracemos a continuación las rectas \overline{DE} ; $\overline{D_1E_1}$; $\overline{D_2E_2} \dots$. Por construcción estas rectas serán paralelas a los lados \overline{AB} , \overline{BC} , $\overline{CA} \dots$ de la cara $ABC \dots$, y sus intersecciones nos darán los puntos F, G, H, \dots vértices de un nuevo polígono $FGH \dots$ semejante al $ABC \dots$, concéntrico con éste y de lados paralelo al mismo. Las prolongaciones de los segmentos \overline{QA} , \overline{QB} , \overline{QC}, \dots cortarán a los lados del polígono FGH en sus puntos medios $I, J, K \dots$. Tracemos a continuación desde los puntos F y Q , perpendiculares a la arista \overline{CB} que cortarán a ésta en los puntos L y M .

Consideremos ahora, en el poliedro regular generador P_n , la cara contigua a la $ABC \dots$ de arista común BC , y en la que supondremos efectuadas todas las construcciones realizadas en la ABC . Ambas caras formarán entre sí un ángulo diedrico " 2φ ", medido por su rectilíneo correspondiente.

En la figura 5 representamos por su rectilíneo correspondiente " 2φ " el diedro que forman dos caras conti-



guas de arista común BC (fig. 4) (φ es distinto en cada poliedro generador.).



Traslademos a esta figura 5 a partir de L, el segmento FL de la figura 4, y determinemos a continuación el punto F', simétrico del F

con respecto al plano bisector del diédrico 2φ .

El segmento $\overline{FF'}$ será uno de los lados de las caras rectangulares producidas por el proceso c) del párrafo 3.

Teniendo presente ahora los conceptos desarrollados en este párrafo 4 con sus figuras aclaratorias n° 4 y 5, calculamos seguidamente las siguientes magnitudes:

4.1) ARISTA "a" DEL ARQUIMEDIANO NÚCLEO.

Del triángulo isósceles FLF' de la figura 5, se deduce que

$$a). \quad \overline{FL} \operatorname{sen} \varphi = \frac{\overline{FF'}}{2}$$

Establezcamos ahora la condición de ser (ver fig. 4)

$$b). \quad \overline{FF'} = \overline{FG} = a$$



De las fórmulas (a) y (b) se deduce:

$$c) \quad \overline{FL} = \frac{\overline{FF'}}{2} ; \text{sen } \varphi = \frac{a_A}{2 \text{ sen } \varphi}$$

De la figura 4 se deduce que:

$$d) \quad \overline{QN} = \overline{QI} + \overline{IN} \quad \text{en la que}$$

$$e) \quad \overline{QN} = \overline{NB} \cdot \text{ctg } \frac{\alpha}{2} \quad \& \quad NQB = \frac{a_n}{2} \text{ctg } \frac{\alpha}{2} \quad ?$$

$$f) \quad \overline{QI} = \overline{IG} \cdot \text{ctg } \frac{\alpha}{2} \quad \& \quad NQB = \frac{a_A}{2} \text{ctg } \frac{\alpha}{2} ; \text{también}$$

$$g) \quad \overline{IN} = \overline{FL} = \frac{a_A}{2 \text{ sen } \varphi}$$

Substituyendo en (d) los valores (e), (f) y (g) tendremos la ecuación

$$h) \quad \frac{a_n}{2} \text{ctg } \frac{\alpha}{2} = \frac{a_A}{2} \text{ctg } \frac{\alpha}{2} + \frac{a_A}{2 \text{ sen } \varphi} = a_A \left(\frac{\text{ctg } \frac{\alpha}{2}}{2} + \frac{1}{2 \text{ sen } \varphi} \right)$$

y despejando en esta el valor de " a_A ", tendremos finalmente:

$$\boxed{a_A} = \frac{a_n \text{ctg } \frac{\alpha}{2}}{2} : \left(\frac{\text{ctg } \frac{\alpha}{2}}{2} + \frac{1}{2 \text{ sen } \varphi} \right) =$$

$$= \frac{\frac{\text{ctg } \frac{\alpha}{2}}{2}}{\frac{\text{ctg } \frac{\alpha}{2}}{2} + \frac{1}{2 \text{ sen } \varphi}} \quad a_n = \frac{1}{1 + \frac{1}{2 \text{ sen } \varphi} : \frac{\text{ctg } \frac{\alpha}{2}}{2}} \quad a_n =$$

$$= \frac{1}{1 + \frac{2}{2 \text{ sen } \varphi \times \text{ctg } \frac{\alpha}{2}}} \quad a_n = \frac{1}{\frac{2 \text{ sen } \varphi \text{ctg } \frac{\alpha}{2}}{2 \text{ sen } \varphi \text{ctg } \frac{\alpha}{2}} + 2} \quad a_n = \frac{\text{sen } \varphi \text{ctg } \frac{\alpha}{2}}{\text{sen } \varphi \text{ctg } \frac{\alpha}{2} + 1} \quad a_n =$$



$$= \frac{\operatorname{sen} \varphi}{\operatorname{sen} \varphi + 1 + \operatorname{ctg} \frac{\alpha}{2}} d_n = \boxed{\frac{\operatorname{sen} \varphi}{\operatorname{sen} \varphi + \sqrt{3} \frac{\alpha}{2}} d_n}$$

de donde se deduce la fórmula general

$$\boxed{d_A = \frac{\operatorname{sen} \varphi}{\operatorname{sen} \varphi + \operatorname{tg} \frac{\alpha}{2}} d_n} \quad (1)$$

4.2) DISTANCIA "y" QUE FIJA LA POSICIÓN DEL PLANO SE-
CANTE "π₂" EN LA TRUNCADURA PARALELA DE ARISTAS.

De la figura 4, obtenemos las siguientes relaciones:

$$a) \quad \overline{CL} = \frac{\overline{CB} - \overline{LM}}{2} = \frac{d_n - d_A}{2}$$

$$b) \quad \overline{EL} = \overline{CL} - \overline{CE} = \frac{d_n - d_A}{2} - y$$

$$c) \quad \angle FEL = \angle ACB = \text{ángulo interno del polígono regular de una cara de "p" lados} = \underline{\beta} = \frac{180^\circ (p-2)}{p} \quad (p = 3, 4, 5)$$

$$d) \quad \overline{EF} = \overline{CD} = y$$

En el triángulo rectángulo FLE, tendremos:

$$e) \quad \overline{EL} = \overline{FE} \cos FEL = y \cos \beta$$

Substituyendo en b) el valor e), tendremos la ecuación

$$f) \quad y \cos \beta = \frac{d_n - d_A}{2} - y \quad \text{en la que despejando "y" resulta:}$$

$$y \cos \beta + y = \frac{d_n - d_A}{2} ; \quad y (\cos \beta + 1) = \frac{d_n - d_A}{2} ; \quad \text{[sigue:]}$$



$$y = \frac{a_n - a_d}{2} : (\cos \beta + 1) = \frac{a_n - a_d}{2(\cos \beta + 1)} \quad \text{en la que sustituiremos}$$

a_d por su valor (1). Tendremos finalmente:

$$y = \frac{a_n - \frac{\sin \varphi}{\sin \varphi + \tan \frac{\alpha}{2}} a_n}{2(\cos \beta + 1)} = \frac{1 - \frac{\sin \varphi}{\sin \varphi + \tan \frac{\alpha}{2}}}{2(\cos \beta + 1)} a_n =$$

$$= \frac{\sin \varphi + \tan \frac{\alpha}{2} - \sin \varphi}{\sin \varphi + \tan \frac{\alpha}{2}} : 2(\cos \beta + 1) a_n = \frac{\tan \frac{\alpha}{2}}{2(\cos \beta + 1)(\sin \varphi + \tan \frac{\alpha}{2})} a_n$$

de donde se obtiene finalmente:

$$y = \frac{\tan \frac{\alpha}{2}}{2(\cos \beta + 1)(\sin \varphi + \tan \frac{\alpha}{2})} a_n \quad (2)$$

4.3) DISTANCIA "x" QUE FIJA LA POSICIÓN DEL PLANO SECANTE " π_2 " EN LA TRUNCADURA DE VÉRTICES

De la figura 4, obtenemos las siguientes relaciones:

$$a) \quad \overline{CL} = \frac{\overline{CB} - \overline{LM}}{2} = \frac{a_n - a_d}{2}$$

Del triángulo rectángulo CLF, obtenemos:

$$b) \quad \overline{CF} = \overline{CL} : \cos \varphi \cdot \angle C = \overline{CL} : \cos \varphi \cdot \frac{ABC}{2} = \frac{a_n - a_d}{2} : \cos \frac{\beta}{2} =$$

$$= \frac{a_n - a_d}{2 \cos \frac{\beta}{2}}$$

Del triángulo rectángulo CFR, obtenemos:

$$c) \quad x = \overline{CR} = \overline{CF} : \cos \varphi \cdot \angle R = \overline{CF} : \cos \varphi \cdot \frac{ABC}{2} = \overline{CF} : \cos \frac{\beta}{2}$$

sustituyendo en c) el valor de b), será:



$$x = \frac{a_n - a_A}{2 \cos \frac{\beta}{2}} ; \cos \frac{\beta}{2} = \frac{a_n - a_A}{2 \cos^2 \frac{\beta}{2}}$$

Substituyendo el valor de a_A (fórmula 1), tendremos:

$$x = \frac{a_n - \frac{\sin \varphi}{\sin \varphi + k_2 \frac{\alpha}{2}} a_n}{2 \cos^2 \frac{\beta}{2}} = \frac{1 - \frac{\sin \varphi}{\sin \varphi + k_2 \frac{\alpha}{2}}}{2 \cos^2 \frac{\beta}{2}} a_n =$$

$$= \frac{\sin \varphi + k_2 \frac{\alpha}{2} - \sin \varphi}{2 \cos^2 \frac{\beta}{2} (\sin \varphi + k_2 \frac{\alpha}{2})} a_n = \frac{k_2 \frac{\alpha}{2}}{2 \cos^2 \frac{\beta}{2} (\sin \varphi + k_2 \frac{\alpha}{2})} a_n$$

De donde se obtiene finalmente:

$$x = \frac{k_2 \frac{\alpha}{2}}{2 \cos^2 \frac{\beta}{2} (\sin \varphi + k_2 \frac{\alpha}{2})} a_n \quad (3)$$

4.4) ARISTA LATERAL " a_e " DE LAS PIRÁMIDES AUXILIARES QUE FIJAN LA POSICIÓN DE LOS VÉRTICES DEL POLIEDRO REGULAR GENERADOR, CON RESPECTO AL ARQUIMEDIANO GENERADO.

Dicha arista es el segmento \overline{CF} de la figura 4. De esta figura se obtienen las siguientes relaciones:

$$a) \quad \overline{CL} = \frac{\overline{CB} - \overline{LM}}{2} = \frac{a_n - a_A}{2}$$

Del triángulo CLF , deducimos:

$$b) \quad a_e = \overline{CF} = \overline{CL} : \cos \frac{\beta}{2} \quad \text{L.C.F.} = \overline{CL} : \cos \frac{\beta}{2} = \frac{a_n - a_A}{2} : \cos \frac{\beta}{2} =$$

Alfonso

Dic. 1981



$$= \frac{a_n - a_A}{2 \cos \frac{\beta}{2}} \quad \text{en la que sustituiremos } a_A \text{ por su valor}$$

(1). - Así pues será:

$$\boxed{a_e} = \frac{a_n - \frac{\tan \varphi}{\tan \varphi + \frac{1}{2} \frac{\alpha}{2}} a_n}{2 \cos \frac{\beta}{2}} = \frac{1 - \frac{\tan \varphi}{\tan \varphi + \frac{1}{2} \frac{\alpha}{2}}}{2 \cos \frac{\beta}{2}} a_n =$$

$$= \frac{\tan \varphi + \frac{1}{2} \frac{\alpha}{2} - \tan \varphi}{2 \cos \frac{\beta}{2} (\tan \varphi + \frac{1}{2} \frac{\alpha}{2})} a_n = \boxed{\frac{\frac{1}{2} \frac{\alpha}{2}}{2 \cos \frac{\beta}{2} (\tan \varphi + \frac{1}{2} \frac{\alpha}{2})} a_n}$$

de donde se obtiene finalmente:

$$\boxed{a_e = \frac{\frac{1}{2} \frac{\alpha}{2}}{2 \cos \frac{\beta}{2} (\tan \varphi + \frac{1}{2} \frac{\alpha}{2})} a_n} \quad (4)$$

Con los conceptos desarrollados en este estudio previo, y aplicando las fórmulas generales (1), (2), (3) y (4), podemos construir el siguiente modelo M-35.10, correspondiente al enunciado explícito del mismo, que exponemos a continuación.

MODELO CORPÓREO DEL "ARQUIMEDIANO III" OBTENIDO
 POR TRUNCADURA PARALELA DE ARISTAS DE UN TETRAE-
 DRO REGULAR CONVEXO DE ARISTA " a_4 ", A LA DISTAN-
 CIA $y = \frac{1}{4} a_4$, SEGUIDA DE UNA TRUNCADURA DE
VÉRTICES (O VICEVERSA) A LA DISTANCIA $x = \frac{1}{2} a_4$,
 AL TOMAR SOBRE CADA ARISTA, Y DESDE SU VÉRTICE,
 LAS DISTANCIAS "y" Y "x" RESPECTIVAMENTE. EL
 ARQUIMEDIANO OBTENIDO, SE CONSTRUIRÁ CON LAS CA-
 RAS MACIZAS, Y EL TETRAEDRO REGULAR CONVEXO GE-
 NERADOR, CON LAS CARAS VACIADAS.

Radio de la esfera circunscrita al tetraedro
 regular

$$r_{ec}^4 = 110 \text{ m. m.}$$

ENUNCIADO:

Construir el modelo corpóreo del "ARQUIMEDEANO NO III", obtenido por "truncadura paralela de aristas" de un tetraedro regular convexo de arista " a_4 ", a la distancia " $y = \frac{1}{4} a_4$ " seguida de una "truncadura de vértices" (o viceversa) a la distancia " $x = \frac{1}{2} a_4$ ", al tomar sobre cada arista, y desde su vértice, las distancias " y " y " x " respectivamente. El arquimedeano obtenido, se construirá con las caras planas, y el tetraedro regular convexo generador con las caras vaciadas.

DATO ÚNICO DE ESTE EJERCICIO: r_{ec}^4 = Radio de la esfera circunscrita al tetraedro regular generador:

$$r_{ec}^4 = 170 \text{ mm}$$

1). GENERALIDADES

Con el ESTUDIO PREVIO realizado anteriormente, desarrollamos y aplicamos a continuación, el proceso geométrico denominado "TRUNCADURA PARALELA DE ARISTAS" seguida de una "TRUNCADURA DE VÉRTICES" de un poliedro regular convexo cualquiera.

Este proceso da lugar a la formación de un poliedro mideo, convexo, cuyas características geométricas, en general, detallamos en su párrafo 2. y que en particular,

(Owacee.

Stu. 1981

y en el caso especial descrito en este enunciado, dicho poliedro mideo es un ADQUIMEDIANO.

Las características geométricas del poliedro mideo obtenido en este ejercicio, se deducen previamente de las generables talladas en el mencionado EJERCICIO PREVIO, y son:

- Los planos secantes " π_1 " de la truncadura paralela de aristas producen en el caso del tetraedro regular, 4 triángulos equiláteros situados en las caras de este poliedro generador.
- Los planos secantes " π_2 " de la truncadura de vértices producen a su vez otros 4 triángulos equiláteros (uno en cada vértice), iguales a los anteriores y situados en el plano secante " π_2 ".
- Los planos secantes " π_1 " y " π_2 " al cortarse mutuamente producen a su vez 6 cuadrados (uno por cada arista), paralelos a las aristas del poliedro generador.

Por consiguiente, el poliedro mideo estará limitado por OCHO CARAS TRIANGULARES REGULARES y SEIS CUADRADOS.

Estas son las características geométricas del ADQUIMEDIANO III, estudiado y representado en el ejercicio



G.E. n°....- Lámina 35, que detallamos a continuación:

ARQUIMEDIANO III

Número de caras triangulares.....	$C_3 = 8$
Número de caras cuadradas.....	$C_4 = 6$
Número de vértices.....	$V = 12$
Número de aristas.....	$A = 24$
Número de caras en cada vértice	$2 C_3 + 2 C_4$

2). POSICIÓN DE LOS PLANOS SECANTES " π_1 " Y " π_2 "

La posición de los planos secantes " π_1 " de la "truncadura paralela de aristas" y de los " π_2 " de la "truncadura de vértices" con respecto al poliedro regular generador, se obtiene mediante las respectivas distancias " y " y " x ", tomadas sobre las aristas y a partir de los vértices.

Para que el poliedro resulte sea un Arquimediario se han obtenido en el estudio previo a este ejercicio, fórmulas generales (fórmula (3) párrafo 4.3, para la determinación de " x ", y (fórmula (2), párrafo 4.2 para la de " y "), que aplicaremos a este ejercicio

2.1) Distancia " y " que fija la posición del plano " π_1 " en la truncadura paralela de aristas

Se obtiene, en función de la arista " a_n " del poliedro generador, de la fórmula general (2), deducida en el estudio previo

$$y = \frac{t_{\frac{\alpha}{2}} \cdot \frac{\alpha}{2}}{2 (\cos \beta + 1) (\cos \varphi + t_{\frac{\alpha}{2}} \frac{\alpha}{2})} a_n \quad (2)$$

En esta fórmula sustituiremos los valores generales de sus variables por los particulares siguientes, correspondientes al tetraedro regular convexo generador.

a) $n =$ Número de caras del tetraedro $= 4.$

b) $a_n =$ Arista del tetraedro $= a_4$

c) $\frac{\alpha}{2} =$ Semiángulo central del polígono regular de una cara superficial $= \frac{360^\circ}{3}; 2 = 60^\circ$

d) $\varphi =$ Semiángulo del diedro que forman dos caras contiguas del tetraedro

e) $\cos \beta = \cos \frac{180^\circ \times (3-2)}{3} = \cos 60^\circ = \frac{1}{2}$ (ver ejercicio G.P. 1006)

f) $t_{\frac{\alpha}{2}} = t_{60^\circ} = \sqrt{3}$ (ver ejercicio G.P. 1006)

g) $\cos \varphi = \frac{\sqrt{3}}{3}$ (ver ejercicio G.P. n°.....- Lámina 1)

Aplicando estos valores a la fórmula (2), tendremos:

$$\boxed{y} = \frac{\sqrt{3}}{2 \times \left(\frac{7}{2} + 1\right) \times \left(\frac{\sqrt{3}}{3} + \sqrt{3}\right)} a_4 = \frac{\sqrt{3}}{2 \times \frac{3}{2} \times \left(\frac{3\sqrt{3} + \sqrt{3}}{3}\right)} a_4 =$$

$$= \frac{\sqrt{3}}{3 \times \frac{\sqrt{3}(3+1)}{3}} a_4 = \frac{\sqrt{3}}{4\sqrt{3}} a_4 = \boxed{\frac{1}{4} a_4}$$

Este valor de "y" justifica el expresado en el enunciado de este ejercicio.

Puede obtenerse también en función de r_{ec}^4 , (dato de este modelo), constituyendo $a_4 = \frac{2\sqrt{6}}{3} r_{ec}^4$, valor que obtendremos posteriormente. Así pues será:

$$\boxed{y} = \frac{1}{4} \times \frac{2\sqrt{6}}{3} r_{ec}^4 = \boxed{\frac{\sqrt{6}}{6} r_{ec}^4}$$

El valor numérico será pues:

$$\boxed{y} = \frac{\sqrt{6}}{6} \times 110 \cong 0,408248291... \times 110 \cong \boxed{44,9 \text{ mm}}$$

2.2) Distancia "x" que fija la posición del plano " π_2 " en la truncadura de vértices.

Se obtiene, en función de la arista " a_n " del poliedro generador, de la fórmula (3), deducida en el estudio previo

$$\boxed{x = \frac{k_2 \cdot \frac{\alpha}{2}}{2 \cos^2 \frac{\beta}{2} \left(\tan \varphi + k_2 \cdot \frac{\alpha}{2} \right)} a_n} \quad (3)$$

En esta fórmula sustituiremos los valores generales de sus variables por los particulares siguientes, correspondientes al tetraedro regular convexo generador.

a) $n = \text{Numero de caras del tetraedro} = 4$

b) $a_n = \text{Arista del mismo} = a_4$

c) $\frac{\alpha}{2} = \text{Semiángulo central del polígono regular de una cara superficial} = \frac{360^\circ}{3} : 2 = 60^\circ$

d) $\varphi = \text{Semiángulo del diedro que forman dos caras contiguas del tetraedro.}$

e) $\frac{1}{2} \frac{\alpha}{2} = \frac{1}{2} 60^\circ = 30^\circ$ (ver ejercicio G.P. 1006)

f) $\cos^2 \frac{\beta}{2} = \cos^2 \frac{180^\circ (3-2)}{2 \times 3} = \cos^2 30^\circ = \left(\frac{\sqrt{3}}{2}\right)^2 = \frac{3}{4}$ (ver G.P. 1006)

g) $\sin \varphi = \frac{\sqrt{3}}{3}$ (ver ejercicio G.P. n° ---- Lámina 1)

Aplicando estos valores a la fórmula (3), tendremos:

$$\boxed{x} = \frac{\sqrt{3}}{2 \times \frac{3}{4} \times \left(\frac{\sqrt{3}}{3} + \sqrt{3}\right)} a_4 = \frac{\sqrt{3}}{\frac{3}{2} \times \left(\frac{3\sqrt{3} + \sqrt{3}}{3}\right)} a_4 = \frac{\sqrt{3}}{\frac{3}{2} \times \left(\frac{\sqrt{3}(3+1)}{3}\right)} a_4 =$$

$$= \frac{\sqrt{3}}{\frac{4\sqrt{3}}{2}} a_4 = \frac{2}{4} a_4 = \boxed{\frac{1}{2} a_4}$$

Este valor de "x" justifica el expresado en el enunciado de este ejercicio.

Puede obtenerse también en función de r_{oc}^4 (dato de este

modelo) sustituyendo $\alpha_4 = \frac{2\sqrt{6}}{3} r_{ec}^4$ valor que obtendremos posteriormente. Así, pues, será:

$$x = \frac{1}{2} \alpha_4 = \frac{1}{2} \times \frac{2\sqrt{6}}{3} r_{ec}^4 = \frac{\sqrt{6}}{3} r_{ec}^4$$

su valor numérico, será:

$$x = \frac{\sqrt{6}}{3} \times 110 \cong 0.816496581... \times 110 \cong 89.8 \text{ mm}$$

3). CONSTRUCCIÓN DE ESTE MODELO

Para la construcción de este modelo son necesarias las siguientes piezas:

3.1) TETRAEDRO REGULAR GENERADOR, DE CADAS VACIADAS. - ARISTA DEL MISMO

El valor se obtiene de la fórmula " $r_{ec}^4 = \frac{\sqrt{6}}{4} \alpha_4$ ", deducida en el ejercicio G.E. n°... Lámina 1. Despejando en ella " α_4 " tenemos:

$$\alpha_4 = r_{ec}^4 : \frac{\sqrt{6}}{4} = \frac{4}{\sqrt{6}} r_{ec}^4 = \frac{4\sqrt{6}}{6} r_{ec}^4 = \frac{2\sqrt{6}}{3} r_{ec}^4$$

valor que hemos utilizado en los párrafos 2.1 y 2.2

PIEZA N° 1 CADAS SUPERFICIALES 4 unidades

El valor numérico de la arista " a_u " se obtiene de la fórmula anterior:

$$a_u = \frac{2\sqrt{6}}{3} r_{ec}^4 \approx 1,63 \ 29 \ 93 \ 16 \ 2... \times 110 \approx 179,6 \text{ mm}$$

La forma y dimensiones son iguales a la de la fig 1 del ejercicio

M - 1,102

PIEZA N° 1 4(u)

PIEZA N° 2 UNIONES ARISTAS 6 unidades

La forma y dimensiones son iguales a la de la figura 2 del ejercicio M - 1,102

PIEZA N° 2 6(u)

3.2) ARQUIMEDIANO III (NÚCLEO DEL TETRAEDRO GENERADOR), DE CARAS MACIZAS, INCLUIDO LAS PIRÁMIDES AUXILIARES DE FIJACION DE LOS VÉRTICES DEL TETRAEDRO GENERADOR A LAS CARAS TRIANGULARES DEL ARQUIMEDIANO III.

3-2.1) Longitud " a_{III} " de la arista del Arquimedio III engendrado por el tetraedro regular P_4

Se obtiene, en función de la arista " a_n " del poliedro generador de la fórmula (1), deducida en el estudio previo

$$a_{III} = \frac{\sin \varphi}{\sin \varphi + \tan \frac{\alpha}{2}} a_n$$

(1)

En esta fórmula, sustituiremos los valores generales de sus variables por los particulares siguientes, correspondientes al tetraedro regular conexo generador:

a) " a_n " = a_4 = Arista del tetraedro generador

b) " a_d " = a_{III} = Arista del lequimediano generado.

c) $\frac{\alpha}{2}$ = Semíngulo central del polígono regular de una cara superficial = $\frac{360^\circ}{3} : 2 = 60^\circ$

d) φ = Semíngulo del diedro que forman dos caras con ligas del tetraedro

e) $\frac{1}{2} \frac{\alpha}{2} = \frac{1}{2} 60^\circ = \sqrt{3}$ (Ver ejercicio G.P. 1006)

f) $\sin \varphi = \frac{\sqrt{3}}{3}$ (ver ejercicio G.P. n°... Lámina 1)

Aplicando estos valores a la fórmula (1), tendremos:

$$\boxed{a_{III}} = \frac{\frac{\sqrt{3}}{3}}{\frac{\sqrt{3}}{3} + \sqrt{3}} a_4 = \frac{\frac{\sqrt{3}}{3}}{\frac{3\sqrt{3} + \sqrt{3}}{3}} a_4 = \frac{\sqrt{3}}{\sqrt{3}(3+1)} a_4 = \boxed{\frac{1}{4} a_4}$$

Puede obtenerse a_{III} en función de r_{ec}^4 (dato de este modelo), sustituyendo $a_4 = \frac{2\sqrt{6}}{3} r_{ec}^4$, valor obtenido en el párrafo 3.1 de este ejercicio. Así pues será:

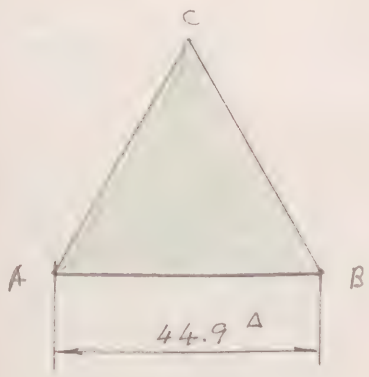
$$\boxed{a_{III}} = \frac{1}{4} \times \frac{2\sqrt{6}}{3} r_{ec}^4 = \frac{2\sqrt{6}}{6} r_{ec}^4 = \boxed{\frac{\sqrt{6}}{6} r_{ec}^4}$$

El valor numérico de la arista a_{III} , se obtiene de la fórmula anterior.

$$a_{III} = \frac{\sqrt{6}}{6} \tau_{ec}^4 = \frac{\sqrt{6}}{6} \times 110 \cong 0,408248291... \times 110 \cong 44,9 \text{ mm}$$

PIEZA N° 3 CARAS SUPERFICIALES TRIANGULARES REGU-
LARES 8 unidades

La forma y dimensiones se detallan en la figura 1



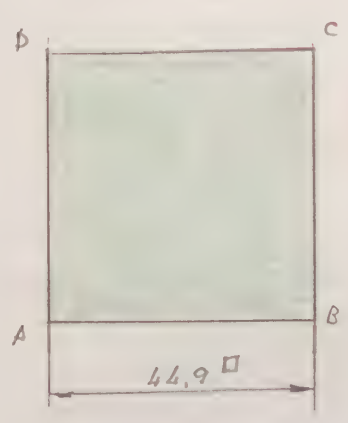
PIEZA N° 3 8 (u)

Figura 1

Figura 1

PIEZA N° 4 CARAS SUPERFICIALES CUADRADAS 6 unidades

La forma y dimensiones se detallan en la figura 2



PIEZA N° 2 6 (u)

Figura 2

Figura 2

PIEZA N° 5 REFUERZO NORMAL EN CARAS TRIANGULARES
8 unidades

La forma y dimensiones se deducen de las del triángu-

lo ABC de la figura 1, y se detallan en la figura 3

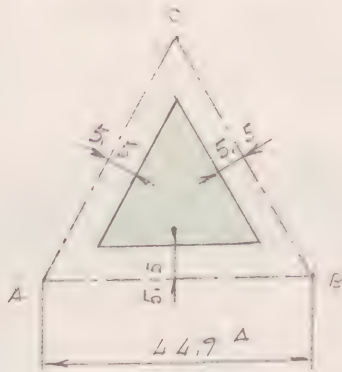


Figura 3

PIEZA N° 3

8 (4)

Figura 3

PIEZA N° 6 REFUERZO NORMAL EN CARAS CUADRADAS

6 unidades

La forma y dimensiones se deducen de las del cuadrado ABCD de la figura 2, y se detallan en la figura 4

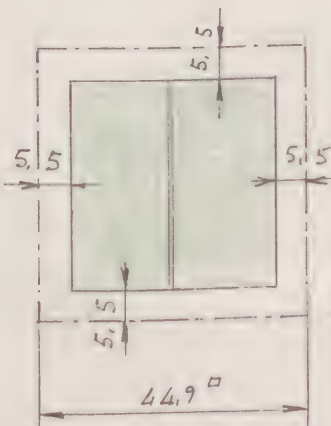


Figura 4

PIEZA N° 4

6 (4)

Figura 4

PIEZA N° 7 REFUERZO TRANSVERSAL EN CARAS CUADRADAS

6 unidades

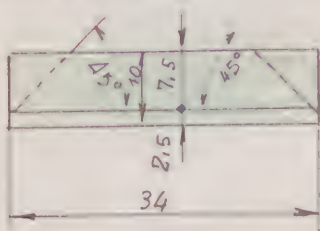


Figura 5

La forma y dimensiones se detallan en la figura 5; en colocación en la figura 4

PIEZA N° 5 6 (4) (Fig. 5)

Alvarez

Dic. 1981

PIEZA N° 8 UNIONES ADISTAS 24 unidades

La forma y dimensiones se detallan en la figura 6

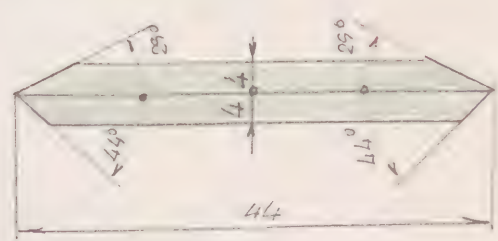


Figura 6

PIEZA N° 9 24 (U)

Figura 6

PIEZA N° 9 FORRO COLOREADO EN CARAS TRIANGULARES

8 unidades

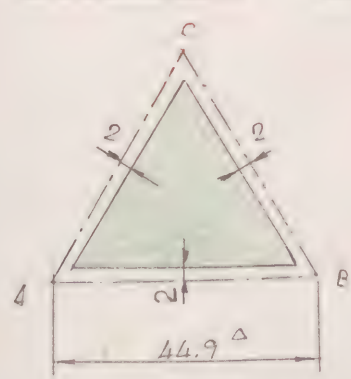


Figura 7

La forma y dimensiones se deducen del triángulo ABC de la figura 1, y se detallan en la figura 7

PIEZA N° 9 8 (U)

Figura 7

PIEZA N° 10 FORRO COLOREADO EN CARAS CUADRADAS

6 unidades

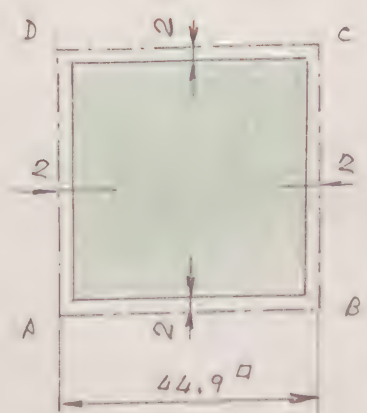


Figura 8

La forma y dimensiones se deducen de las del cuadrado ABCD de la figura 2, y se detallan en la figura 8

PIEZA N° 10 6 (U)

Figura 8

3-2.2) Arista lateral " a_e " de las pirámides auxiliares triangulares que fijan la posición de los vértices del tetraedro generador con respecto al Arquimediano III.

Se obtiene, en función de la arista " a_n " del tetraedro generador, de la fórmula (4), deducida en el estudio previo.

$$a_e = \frac{\frac{1}{2} \frac{\alpha}{2}}{2 \cos \frac{\beta}{2} (\sec \varphi + \frac{1}{2} \frac{\alpha}{2})} a_n \quad (4)$$

En esta fórmula, sustituiremos los valores generales de sus variables, por los particulares siguientes, correspondientes al tetraedro regular generador:

- " a_n " = a_4 = Arista del tetraedro
- $a_e = a_3^{\text{III}}$ = Arista lateral de la pirámide triangular
- $\frac{\alpha}{2}$ = Semiángulo central del polígono regular de una cara superficial = $\frac{360^\circ}{3} : 2 = 60^\circ$
- φ = Semiángulo que forman dos caras contiguas del tetraedro.
- $\frac{1}{2} \frac{\alpha}{2} = \frac{1}{2} \cdot 60^\circ = \sqrt{3}$ (Ver ejercicio G.P. 1006)
- $\cos \frac{\beta}{2} = \cos \frac{180^\circ(3-2)}{2 \times 3} = \cos 30^\circ = \frac{\sqrt{3}}{2}$, (ver G.P. 1006)
- $\sec \varphi = \frac{\sqrt{3}}{3}$ (Ver ejercicio G.P. n° --- Lámina 1)

Aplicando estos valores a la fórmula 4, tendremos:

Alfaro

Dis. 111

$$\boxed{a_3^{\text{II}}} = \frac{\sqrt{3}}{2 \times \frac{\sqrt{3}}{2} \times \left(\frac{\sqrt{3}}{2} + \sqrt{3}\right)} a_4 = \frac{\sqrt{3}}{\sqrt{3} \times \left(\frac{3\sqrt{3} + \sqrt{3}}{2}\right)} a_4 = \frac{1}{\frac{4\sqrt{3}}{2}} a_4 =$$

$$= \frac{3}{4\sqrt{3}} a_4 = \frac{3\sqrt{3}}{12} a_4 = \boxed{\frac{\sqrt{3}}{4} a_4}$$

Puede obtenerse " a_3^{III} " en función de r_{ec}^4 (dato de este modelo), sustituyendo $a_4 = \frac{2\sqrt{6}}{3} r_{ec}^4$, valor obtenido en el párrafo 3.1 de este ejercicio. Así pues, sera:

$$\boxed{a_3^{\text{III}}} = \frac{\sqrt{3}}{4} a_4 = \frac{\sqrt{3}}{4} \times \frac{2\sqrt{6}}{3} r_{ec}^4 = \frac{\sqrt{18}}{6} r_{ec}^4 = \frac{3\sqrt{2}}{6} r_{ec}^4 = \boxed{\frac{\sqrt{2}}{2} r_{ec}^4}$$

El valor numérico de la arista a_3^{III} , se obtiene de la fórmula anterior

$$\boxed{a_3^{\text{III}}} = \frac{\sqrt{2}}{2} r_{ec}^4 = \frac{\sqrt{2}}{2} \times 110 \cong 0,707106781... \times 110 \cong \boxed{77,8 \text{ mm}}$$

PIEZA N° 11

DESARROLLO LATERAL DE LAS PIRÁMIDES AUXILIARES TRIANGULARES

4 unidades

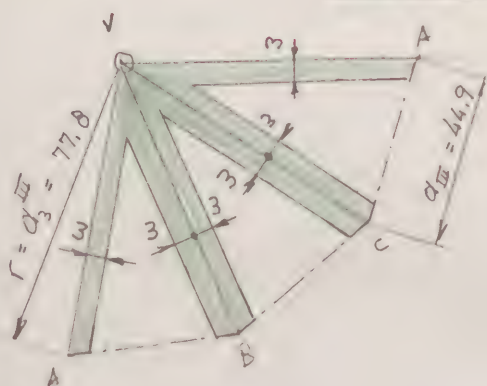


Figura 9

La forma y dimensiones se detallan en la figura 9

$$\overline{AB} = \overline{BC} = \overline{CA} = a_{\text{III}}$$

PIEZA N° 10

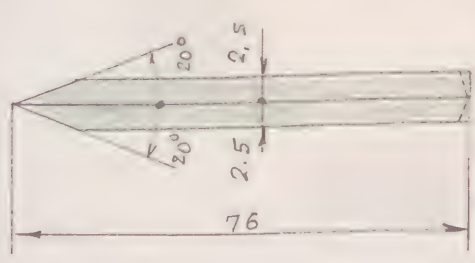
4 (u)

Figura 9

PIEZA N° 11 UNIONES ABUTAS DE LAS PIRÁMIDES TRIANGULARES

12 unidades

La forma y dimensiones se detallan en la figura 10



PIEZA N° 11 12 (U)

Figura 10

Figura 10



MODELO - M - 35.10

Patrones





IGN. PENTAGONO

MODELO CORPÓREO DEL POLIEDRO CONVEXO

DE CARAS MACIZAS "ARQUIMEDIANO IV",

FORMADO POR VEINTE CARAS TRIANGULARES

REGULARES (C_3), Y DOCE CARAS PENTAGO-

NALES REGULARES (C_5), CONCURRIENDO EN

CADA VÉRTICE. $2 C_3 + 2 C_5$.

Radio de la esfera circunscrita:

$$r_{ec}^{IV} = 110 \text{ m m.}$$

ENUNCIADO: Construir el modelo corpóreo del poliedro convexo de caras macizas "ARQUIMEDIANO IV", formado por veinte caras triangulares regulares (C_3) y doce caras pentagonales regulares (C_5), concu-
rriendo en cada vértice $2 C_3 + 2 C_5$.

Este poliedro ha sido estudiado analíticamente en el ejer-
cicio G.E. n°.... - Lámina 36, y representado en sus vistas prin-
cipal, superior y lateral izquierda en la mencionada lá-
mina 36, a escala 1:1, con el radio r_{ec}^{IV} de su esfera
circunscrita, de $r_{ec}^{IV} = 55 \text{ mm}$.

DATO ÚNICO DE ESTE EJERCICIO: Radio de la esfera circuns-
crita:

$$r_{ec}^{IV} = 110 \text{ mm}$$

Las características geométricas del ARQUIMEDIANO IV, son
las siguientes:

Número de caras triangulares	$C_3 = 20$
Número de caras pentagonales	$C_5 = 12$
Número de vértices = $\frac{20 \times 3 + 12 \times 5}{4} =$	$V = 30$
Número de aristas = $\frac{20 \times 3 + 12 \times 5}{2} =$	$A = 60$
Número de caras en un ángulo sólido:	$2C_3 + 2C_5$

Para poder obtener el desarrollo de este poliedro, calculemos previamente la longitud " a_{IV} " de la arista del mismo, en función del radio " r_{ec}^{IV} " de su esfera circunscrita. Para ello utilizaremos la fórmula " $r_{ec}^{IV} = \frac{\sqrt{5} + 1}{2} a_{IV}$ " deducida en el mencionado ejercicio G.E. n°... Lámina 36, que nos da el valor de la esfera circunscrita, en función de la arista a_{IV} del Arquimédiano IV.- Despejando en ella a_{IV} , tendremos:

$$a_{IV} = r_{ec}^{IV} : \frac{\sqrt{5} + 1}{2} = \frac{2}{\sqrt{5} + 1} \times r_{ec}^{IV} = \frac{2(\sqrt{5} - 1)}{5 - 1} r_{ec}^{IV} = \frac{2(\sqrt{5} - 1)}{4} r_{ec}^{IV} = \frac{\sqrt{5} - 1}{2} r_{ec}^{IV} \quad (1)$$

Para el caso estudiado ($r_{ec}^{IV} = 110 \text{ mm}$), tendremos:

$$a_{IV} = \frac{\sqrt{5} - 1}{2} r_{ec}^{IV} \approx 0,618033989... \times 110 \approx 68,0 \text{ mm}$$

Esta sola magnitud nos permite la construcción del poliedro estudiado, para lo cual son necesarias las siguientes piezas:

PIEZA N° 1 CARAS LATERALES TRIANGULARES REGULARES

20 unidades

La forma y dimensiones se detallan en la figura 1.

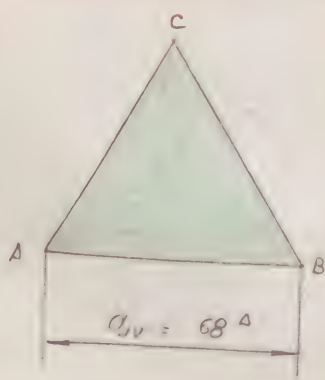


Figura 1

PIEZA N° 1 20 (41)

Figura 1



PIEZA N° 2CARAS LATERALES PENTAGONALES REGULARES12 unidades

Para la mayor exactitud en el trazado de este pentágono regular convexo, calculamos previamente el valor del radio r_{c-5} de su circunferencia circunscrita, el cual es el siguiente (ver fórmula (3) G.P. 1.400-44)

$$r_{c-5} = \sqrt{\frac{5 + \sqrt{5}}{10}} l_5 \approx 0,85065... \times 68,0 \approx \underline{57,8 \text{ mm}}$$

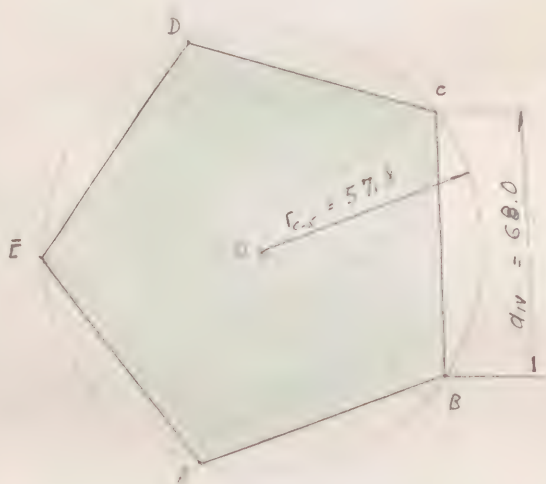


Figura 2

La forma y dimensiones se detallan en la figura 2

PIEZA N° 212 (u)

Figura 2

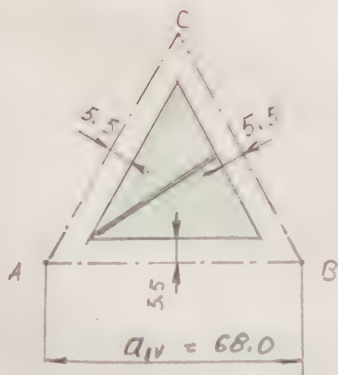
PIEZA N° 3REFUERZO NORMAL INTERIOR DE LAS CARAS TRIANGULARES REGULARES20 unidades

Figura 3

La forma y dimensiones se deducen de las del triángulo ABC de la figura 1, y se detallan en la figura 2

PIEZA N° 320 (u)

Figura 3

PIEZA N° 4 REFUERZO NORMAL INTERIOR DE LAS CARAS PENTAGONALES REGULARES 12 unidades

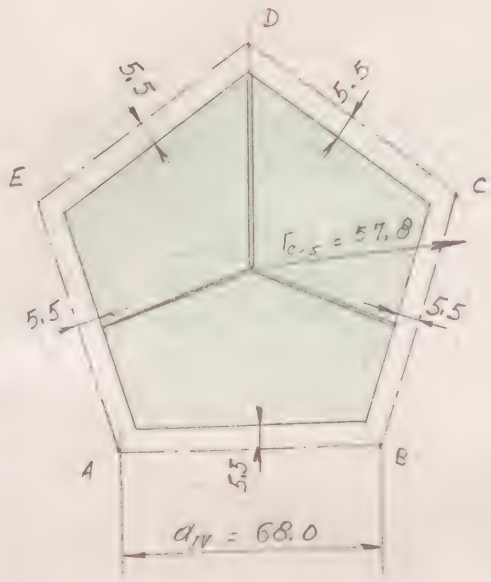


Figura 4

La forma y dimensiones se deducen de las del pentágono regular convexo ARCADE de la figura 2, y se detallan en la figura 4

PIEZA N° 4 12 (Li)

Figura 4

PIEZA N° 5 UNIONES ARISTAS 60 unidades

La forma y dimensiones se detallan en la figura 5

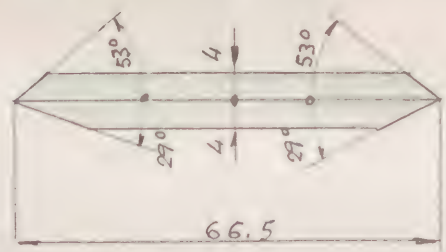


Figura 5

PIEZA N° 5 60 (u)

Figura 5

PIEZA N° 6 REFUERZO TRANSVERSAL INTERIOR DE LAS CADAS TRIANGULARES 40 unidades

(Simétricas dos a dos)

La forma y dimensiones se detallan en la figura 6; su colocación, en la figura 3

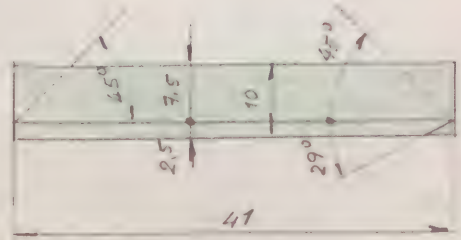


Figura 6

PIEZA N° 6 40 (u)

(Simétricas dos a dos)

PIEZA N° 7 REFUERZO TRANSVERSAL INTERIOR DE LAS CADAS
PENTAGONALES

36 unidades
(simétricas dos a dos)

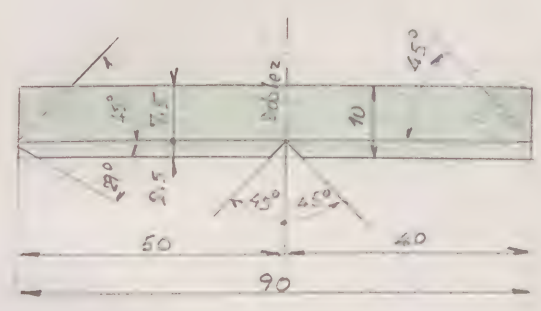


Figura 7

La forma y dimensiones se detallan en la figura 7; en colocación, en la figura 4.

PIEZA N° 7 36 (u)
(simétricas dos a dos)
Figura 7

PIEZA N° 8 FORRO COLOREADO EN CADAS TRIANGULARES

20 unidades

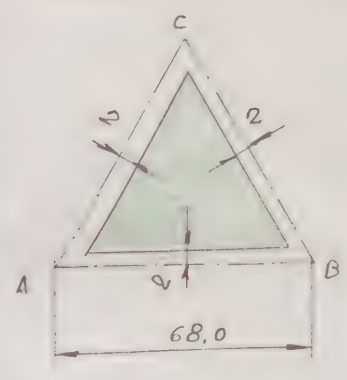


Figura 8

La forma y dimensiones se deducen de las del triángulo ABC de la figura 4, y se detallan en la figura 8

PIEZA N° 8 20 (u)
Figura 8

PIEZA N° 9 FORRO COLOREADO EN CADAS PENTAGONALES

12 unidades

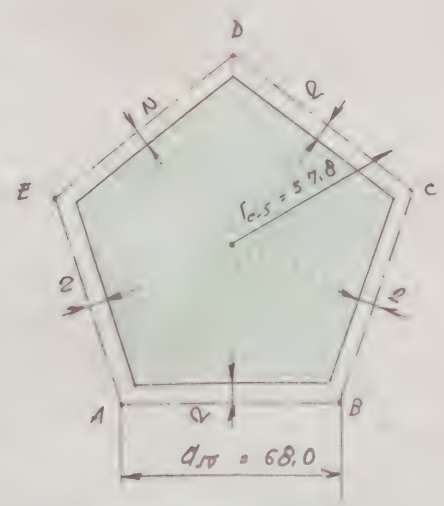


Figura 9

La forma y dimensiones, se deducen de las del pentágono regular convexo ABCDE de la figura 2, y se detallan en la figura 9.

PIEZA N° 9 12 (u)
Figura 9

UNE A4 210 x 297

MODELO CORPÓREO DEL POLIEDRO CONVEXO

DE CADAS VACIADAS "ARQUIMEDIANO IV",

FORMADO POR VEINTE CADAS TRIANGULARES,

REGULARES (C_3) Y DOCE CARAS PENTAGONALES

REGULARES (C_5), CONCURRIENDO EN

CADA VÉRTICE $2 C_3 + 2 C_5$.

Radio de la esfera circunscrita:

$$r_{ec}^{IV} = 110 \text{ mm.}$$



ENUNCIADO: Construir el modelo corpóreo del poliedro convexo de caras variadas "ARQUIMEDIANO IV", formado por veinte caras triangulares regulares (C_3), y doce caras pentagonales regulares convexas (C_5), concurriendo en cada vértice $2 C_3 + 2 C_5$.

Este modelo puede considerarse como una variante del M- 36.1, de igual forma y dimensiones, pero con sus caras variadas.

Las propiedades de este poliedro, así como sus dimensiones, son las enunciadas y calculadas en el mencionado Modelo M- 36.1.

DATO ÚNICO DE ESTE EJERCICIO: r_{ec}^{IV} = radio de la esfera circunscrita:

$$r_{ec}^{IV} = 110 \text{ m m}$$

Para la construcción de este poliedro, son necesarias las siguientes piezas:

PIEZA N° 1 CARAS LATERALES TRIANGULARES REGULARES
20 unidades

La forma y dimensiones se detallan en la figura nº 1

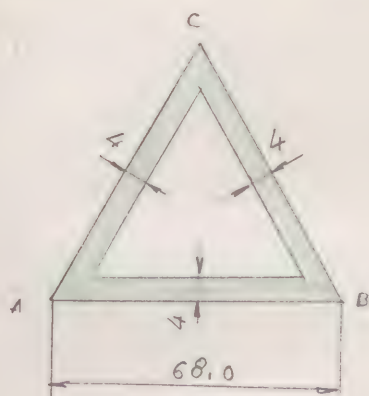


Figura 1

PIEZA N° 1

20 (u)

Figura 1

PIEZA N° 2

CARAS LATERALES PENTAGONALES, REGULARES

12 unidades

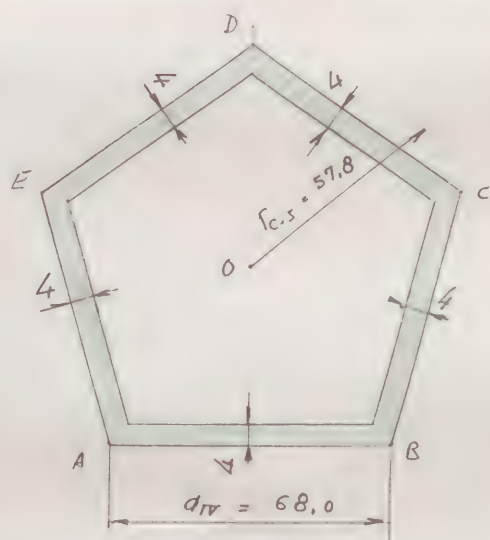


Figura 2

La forma y dimensiones se detallan en la figura 2

$$\overline{AB} = \overline{AC} = \overline{CD} = \overline{DE} = \overline{EA} = 68,0 \text{ mm}$$

PIEZA N° 2

12 (u)

Figura 2

PIEZA N° 3

UNIONES ADISTAS

60 unidades

La forma y dimensiones se detallan en la figura 3

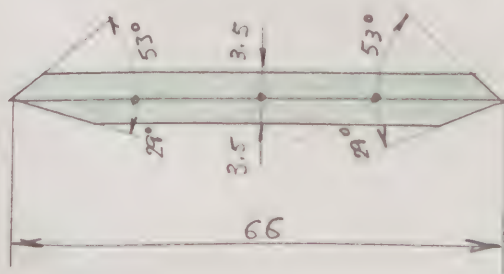


Figura 3

PIEZA N° 3

60 (u)

Figura 3

ESFERA

VARIANTE DEL MODELO M-36.1,

DE IGUAL FORMA QUE ÉSTE, SIEN-

DO MÁS PEQUEÑO EL RADIO DE SU

ESFERA CIRCUNSCRITA.

Radio de la esfera circunscrita:

$$r_{IV}^{ec} = 76,1 \text{ mm.}$$



ENUNCIADO: Construir el modelo corpóreo del poliedro convexo de caras macizas "ARQUIMEDIANO IV", formado por veinte caras triangulares regulares (C_3), y doce caras pentagonales, regulares, convexas, (C_5), concurrendo en cada vértice $2C_3 + 2C_5$.

Este modelo puede considerarse como una variante del modelo M-36.1, de igual forma que éste, siendo menor el radio de su esfera circunscrita ($\bar{r}_{ec}^{IV} = 76,1 \text{ mm} < 110$)

Para obtener el despiece de este modelo, utilizaremos el mismo estudio analítico, hecho en el modelo M-36.1, determinando previamente el coeficiente "k" de reducción, $k = 76,1 / 110$, o relación de los radios correspondientes de sus respectivas esferas circunscritas

DATO ÚNICO DE ESTE EJERCICIO:

$$\bar{r}_{ec}^{IV} = 76,1 \text{ mm}$$

COEFICIENTE DE REDUCCIÓN

$$k = \frac{76,1}{110} = 0,6918 \dots$$

A continuación presentamos diversas tablas de longitudes y ángulos, cuyas dimensiones han sido consignadas en las diferentes figuras del modelo M- 36.1, y de los valores correspondientes a aplicar en la construcción de este nuevo modelo M- 36.3, en el que son necesarias las siguientes piezas:

PIEZA N° 1 CARAS LATERALES TRIANGULARES, REGULARES.
20 unidades

La figura 1, ha de construirse con las siguientes cotas modificadas:

<u>FIGURA 1</u>	<u>Longitudes</u> m m	<u>Cotas modificadas</u> m m
<u>Pieza n° 1</u> 20(u)	68,0	47,0

PIEZA N° 2 CARAS LATERALES PENTAGONALES REGULARES
12 unidades

La figura 2, ha de construirse con las siguientes cotas modificadas:

<u>FIGURA 2</u>	<u>Longitudes</u> m m	<u>Cotas modificadas</u> m m
<u>PIEZA N° 2</u> 12 (u)	68,0 57,8	47,0 34,0



PIEZA N°3 REFUERZO NORMAL INTERIOR DE LAS CADAS TRIANGULARES 20 unidades

La figura 3, ha de construirse con las siguientes cotas modificadas:

<u>FIGURA 3</u>	<u>Longitudes</u> m m	<u>Cotas modificadas</u> m m
<u>PIEZA N°3</u>	68.0	47.0
20(u)	5.5	4.0

PIEZA N°4 REFUERZO NORMAL INTERIOR DE LAS CADAS PENTAGONALES DEGULADES 12 unidades

La figura 4, ha de construirse con las siguientes cotas modificadas:

<u>FIGURA 4</u>	<u>Longitudes</u> m m	<u>Cotas modificadas</u> m m
<u>PIEZA N°4</u>	68.0	47.0
12(u)	57.8	34.0
	5.5	4.0

PIEZA N°5 UNIONES A QISTAS 60 unidades.

La figura 5, ha de construirse con las siguientes cotas modificadas:

FIGURA 5	Longitudes m m	Cotas modificadas m m
PIEZA Nº 5	66.5	45.5
60 (u)	4.0	4.0
	29°	29°
	53°	53°

PIEZA Nº 6 REFUERZO TRANSVERSAL INTERIOR DE LAS CARAS TRIANGULARES

No es necesario este refuerzo, por ser muy pequeñas estas caras triangulares.

PIEZA Nº 7 REFUERZO TRANSVERSAL INTERIOR DE LAS CARAS PENTAGONALES 36 unidades

La figura 7, ha de construirse con las siguientes cotas modificadas:

FIGURA 7	Longitudes m m	Cotas modificadas m m
PIEZA Nº 7	50	34.0
36(u)	40	28.0
	90	62.0
	2.5	2.5
	7.5	7.5
	10.0	10.0
	29°	29°
	45°	45°

PIEZA Nº 8 FORDO COLOREADO EN CARAS TRIANGULARES

20 unidades

La figura 8, ha de construirse con las siguientes cotas modificadas:

<u>FIGURA 8</u>	<u>Longitudes</u> m m	<u>Cotas modificadas</u> m m
<u>PIEZA Nº 8</u>	68,0	47,0
20 (u)	2,0	2,0

PIEZA Nº 9 FORDO COLOREADO EN CARAS PENTAGONALES

12 unidades

La figura 9, ha de construirse con las siguientes cotas modificadas:

<u>FIGURA 9</u>	<u>Longitudes</u> m m	<u>Cotas modificadas</u> m m
<u>PIEZA Nº 9</u>	68,0	47,0
12 (u)	2,0	2,0

VARIANTE DEL MODELO M-36.2,

DE IGUAL FORMA QUE ÉSTE, SIEN-

DO MÁS PEQUEÑO EL RADIO DE SU

ESFERA CIRCUNSCRITA

Radio de la esfera circunscrita:

$$r_{ec}^{IV} = 76.1 \text{ m m}$$



ENUNCIADO: Construir el modelo corpóreo del poliedro convexo de caras vaciadas "ARQUIMEDIANO IV", formado por veinte caras triangulares regulares (C_3), y doce caras pentagonales regulares (C_5), concurrendo en cada vértice $2 C_3 + 2 C_5$.

Este modelo puede considerarse como una variante del modelo M-36.2, de igual forma que este, pero siendo más pequeño el radio de su esfera circunscrita ($r_{ec}^{IV} = 76.1 < 110$)

Para obtener el despiece de este modelo, utilizaremos el mismo estudio analítico desarrollado en el modelo M-36.2, determinando previamente el coeficiente "k" de reducción ($k = 76.1 : 110$), o relación entre los radios correspondientes de sus respectivas esferas circunscritas.

DATO ÚNICO DE ESTE EJERCICIO

$$r_{ec}^{IV} = 76.1 \text{ m m}$$

COEFICIENTE DE REDUCCIÓN:

$$k = \frac{76.1}{110} = 0.6918...$$

A continuación presentamos diversas tablas de longitudes y ángulos, cuyas dimensiones han sido asemeñadas en las distintas figuras del modelo M-36.2, y de los valores correspondientes a aplicar en la construcción de este nuevo modelo M-36.4, en el que son necesarias las siguientes piezas:

PIEZA N° 1 CARAS LATERALES TRIANGULARES

20 unidades

La figura 1, ha de construirse con las siguientes cotas modificadas:

<u>FIGURA 1</u>	Longitudes mm	Cotas modificadas mm
<u>PIEZA N° 1</u>	68,0	47,0
20(u)	4,0	3,0

PIEZA N° 2 CARAS LATERALES PENTAGONALES REGULARES

12 unidades

La figura 2, ha de construirse con las siguientes cotas modificadas:

<u>FIGURA 2</u>	Longitudes mm	Cotas modificadas mm
<u>PIEZA N° 2</u>	68,0	47,0
12 (u)	57,8	34,0
	4,0	3,0

PIEZA Nº 3 UNIONES ADISTAS

60 unidades

La figura 3. ha de constuirse con las siguientes cotas mo-
dificadas :

FIGURA 3	Longitudes m m	Cotas modificadas m m
PIEZA Nº 3	66	46.0
60 (4)	2.5	2.5
	29°	29°
	53°	53°

MODELO CORPÓREO DEL "ARQUIMEDIANO IV" OBTENIDO
 POR TRUNCADURA DE VÉRTICES DE UN DODECAEDRO
 REGULAR CONVEXO, DE ARISTA " a_{12} ", AL TOMAR SO-
 BRE CADA ARISTA, Y DESDE SU VÉRTICE, LA DISTANCIA
 $\frac{1}{2} a_{12}$. EL ARQUIMEDIANO OBTENIDO, SE CONSTRUIRÁ
 CON LAS CADAS MACIZAS, Y EL DODECAEDRO REGULAR
 GENERADOR, CON LAS CADAS VACIADAS EN LOS VÉR-
 TICES TRUNCADOS.

Radio de la esfera circunscrita al dodecae-
 dro generador:

$$r_{ec}^{12} = 110 \text{ mm.}$$



ENUNCIADO: Construir el modelo corpóreo del "ARQUIMEDIANO IV" obtenido por truncadura de vértices de un dodecaedro regular convexo, de arista " a_{12} ", al tomar sobre cada arista, y desde su vértice, la distancia $x = \frac{1}{2} a_{12}$. El Arquimediario obtenido se construirá con las caras originales, y el dodecaedro regular generador, con las caras vaciadas en los vértices truncados.

DATO ÚNICO DE ESTE EJERCICIO: r_{ec}^{12} = radio de la esfera circunscrita al dodecaedro generador:

$$r_{ec}^{12} = 110 \text{ mm}$$

Emiendo presente lo expuesto en las CONSIDERACIONES PREVIAS del modelo M- 40.5, en la que se destaca el proceso geométrico denominado TRUNCADURA DE VÉRTICES de los poliedros regulares convexos, y por el que se obtienen muchos de los POLIEDROS ARQUIMEDIANOS, entre los que se encuentra el ARQUIMEDIANO IV de este ejercicio, podemos establecer de inmediato las siguientes propiedades del poliedro núcleo que se obtiene por truncadura de vértices del dodecaedro regular convexo, a la distancia " $x = \frac{1}{2} a_{12}$ ". El valor de " x " se obtiene de las condiciones geométricas siguientes, cuando el plano secante produzca:



a) En las caras del dodecaedro generador, polígonos regulares convexos de igual (o doble) número de lados que los de las mencionadas caras (en este caso particular, estos polígonos serán pentágonos regulares convexos, cuyos vértices son los centros de los lados de las caras del dodecaedro generador).

b) En los ángulos sólidos de los vértices, polígonos regulares convexos de tantos lados como caras concurren en los vértices del dodecaedro generador, y situados en el plano secante (en este caso particular serán triángulos equiláteros).

Así pues: Por la condición a) el poliedro núcleo tendrá doce caras pentagonales, regulares, convexas, C_5 sobre las caras del poliedro generador, y

Por la condición b) tendrá también veinte caras triángulos regulares, C_3 sobre el plano secante.

Consecuentemente, el poliedro núcleo resultante de esta truncadura de vértices, tendrá las siguientes características geométricas:

(ver cuadro página siguiente)



$$1) \text{ Número de caras pentagonales, regulares, convexas} = 12 C_5$$

$$2) \text{ Número de caras triangulares, regulares} = 20 C_3$$

$$3) \text{ Número de vértices: } = \frac{12 \times 5 + 20 \times 3}{4} = 30 V$$

$$4) \text{ Número de aristas} = \frac{12 \times 5 + 20 \times 3}{2} = 60 A$$

$$5) \text{ Número de caras en cada vértice} = 2 C_3 + 2 C_5$$

Si pues, y a la vista de los resultados anteriores, se deduce que el poliedro cóncavo convexo, resultante de la truncadura de vértices en el dodecaedro regular convexo, es un ARQUIMEDIANO IV, estudiado y representado en el ejercicio G.E. n°...
.- Lámina 36.

Las conclusiones anteriores justifican el enunciado de este ejercicio.

CÁLCULO ANALÍTICO DE LONGITUDES

Previamente a la construcción de este modelo, calculamos las siguientes magnitudes en función de r_{oc}^{12} , dato de este ejercicio.

1) Arista " a_{12} " del dodecaedro generador

Se deduce de la fórmula " $r_{oc}^{12} = \frac{\sqrt{15} + \sqrt{3}}{4} a_{12}$ ", deducida

en el ejercicio G.E. n°.... - Lámina 4; despejando en ella " a_{12} ",
tenemos:

$$\boxed{a_{12}} = r_{oc}^{12} : \frac{\sqrt{15} + \sqrt{3}}{4} = \frac{4}{\sqrt{15} + \sqrt{3}} \times r_{oc}^{12} = \frac{4(\sqrt{15} - \sqrt{3})}{15 - 3} r_{oc}^{12} =$$

$$= \boxed{\frac{\sqrt{15} - \sqrt{3}}{3} r_{oc}^{12}} \quad (1)$$

2) Distancia "x" por la que la truncadura de vértices del dodecaedro regular convexo, produce el Arquimediano IV

Cuando la distancia "x" sea igual a $\frac{1}{2} a_{12}$, la truncadura de vértices en el dodecaedro regular convexo, produce en las caras del mismo, pentágonos regulares convexos, cuyos vértices coinciden con los centros de los lados de los pentágonos de las caras del dodecaedro generador. (condición a).

Así pues, tendremos que

$$x = \frac{1}{2} a_{12}$$

y sustituyendo " a_{12} " por su valor (1), tendremos finalmente que

$$\boxed{x} = \frac{1}{2} a_{12} = \frac{1}{2} \times \frac{\sqrt{15} - \sqrt{3}}{3} r_{oc}^{12} = \boxed{\frac{\sqrt{15} - \sqrt{3}}{6} r_{oc}^{12}} \quad (2)$$

3) Arista " a_{IV} " del Arquimediano IV

Sea (figura 1) ABCDE el pentágono regular convexo, contorno de una cara del dodecaedro generador, de lado " a_{12} ".

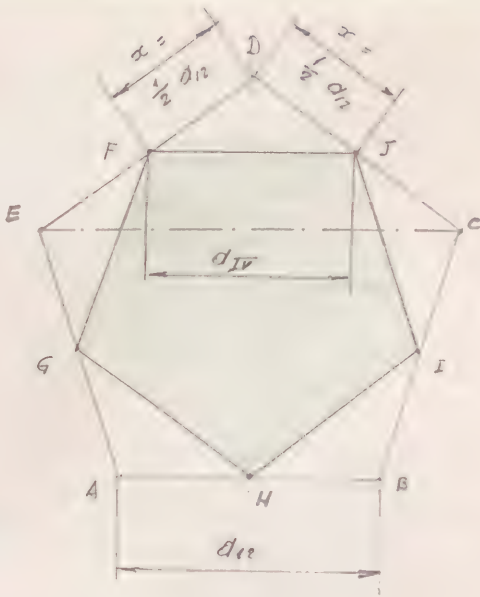


Figura 1

La truncadura de vértices a la distancia $x = \frac{1}{2} d_{12}$, da lugar en dicha cara, a la formación del pentágono $FGHIJ$, regular convexo, cuyos vértices son los centros de los lados del pentágono $ABCDE$, siendo los lados de este último, las aristas d_{IV} del Aquímediano IV , generado.

Así pues tendremos que

$$\overline{FJ} = d_{IV} \quad (3)$$

Unamos E con C , con lo cual se obtiene el triángulo DEC , semejante al FDJ (los lados FJ y EC , son paralelos; la razón de semejanza de dichos triángulos es $\frac{1}{2}$, por lo que será:

$\overline{FJ} = \frac{1}{2} \overline{EC}$, siendo $\overline{FJ} = d_{IV}$ y \overline{EC} , la diagonal del pentágono $ABCDE$; su valor, en función del lado d_{12} es (ver G.P. 1,400-44 (6):

$$\overline{EC} = \frac{\sqrt{5} + 1}{2} d_{12} \quad (4)$$

Así pues, será:

$$\boxed{d_{IV}} = \overline{FJ} = \frac{1}{2} \overline{EC} = \frac{1}{2} \frac{\sqrt{5} + 1}{2} d_{12} = \boxed{\frac{\sqrt{5} + 1}{4} d_{12}} \quad (5)$$

y substituyendo en (5), " d_{12} " por su valor (1), tendremos finalmente:

$$\boxed{a_{IV}} = \frac{\sqrt{5} + 1}{4} a_{12} = \frac{\sqrt{5} + 1}{4} \times \frac{\sqrt{15} - \sqrt{3}}{3} r_{ec}^{12} = \frac{(\sqrt{5} + 1)(\sqrt{15} - \sqrt{3})}{12} r_{ec}^{12} =$$

$$= \frac{\sqrt{75} + \sqrt{15} - \sqrt{15} - \sqrt{3}}{12} r_{ec}^{12} = \frac{5\sqrt{3} - \sqrt{3}}{12} r_{ec}^{12} = \frac{4\sqrt{3}}{12} r_{ec}^{12} = \boxed{\frac{\sqrt{3}}{3} r_{ec}^{12}} \quad (6)$$

Las fórmulas (1) y (6), aplicadas al modelo estudiado, nos dan para $r_{ec}^{12} = 110 \text{ mm}$, los siguientes valores numéricos:

$$(1) \quad \boxed{a_{12}} = \frac{\sqrt{15} - \sqrt{3}}{3} r_{ec}^{12} \cong 0,713644179... \times 110 \cong \boxed{78,5 \text{ mm}} \quad B \quad 2$$

$$(6) \quad \boxed{a_{IV}} = \frac{\sqrt{3}}{3} r_{ec} \cong 0,577350269... \times 110 \cong \boxed{63,5 \text{ m}}$$

$$r_{e.r} = 54,0$$

CONSTRUCCIÓN DEL MODELO PROPUESTO

Para la construcción de este modelo son necesarias las siguientes piezas:

A) ARQUIMEDIANO NÚCLEO IV, DE CARAS MACIZAS

PIEZA N°1 CARAS LATERALES TRIANGULARES REGULARES

20 unidades

La forma y dimensiones se detallan en la figura 1.

PIEZA N°1 20 (4)

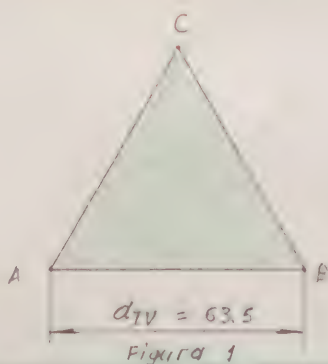


Figura 1

PIEZA N° 2 CADAS LATERALES PENTAGONALES REGULARES

12 unidades

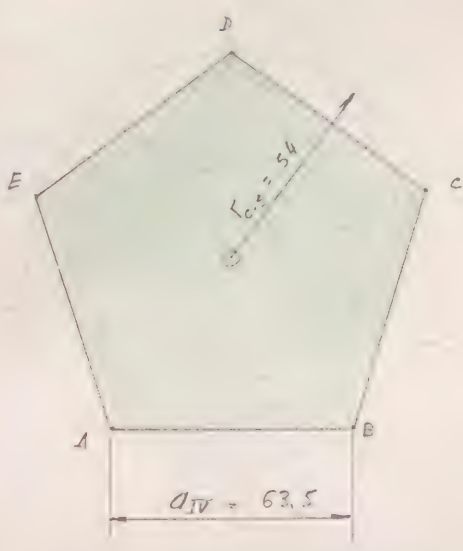


Figura 2

Para mayor exactitud en el trazado de este pentágono regular convexo, calculamos previamente el valor del radio $r_{c.s}$ de su circunferencia circunscrita (ver fórmula (3) G.P. 1400-44).

$$r_{c.s} = \sqrt{\frac{5 + \sqrt{5}}{10}} L_s = 0.85065 \times 63.5 = 54.0 \text{ mm}$$

La forma y dimensiones se detallan en la figura 2.

PIEZA N° 2

12 (U)

Figura 2

PIEZA N° 3 REFUERZO NORMAL INTERIOR DE LAS CARAS TRIANGULARES REGULARES

20 unidades

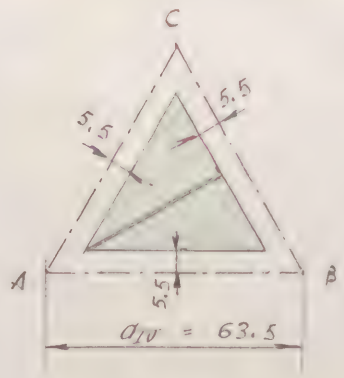


Figura 3

La forma y dimensiones se deducen de la del triángulo ABC de la figura 1, y se detallan en la figura 3.

PIEZA N° 3

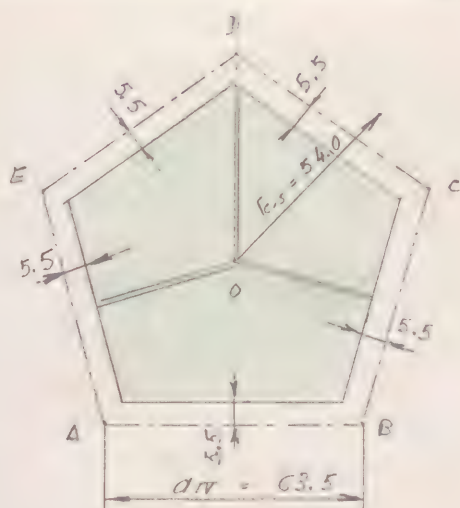
20 (U)

Figura 3

PIEZA N° 4 REFUERZO NORMAL INTERIOR DE LAS CARAS PENTAGONALES REGULARES

12 unidades

La forma y dimensiones se deducen de la del pentágono regular convexo ABCDE de la figura 2, y se detallan en la fig. 4.



PIEZA N° 4

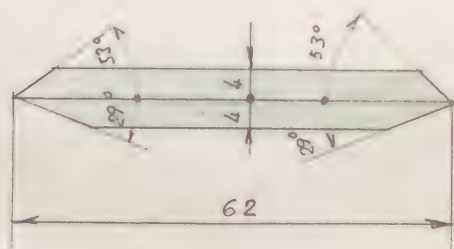
12 (u)

Figura 4

Figura 4

PIEZA N° 5 UNIONES ADISTAS 60 unidades

La forma y dimensiones se detallan en la figura 5



PIEZA N° 5 60 (u)

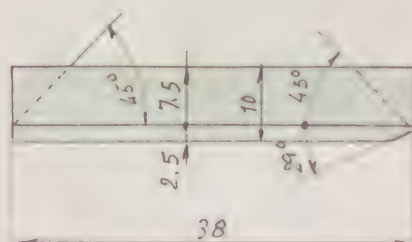
Figura 5

Figura 5

PIEZA N° 6 REFUERZO TRANSVERSAL INTERIOR DE LAS CARAS
TRIANGULARES 40 unidades

(simétricas dos a dos)

La forma y dimensiones se detallan en la figura 6; en colocación en la figura 3.



PIEZA N° 6 40 (u)

Figura 6

Figura 6



PIEZA N° 7 REFUERZO TRANSVERSAL INTERIOR DE LAS CARAS
PENTAGONALES

36 unidades

(simétricas dos a dos)

- { 24 (u) con cotas negras }
- { 12 (u) con cotas rojas }

La forma y dimensiones se detallan en la figura 7; su colocación, en la figura 4.

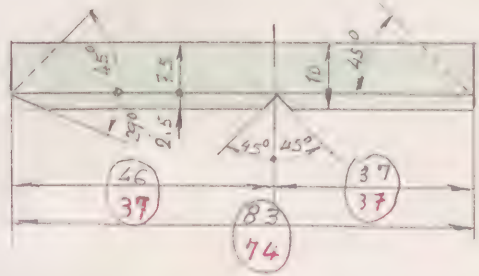


Figura 7

PIEZA N° 7 36 (u)

(simétricas dos a dos)

PIEZA N° 8 FORRO COLOREADO EN CARAS TRIANGULARES

20 unidades

La forma y dimensiones se deducen de las del triángulo ABC de la figura 7, y se detallan en la figura 8.

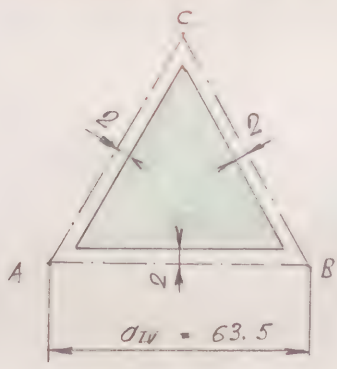


Figura 8

PIEZA N° 8 20 (u)

Figura 8

PIEZA N° 9 FORRO COLOREADO EN CARAS PENTAGONALES

12 unidades

La forma y dimensiones se deducen de las del pentágono regular convexo ABCDE de la figura 2, y se detallan en la figura 9.

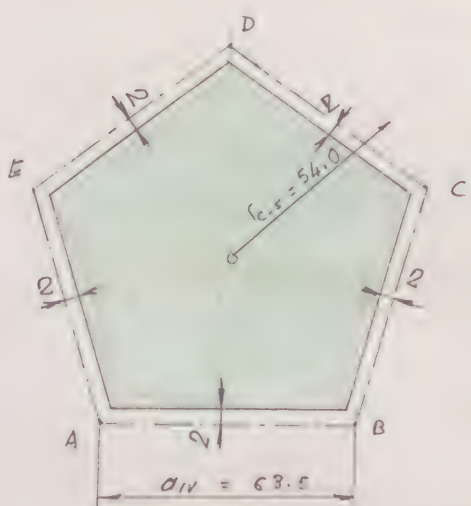


Figura 9

PIEZA N° 9 12 (u)

Figura 9

B) DODECAEDRO REGULAR CONVEXO GENERADOR DE CAVAS VACIADAS

Se reduce a veinte pirámides pentagonales, rectas y regulares, cuyo desarrollo es el siguiente:

PIEZA N° 10 DESARROLLO LATERAL DE LAS VEINTE PIRÁMIDES TRUNCADAS 20 unidades

$$\overline{AB} = \overline{BC} = \overline{CA} = 63.5 \text{ mm}$$

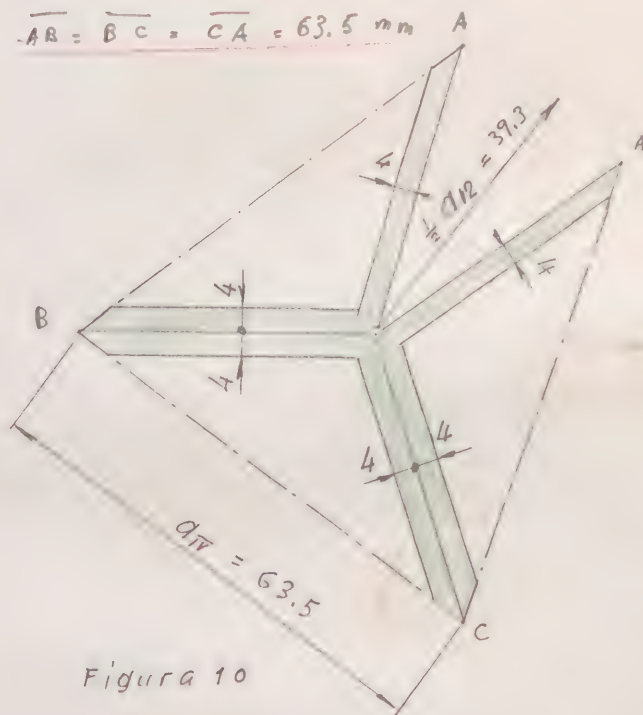


Figura 10

La forma y dimensiones se detallan en la fig. 10

PIEZA N° 10

20(u)

Figura 10

PIEZA N° 11 UNIONES ARISTAS

60 unidades

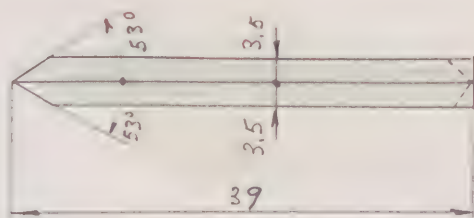


Figura 11

La forma y dimensiones se detallan en la figura 11

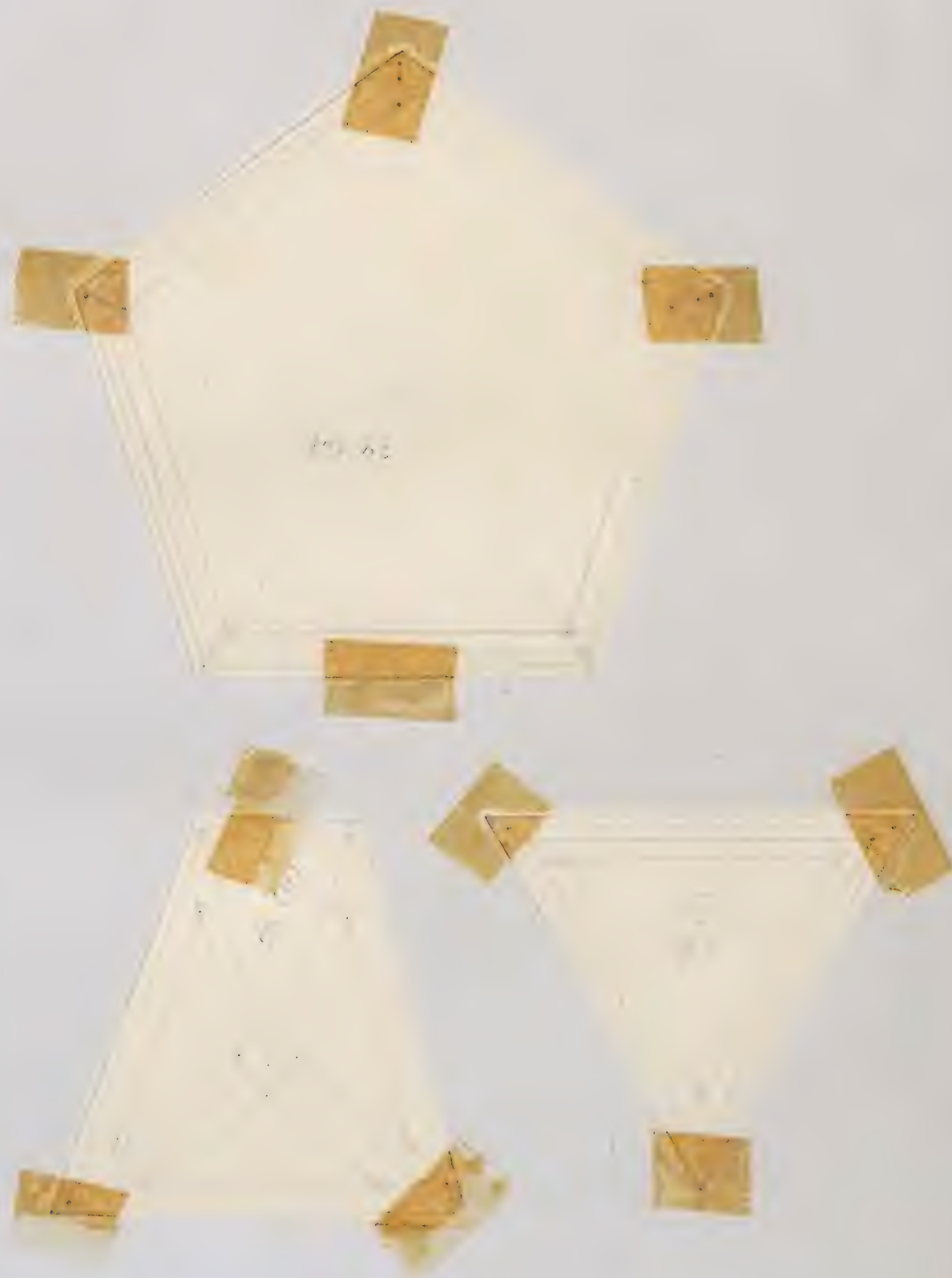
PIEZA N° 11 60(u)

Figura 11



MODELO M-36.5

Patrones



EJECUTORIO

VARIANTE DEL MODELO CORPÓREO M-36.5, CONSISTENTE EN ADICIONAR AL MISMO, DOCE PIDÁMIDES RECTAS, REGULARES, PENTAGONALES, DE CARAS VARIADAS, QUE TENGAN POR BASES LAS CARAS PENTAGONALES DEL "ARQUIMEDIANO IV" GENERADO, Y POR VERTICES, LAS PROYECCIONES, SOBRE LA ESFERA CIRCUNSCRITA AL DODECAEDRO GENERADOR, DESDE LOS CENTROS DE LAS CARAS PENTAGONALES, DESDE EL CENTRO "O" DEL POLIEDRO GENERADOR.

Radio de la esfera circunscrita:

$$r_{pc}^{12} = 110 \text{ mm.}$$

ENUNCIADO: Construir el modelo corpóreo obtenido al adicionar al modelo M-36-5, doce pirámides rectas, regulares pentagonales, de caras variadas, que tengan por bases las caras pentagonales del "Arquimediano IV" generado, y por vértices, las proyecciones, sobre la esfera circunscrita al dodecaedro generador, desde los centros de las caras pentagonales, desde el centro del poliedro generador.

Como se deduce de este enunciado, ha de construirse previamente un modelo igual al M-36.5, al cual ha de añadirse doce pirámides rectas de base pentagonal regular, y de caras variadas, cuyo desarrollo y dimensiones estudiamos a continuación.

La altura " h_5 " de dichas pirámides, se obtiene por diferencia del radio " r_{ec}^{12} " de la esfera circunscrita al dodecaedro regular convexo generador, y del radio " r_{ei}^{IV-5} " de la esfera tangente a las caras pentagonales del Arquimediano IV generado. Así pues, será:

$$h_5 = r_{ec}^{12} - r_{ei}^{IV-5} \quad (1)$$

El radio r_{ec}^{12} , se obtuvo en el ejercicio G.E.nº.... Lámina 4, en función de la arista " a_{12} " del dodecaedro generador. Su valor es:

$$r_{ec}^{12} = \frac{\sqrt{15} + \sqrt{3}}{4} a_{12} \quad (2)$$

El radio r_{ei}^{IV-5} de la esfera tangente a las caras pentagonales del Arquimédiano IV, se obtuvo en el ejercicio G.E. n.º. ...-Lámina 36". Su valor en función de la arista " a_{IV} " de dicho Arquimédiano, es

$$r_{ei}^{IV-5} = \sqrt{\frac{5 + 2\sqrt{5}}{5}} a_{IV} \quad (3)$$

y sustituyendo a_{IV} por su valor " $\frac{\sqrt{5} + 1}{4} a_{12}$ " (ver fórmula (5) del ejercicio M-36.5), tendremos:

$$\begin{aligned} r_{ei}^{IV-5} &= \sqrt{\frac{5 + 2\sqrt{5}}{5}} \times \frac{\sqrt{5} + 1}{4} a_{12} = \sqrt{\frac{5 + 2\sqrt{5}}{5} \times \frac{(\sqrt{5} + 1)^2}{4^2}} a_{12} = \\ &= \sqrt{\frac{(5 + 2\sqrt{5})(5 + 1 + 2\sqrt{5})}{5 \times 4^2}} a_{12} = \sqrt{\frac{(5 + 2\sqrt{5})(6 + 2\sqrt{5})}{5 \times 4^2}} a_{12} = \\ &= \sqrt{\frac{(5 + 2\sqrt{5})(3 + \sqrt{5})}{5 \times 4 \times 2}} a_{12} = \sqrt{\frac{15 + 6\sqrt{5} + 5\sqrt{5} + 10}{5 \times 4 \times 2}} a_{12} = \sqrt{\frac{25 + 11\sqrt{5}}{40}} a_{12} \quad (4) \end{aligned}$$

Sustituyendo en (1) los valores (2) y (4), tendremos:

$$\begin{aligned} h_5 &= r_{ec}^{12} - r_{ei}^{IV-5} = \frac{\sqrt{15} + \sqrt{3}}{4} a_{12} - \sqrt{\frac{25 + 11\sqrt{5}}{40}} a_{12} = \\ &= \left[\frac{\sqrt{15} + \sqrt{3}}{4} - \sqrt{\frac{25 + 11\sqrt{5}}{40}} \right] a_{12} \quad (5) \end{aligned}$$

Sustituyendo en (5) el valor " $a_{12} = \frac{\sqrt{15} - \sqrt{3}}{3} r_{ec}^{12}$ ", en función del radio r_{ec}^{12} de la esfera circunscrita al dodecaedro



generador (ver fórmula (1) del modelo M-36.5), tendremos:

$$\begin{aligned}
 h_5 &= \left[\frac{\sqrt{15} + \sqrt{3}}{4} - \sqrt{\frac{25 + 11\sqrt{5}}{40}} \right] \times \frac{\sqrt{15} - \sqrt{3}}{3} r_{ec}^{12} = \\
 &= \left[\frac{\sqrt{15} + \sqrt{3}}{4} \times \frac{\sqrt{15} - \sqrt{3}}{3} - \sqrt{\frac{25 + 11\sqrt{5}}{40}} \times \frac{\sqrt{15} - \sqrt{3}}{3} \right] r_{ec}^{12} = \\
 &= \left[\frac{15 - 3}{12} - \sqrt{\frac{25 + 11\sqrt{5}}{40}} \times \left(\frac{\sqrt{15} - \sqrt{3}}{3} \right)^2 \right] r_{ec}^{12} = \left[1 - \frac{(25 + 11\sqrt{5})(\sqrt{15} - \sqrt{3})^2}{40 \times 3^2} \right] r_{ec}^{12} = \\
 &= \left[1 - \sqrt{\frac{(25 + 11\sqrt{5})(15 + 3 - 2\sqrt{45})}{2^2 \times 10 \times 3^2}} \right] r_{ec}^{12} = \left[1 - \sqrt{\frac{(25 + 11\sqrt{5})(18 - 2 \times 3\sqrt{5})}{2^2 \times 10 \times 3^2}} \right] r_{ec}^{12} = \\
 &= \left[1 - \sqrt{\frac{(25 + 11\sqrt{5})(3 - \sqrt{5})}{2 \times 10 \times 3}} \right] r_{ec}^{12} = \left[1 - \sqrt{\frac{75 + 33\sqrt{5} - 25\sqrt{5} - 55}{60}} \right] r_{ec}^{12} = \\
 &= \left[1 - \sqrt{\frac{20 + 8\sqrt{5}}{60}} \right] r_{ec}^{12} = \boxed{\left[1 - \sqrt{\frac{5 + 2\sqrt{5}}{15}} \right] r_{ec}^{12}} \quad (6)
 \end{aligned}$$

Para obtener la longitud de la arista " a_5 " de las caras laterales de las pirámides pentagonales, tendremos en cuenta que " a_5 " es la hipotenusa de un triángulo rectángulo, uno de cuyos catetos es " h_5 " y el otro el radio " r_{c-5} " de la circunferencia circunscrita a la cara pentagonal del Arquimediano IV.

Así pues, tendremos

$$a_5 = \sqrt{(h_5)^2 + (r_{c-5})^2} \quad (7)$$

El radio " r_{c-5} " de la circunferencia circunscrita a un pentágono regular convexo, en función de su lado " l_5 ", es (ver fórmula (3) del ejercicio G.P. 1400-44):

$$r_{e.s} = \sqrt{\frac{5 + \sqrt{5}}{10}} \cdot l_s \quad (8)$$

En la fórmula (8), aplicada a este estudio, es " $l_s = \alpha_{1v} = \frac{\sqrt{3}}{3} r_{ec}^{12}$ " (ver fórmula (6) del modelo M-36.5). Sustituyendo valores, obtenemos:

$$\begin{aligned} r_{e.s} &= \sqrt{\frac{5 + \sqrt{5}}{10}} \times \frac{\sqrt{3}}{3} r_{ec}^{12} = \sqrt{\frac{5 + \sqrt{5}}{10} \times \left(\frac{\sqrt{3}}{3}\right)^2} r_{ec}^{12} = \sqrt{\frac{(5 + \sqrt{5}) \times 3}{90}} r_{ec}^{12} = \\ &= \sqrt{\frac{5 + \sqrt{5}}{30}} r_{ec}^{12} \quad (9) \end{aligned}$$

Sustituyendo en (7) los valores (6) y (9), tendremos:

$$\begin{aligned} \alpha_s &= \sqrt{\left[\left(1 - \sqrt{\frac{5 + 2\sqrt{5}}{15}}\right) r_{ec}^{12}\right]^2 + \left[\sqrt{\frac{5 + \sqrt{5}}{30}} r_{ec}^{12}\right]^2} = \\ &= \sqrt{\left(1 - \sqrt{\frac{5 + 2\sqrt{5}}{15}}\right)^2 + \frac{5 + \sqrt{5}}{30}} r_{ec}^{12} = \sqrt{1 + \frac{5 + 2\sqrt{5}}{15} - 2 \times \sqrt{\frac{5 + 2\sqrt{5}}{15}} + \frac{5 + \sqrt{5}}{30}} r_{ec}^{12} = \\ &= \sqrt{\frac{30}{30} + \frac{10 + 2\sqrt{5}}{30} + \frac{5 + \sqrt{5}}{30} - \frac{20 + 8\sqrt{5}}{15}} r_{ec}^{12} = \\ &= \sqrt{\frac{45 + 5\sqrt{5}}{30} - \frac{20 + 8\sqrt{5}}{15}} r_{ec}^{12} \quad (10) \end{aligned}$$

Las fórmulas " $\alpha_{1v} = \frac{\sqrt{3}}{3} r_{ec}^{12}$ " (fórmula (6) del modelo M-36.5) y la n.º (10) de este modelo, nos permiten calcular los elementos necesarios para el desarrollo lateral de las pirámides pentagonales que se adicionan al modelo M-36.5, para obtener el que se estudia.

Para este caso particular, el $r_{ec}^{12} = 110 \text{ mm}$, y por consiguiente,

$$\alpha_{11} = \frac{\sqrt{3}}{3} r_{ec}^{12} \approx 0,577350269... \times 110 \approx 63,5 \text{ mm}$$

$$\alpha_5 = \sqrt{\frac{45 + 5\sqrt{5}}{30}} - \sqrt{\frac{20 + 8\sqrt{5}}{15}} r_{ec}^{12} \approx 0,532324198... \times 110 \approx 58,6 \text{ mm}$$

Para la construcción de este modelo, se precisan las siguientes piezas:

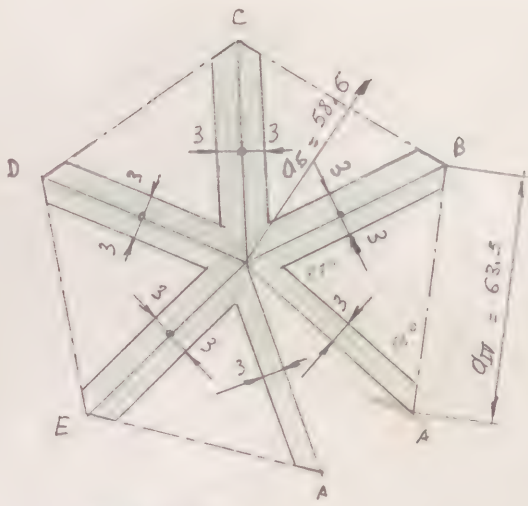
A) MODELO CORPÓREO DEL ARQUIMEDIANO IV; OBTENIDO POR TRUNCADURA DE VÉRTICES DE UN DODECAEDRO REGULAR CONVEXO, A LA DISTANCIA $x = \frac{1}{2} a_{12}$

Piezas 1 al 11, iguales a las del modelo M-36.5

B) PIRÁMIDES RECTAS, PENTAGONALES, REGULARES, DE CARAS VACIADAS, QUE SE ADICIONAN AL MODELO M-36.5

PIEZA N° 12 DESARROLLO LATERAL DE LAS PIRÁMIDES ADICIONADAS 12 unidades

La forma y dimensiones se detallan en la figura n° 1



$$AB = BC = CD = DE = EA = 63.5 \text{ mm}$$

PIEZA N° 12

12 (u)

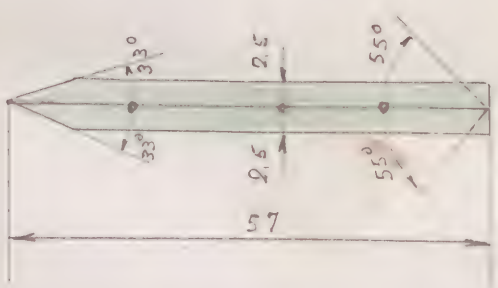
Figura 1

PIEZA N° 13

UNIONES ADISTAS

60 unidades

La forma y dimensiones se detallan en la figura 2



PIEZA N° 13

60 (u)

Figura 2

Figura 2



MODELO M-36.6

PATRONES





MODELO CORPÓREO DEL "ARQUIMEDIANO IV" OBTENIDO POR TRUNCADURA DE VÉRTICES DE UN ICOSAEDRO REGULAR CONVEXO, DE ARISTA " a_{20} ", AL TOMAR SOBRE CADA ARISTA, Y DESDE SU VÉRTICE, LA DISTANCIA " $\frac{1}{2} a_{20}$ ". - EL ARQUIMEDIANO OBTENIDO, SE CONSTRUIRÁ CON LAS CARAS MACIZAS, Y EL ICOSAEDRO REGULAR GENERADOR, CON LAS CARAS VACIADAS EN LOS VÉRTICES TRUNCADOS.

Radio de la esfera circunscrita al icosaedro generador:

$$r_{ec}^{20} = 110 \text{ m m.}$$

ENUNCIADO: Construir el modelo corpóreo del "ARQUIMEDIANO IV", obtenido por truncadura de vértices de un icosaedro regular convexo, de arista " a_{20} ", al tomar sobre cada arista, y desde su vértice, la distancia " $x = \frac{1}{2} a_{20}$ ". El Arquimediario obtenido, se construirá con las caras vacías, y el icosaedro regular generador, con las caras vaciadas en los vértices truncados.

DATO ÚNICO DE ESTE EJERCICIO: r_{ec}^{20} = radio de la esfera circunscrita al icosaedro generador:

$$r_{ec}^{20} = 110 \text{ m m}$$

Señalando presente lo expuesto en las CONSIDERACIONES PREVIAS del modelo M-40.5, en las que se destaca el proceso geométrico denominado TRUNCADURA DE VÉRTICES de los cinco poliedros regulares convexos, y por el que se obtiene muchos de los POLIEDROS ARQUIMEDIANOS, entre los que se encuentra el ARQUIMEDIANO IV de este ejercicio, podemos establecer de inmediato las siguientes propiedades del poliedro único que se obtiene por truncadura de vértices del icosaedro regular convexo, a la distancia " $x = \frac{1}{2} a_{20}$ ". El valor de " x " se obtiene por las condiciones geométricas siguientes, cuando el plano secante produzca:

a) En las caras del icosaedro generador, polígonos regulares convexos de igual (o doble) número de lados que los de las mencionadas caras (en este caso particular, estos polígonos serán triángulos equiláteros, cuyo vértices son los centros de los lados de las caras del icosaedro).

b) En los ángulos sólidos de los vértices, polígonos regulares convexos de tantos lados como caras concurren en los vértices (en este caso particular, serán "pentágonos regulares").

Así pues: Por la condición a), el poliedro núcleo tendrá veinte caras triangulares equiláteras, C_3 , sobre las caras del icosaedro generador, y

Por la condición b), tendrá también doce caras pentagonales regulares C_5 , sobre el plano secante.

Consecuentemente, el poliedro núcleo resultante de esta truncadura de vértices, tendrá las siguientes características geométricas que detallamos en el cuadro siguiente:

- | | | | |
|----|--|---------------------------------------|----------|
| 1) | Número de caras triangulares regulares | = | 20 C_3 |
| 2) | Número de caras pentagonales regulares | = | 12 C_5 |
| 3) | Número de vértices: | $\frac{20 \times 3 + 12 \times 5}{4}$ | = 30 V |

(sigue en hoja 3)

Alvarez

Marzo 1982



$$4) \text{ Número de aristas } = \frac{20 \times 3 + 12 \times 5}{2} = 60 \text{ A}$$

$$5) \text{ Número de caras en cada vértice } = 2 C_3 + 2 C_5$$

A la vista de los resultados anteriores, se deduce que el poliedro muelo convexo, resultante de la truncadura de vértices del icosaedro regular convexo, es un ARQUIMEDIANO IV, estudiado en el ejercicio G.E. n° --- Lámina 4.

Las conclusiones anteriores justifican el enunciado de este ejercicio.

CÁLCULO ANALÍTICO DE LONGITUDES

Previamente a la construcción de este modelo, calcularemos, en función de r_{ec}^{20} (dato de este ejercicio), las siguientes magnitudes:

1) Arista " a_{20} " del icosaedro generador

Se deduce de la fórmula " $r_{ec}^{20} = \frac{\sqrt{10 + 2\sqrt{5}}}{4} a_{20}$ " obtenida en el ejercicio G.E. n° --- Lámina 5; despejando en ella " a_{20} ", tenemos:

$$\begin{aligned} a_{20} &= r_{ec}^{20} \cdot \frac{\sqrt{2(5+\sqrt{5})}}{4} = \frac{4}{\sqrt{2(5+\sqrt{5})}} r_{ec}^{20} = \frac{4\sqrt{2(5+\sqrt{5})}}{2(5+\sqrt{5})} r_{ec}^{20} = 2 \sqrt{\frac{2(5+\sqrt{5})}{(5+\sqrt{5})^2}} r_{ec}^{20} \\ &= 2 \sqrt{\frac{2}{5+\sqrt{5}}} r_{ec}^{20} = 2 \sqrt{\frac{2(5-\sqrt{5})}{20}} r_{ec}^{20} = 2 \sqrt{\frac{5-\sqrt{5}}{10}} r_{ec}^{20} \end{aligned}$$

de donde se obtiene finalmente:

$$\boxed{a_{20} = 2 \sqrt{\frac{5-\sqrt{5}}{10}} r_{ec}^{20}} \quad (1)$$

2) Distancia "x" en la que la truncadura de vértices del icosaedro regular convexo, produce el ARQUIMEDIANO TV

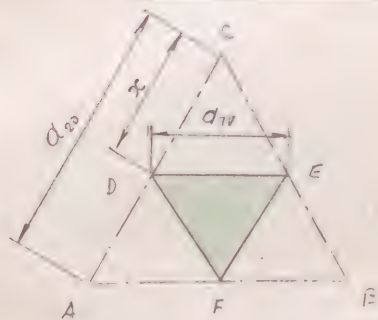


Figura 1

Sea (fig. 1) ABC una cara del icosaedro generador de arista $\overline{AC} = a_{20}$. Uniendo los puntos medios de los lados de dicha cara, se nos formará el triángulo DEF que es regular, por lo que será $\overline{CD} = \overline{DE} = \frac{1}{2} \overline{CA}$. De donde se deduce que

$x = a_{11} = \frac{1}{2} a_{20}$ que nos da el valor de la distancia de la truncadura de vértices del icosaedro generador, lo que justifica el enunciado.

El valor de "x" en función de r_{ec}^{20} , será pues, substituyendo el de (1)

$$\boxed{x = \frac{1}{2} a_{20} = \frac{1}{2} \times 2 \times \sqrt{\frac{5-\sqrt{5}}{10}} r_{ec}^{20} = \sqrt{\frac{5-\sqrt{5}}{10}} r_{ec}^{20}} \quad (2)$$

El valor numérico para $r_{ec}^{20} = 110$, será el siguiente:

$$\boxed{x = \sqrt{\frac{5-\sqrt{5}}{10}} r_{ec}^{20} \approx 0,52573112... \times 110 \approx 57,9 \text{ m m}}$$

3) Arista " d_{IV} " del ARQUIMEDIANO IV

Es igual a la distancia "x"

$$d_{IV} = x = \left[\sqrt{\frac{5-\sqrt{5}}{10}} r_{ec}^{20} \right] \quad (3)$$

Las fórmulas (1) y (3), aplicadas al modelo estudiado, tienen los siguientes valores numéricos:

$$d_{20} = 2 \sqrt{\frac{5-\sqrt{5}}{10}} r_{ec}^{20} = 1,051462224... \times 110 \approx 115,7 \text{ mm} \quad (1)$$

$$d_{IV} = \sqrt{\frac{5-\sqrt{5}}{10}} r_{ec}^{20} \approx 0,525731112... \times 110 \approx 57,9 \text{ mm}$$

CONSTRUCCIÓN DEL MODELO PROPUESTO

Para la construcción de este modelo, son necesarias las siguientes piezas:

A) ARQUIMEDIANO NÚCLEO IV DE CARAS MACIZAS

PIEZA N° 1 CARAS LATERALES TRIANGULARES REGULARES

20 unidades

La forma y dimensiones se detallan en la figura 1

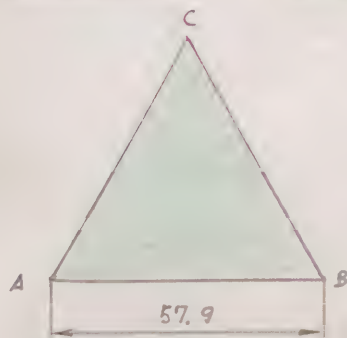


Figura 2

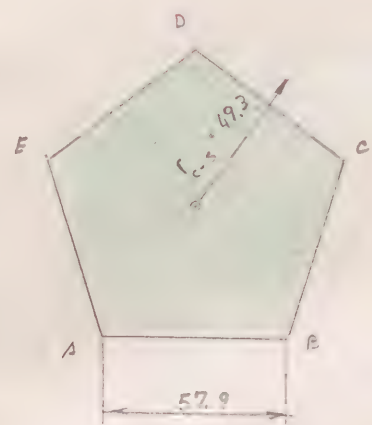
PIEZA N° 1 20 (u)

Figura 1

PIEZA N° 2

CARAS LATERALES PENTAGONALES REGULARES

12 unidades



Radio de la circunferencia circunscrita al pentágono: $r_{c.s.} = 0.8507 \times 57.9 = 49.3 \text{ mm}$

PIEZA N° 2

12 (u)

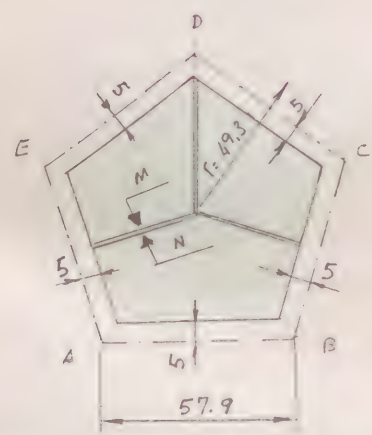
Figura 3

Figura 3

PIEZA N° 3

REFUERZO NORMAL INTERIOR EN CARAS PENTAGONALES REGULARES

12 unidades



La forma y dimensiones se deducen de las del pentágono ABCDE de la figura 3, y se detallan en la figura 4

PIEZA N° 3

12 (u)

Figura 4

Figura 4

PIEZA N° 4

REFUERZO TRANSVERSAL INTERIOR.- TIPO N

24 unidades



La forma y dimensiones se detallan en la figura 5; su colocación en la figura 4

PIEZA N° 4

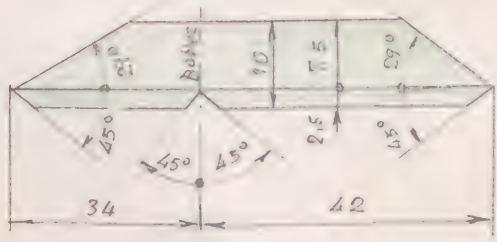
24 (u)

Figura 5

Figura 5

PIEZA N° 5 REFUERZO TRANSVERSAL INTERIOR, - TIPO M

24 unidades (simétricas 2 a 2)



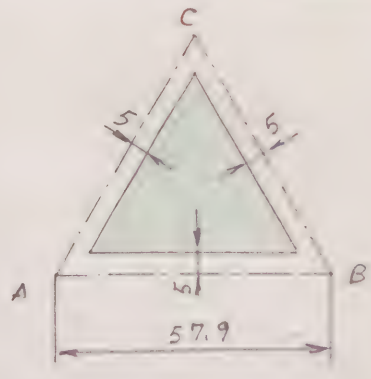
La forma y dimensiones se detallan en la figura 6; en colocación, en la figura 4

Figura 6

PIEZA N° 5 24 (u)

Figura 6

PIEZA N° 6 REFUERZO NORMAL INTERIOR EN CARAS TRIANGULARES REGULARES 20 unidades



La forma y dimensiones se deducen de las del triángulo ABC de la figura 2, y se detallan en la figura 8

Figura 7

PIEZA N° 7 20 (u)

Figura 7

PIEZA N° 7

UNIONES ARISTAS

60 unidades

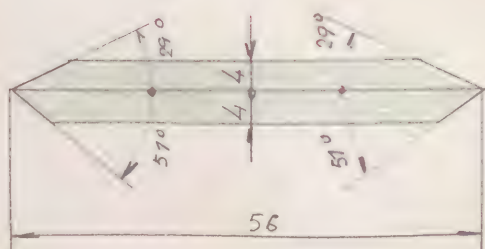


Figura 8

La forma y dimensiones se detallan en la figura 8

PIEZA N° 8 60(u)

Figura 9

PIEZA N° 8

FORRO COLOREADO EN CARAS PENTAGONALES

REGULARES

12 unidades

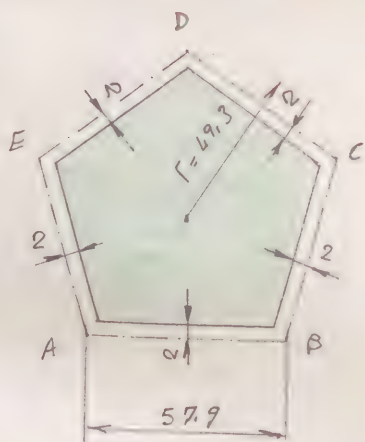


Figura 9

La forma y dimensiones se deducen de las del pentágono ABCDE de la figura 3, y se detallan en la figura 9.

PIEZA N° 9 12(u)

Figura 10

PIEZA N° 9

FORRO COLOREADO EN CARAS TRIANGULARES

REGULARES

20 unidades

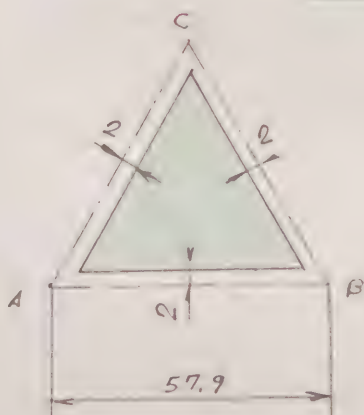


Figura 10

La forma y dimensiones se deducen de las del triángulo ABC de la figura 2, y se detallan en la figura 10

PIEZA N° 10 20(u)

Figura 11

B) ICOSAEDRO GENEADOR DE CARAS VACIADAS

PIEZA N° 10 PIRÁMIDES APARENTES SOBRE LAS CARAS PEN-
TAGONALES REGULARES DEL ARQUIMEDIANO, DE
CARAS VACIADAS, 12 unidades

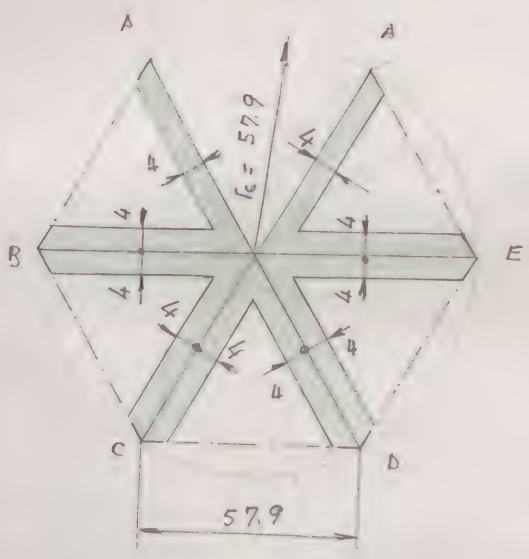


Figura 11

La forma y dimensiones se detallan en la figura 11

PIEZA N° 10
12 (11)

Figura 11

PIEZA N° 11 UNIONES ARISTAS DE LAS PIRÁMIDES ANTE-
RIORES, 60 unidades

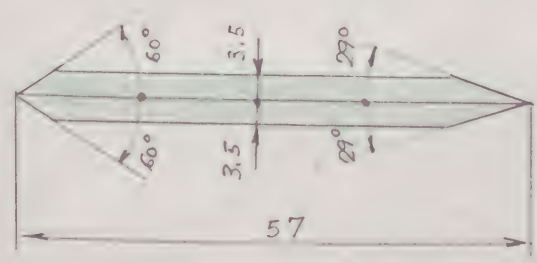


Figura 12

La forma y dimensiones se detallan en la figura 12

PIEZA N° 11
60 (4)

Figura 12

MODELO CORPÓREO DEL POLIEDRO CONVEXO DE
 CARAS MACIZAS "ARQUIMEDIANO V ", FORMA-
 DO POR OCHO CARAS TRIANGULARES REGULARES (C_3)
 Y DIEZ Y OCHO CARAS CUADRADAS (C_4), CONCU-
 RRIENDO EN CADA VÉRTICE $1 C_3 + 3 C_4$

Radio de la esfera circunscrita:

$$r_{ec}^V = 110 \text{ mm.}$$



ENUNCIADO: Construir el modelo corpóreo del poliedro convexo de caras macizas "ARQUIMEDIANO V", formado por ocho caras triangulares regulares (C_3) y diez y ocho caras cuadradas (C_4), concu-
riendo en cada vértice $1 C_3 + 3 C_4$.

Este poliedro ha sido estudiado analíticamente en el ej-
cicio G.E. n°. Lámina 37, y representado en sus vistas prin-
cipal, superior y lateral izquierda en la mencionada Lá-
mina 37, a escala 1:1, con el radio r_{ec}^V de su esfera cir-
cunscrita, de $r_{ec}^V = 55 \text{ mm}$.

DATO ÚNICO DE ESTE EJERCICIO: Radio de la esfera circuns-
crita

$$r_{ec}^V = 110 \text{ mm}$$

Las características geométricas del ARQUIMEDIANO V, son las si-
guientes

Número de caras triangulares regulares..... $C_3 = 8$

Número de caras cuadradas..... $C_4 = 18$

Número de vértices = $\frac{8 \times 3 + 18 \times 4}{4} = \dots\dots\dots V = 24$

Número de aristas = $\frac{8 \times 3 + 18 \times 4}{2} = \dots\dots\dots A = 48$

Número de caras en cada vértice..... $1 C_3 + 3 C_4$



Para obtener el despiece de este poliedro calcularemos previamente la longitud " a^V " de la arista del mismo, en función del radio " r_{ec}^V " de su esfera circunscrita.

El valor se deduce de la fórmula $r_{ec}^V = \frac{1}{2} \sqrt{5+2\sqrt{2}} a^V$ obtenida en el mencionado ejercicio G.E. n°. Lámina 37.

Despejando en ella a^V , tendremos:

$$a^V = r_{ec}^V : \frac{\sqrt{5+2\sqrt{2}}}{2} = \frac{2}{\sqrt{5+2\sqrt{2}}} r_{ec}^V = \sqrt{\frac{4}{5+2\sqrt{2}}} r_{ec}^V = \sqrt{\frac{4 \times (5-2\sqrt{2})}{25-8}} r_{ec}^V =$$

$$= \sqrt{\frac{20-8\sqrt{2}}{17}} r_{ec}^V \quad \text{En el caso estudiado, su valor numérico será:}$$

$$a^V = \sqrt{\frac{20-8\sqrt{2}}{17}} \times 110 \approx 0.714813489... \times 110 \approx 78.6 \text{ mm}$$

Esta sola magnitud nos permite la construcción del poliedro estudiado, para lo cual son necesarias las siguientes piezas:

PIEZA N°1 CARAS LATERALES TRIANGULARES REGULARES
8 unidades

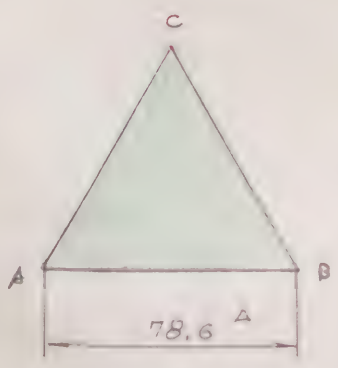
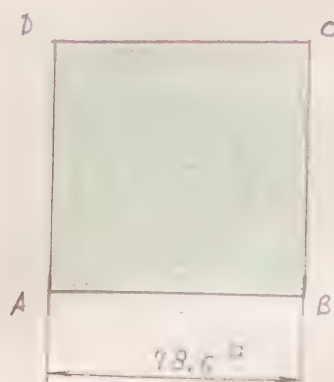


Figura 1

La forma y dimensiones se detallan en la figura 1

PIEZA N°1 8(u)

Figura 1

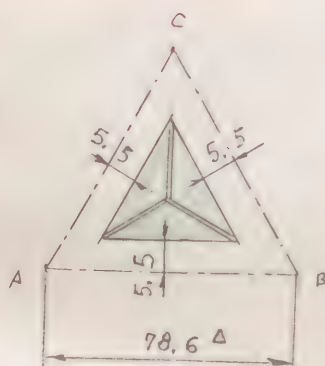
PIEZA N° 2CARAS LATERALES CUADRADAS18 unidades

La forma y dimensiones se detallan en la figura 2

PIEZA N° 2 18 (u)

Figura 2

Figura 2

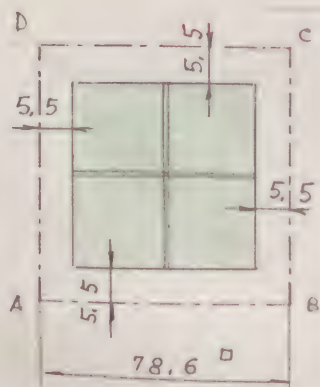
PIEZA N° 3REFUERZO NORMAL INTERIOR DE LAS CARAS TRIANGULARES REGULARES8 unidades

La forma y dimensiones se deducen de las del triángulo ABC de la figura 1, y se detallan en la figura 3

PIEZA N° 3 8 (u)

Figura 3

Figura 3

PIEZA N° 4REFUERZO NORMAL INTERIOR EN CARAS CUADRADAS18 unidades

La forma y dimensiones se deducen de las del cuadrado ABCD de la figura 2, y se detallan en la figura 4.

PIEZA N° 4 18 (u)

Figura 4

Figura 4



PIEZA N° 5 UNIONES ARISTAS DE UNA CARA TRIANGULAR CON
OTRA CUADRADA 24 unidades

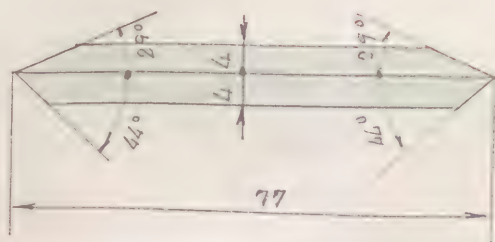


Figura 5

La forma y dimensiones se detallan en la figura 5

PIEZA N° 5 24 (u)

Figura 5

PIEZA N° 6 UNIONES ARISTAS DE DOS CARAS CUADRADAS 24 unidades

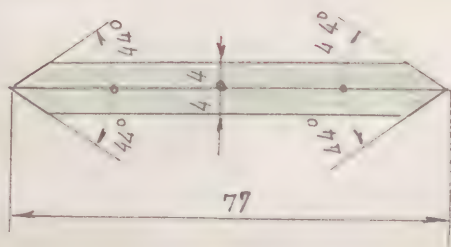


Figura 6

La forma y dimensiones se detallan en la figura 6.

PIEZA N° 6 24 (u)

Figura 6

PIEZA N° 7 REFUERZO TRANSVERSAL INTERIOR DE LAS
CARAS TRIANGULARES 24 unidades

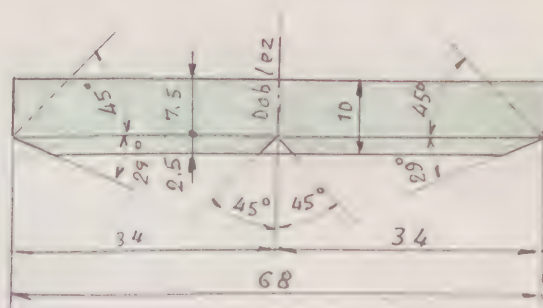


Figura 7

La forma y dimensiones se detallan en la figura 7; en colocación en la figura 3.

PIEZA N° 7 24 (u)

Figura 7

PIEZA N° 8 REFUERZO TRANSVERSAL INTERIOR EN LAS CARAS CUADRADAS 72 unidades

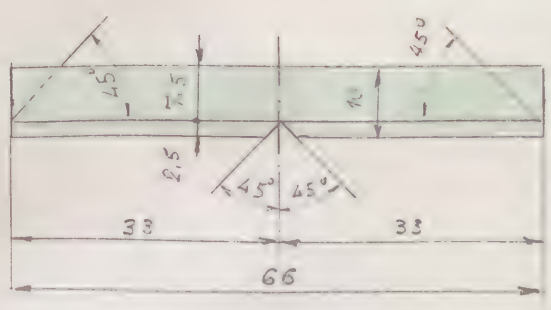


Figura 8

La forma y dimensiones se detallan en la figura 8; su colocación en la figura 4.

PIEZA N° 8 72 (u)

Figura 8

PIEZA N° 9 FORRO COLOREADO EN CARAS TRIANGULARES

8 unidades

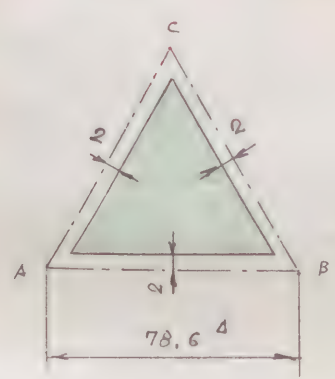


Figura 9

La forma y dimensiones se deducen del triángulo ABC de la figura 4, y se detallan en la figura 9.

PIEZA N° 9 8 (u)

Figura 9

PIEZA N° 10 FORRO COLOREADO EN CARAS CUADRADAS

18 unidades

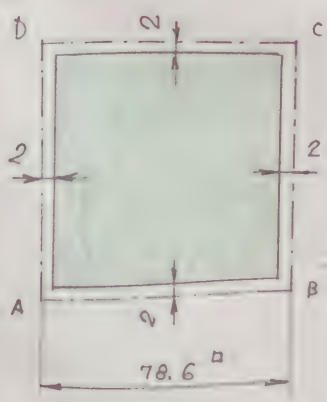


Figura 10

La forma y dimensiones se deducen de las del cuadrado ABCD de la figura 2, y se detallan en la figura 10

PIEZA N° 10 18 (u)

Figura 10



MODELO CORPÓREO DEL POLIEDRO CONVEXO
DE CARAS VACIADAS "ARQUIMEDIANO V", FORMA-
DO POR OCHO CARAS TRIANGULARES REGULARES
(C_3) Y DIEZ Y OCHO CARAS CUADRADAS (C_4),
CONCURIENDO EN CADA VÉRTICE $1C_3 + 3C_4$.

Radio de la esfera circumsrita:

$$r_{ec}^V = 110 \text{ mm}$$

ENUNCIADO: Construir el modelo corpóreo del poliedro convexo de caras vaciadas "ARQUIMEDIANO V", formado por ocho caras triangulares regulares (C_3) o diez y ocho caras cuadradas (C_4), conviniendo en cada vértice $1 C_3 + 3 C_4$.

Este modelo, puede considerarse como una variante del M-37.1, de igual forma y dimensiones, pero con sus caras vaciadas.

Las propiedades de este poliedro, así como sus dimensiones, son las enunciadas y calculadas en el mencionado modelo M-37.1.

DATO ÚNICO DE ESTE EJERCICIO: r_{oc}^V = Radio de la esfera circunscrita:

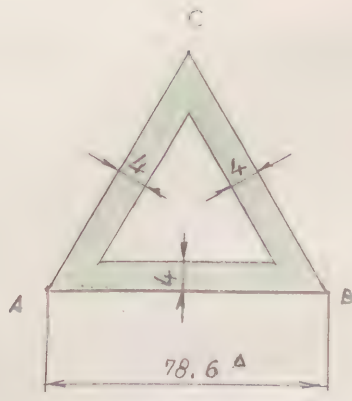
$$r_{oc}^V = 110 \text{ mm}$$

Para la construcción de este poliedro, son necesarias las siguientes piezas:

PIEZA N° 1 CARAS LATERALES TRIANGULARES REGULARES. 8 unidades

La forma y dimensiones se detallan en la figura 1





PIEZA N° 1

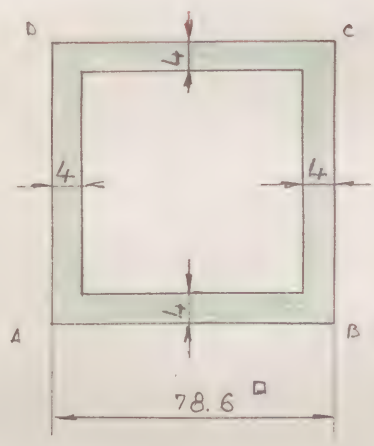
8 (u)

Figura 1

PIEZA N° 2

CARAS LATERALES CUADRADAS

18 unidades



La forma y dimensiones se detallan en la figura 2

PIEZA N° 2

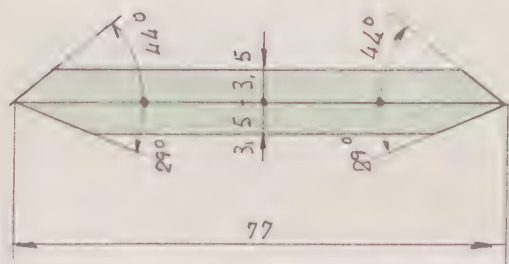
18 (u)

Figura 2

PIEZA N° 3

UNIONES ARISTAS DE UNA CARA TRIANGULAR CON OTRA CUADRADA

24 unidades.



PIEZA N° 3

24 (u)

Figura 3

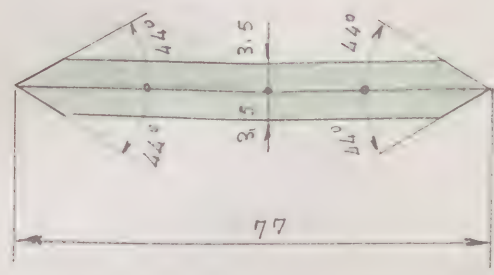
Figura 3

La forma y dimensiones se detallan en la figura 3

PIEZA N° 4 UNIONES ARISTAS DE DOS CARAS CUADRADAS

24 unidades.

La forma y dimensiones se detallan en la figura 4



PIEZA N° 4

24 (U)

Figura 4

Figura 4

VARIANTE DEL MODELO M - 37.1, DE

IGUAL FORMA QUE ÉSTE, SIENDO MÁS

PEQUEÑO EL RADIO DE SU ESFERA

CIRCUNSCRITA.

Radio de la esfera circunscrita:

$$r_{ec}^T = 76,1 \text{ mm.}$$

ENUNCIADO:

Construir el modelo corpóreo del poliedro conve-
xco de caras mixtas "ARQUIMEDIANO V"
formado por ocho caras triangulares regulares
(C_3) y diez y ocho caras cuadradas (C_4),
concurriendo en cada vértice $1 C_3 + 3 C_4$.

Este modelo puede considerarse como una variante del mo-
delo M-37.1, de igual forma, pero siendo menor el radio de
su esfera circunscrita ($r_{ec}^V = 76.1 \text{ mm}$).

Para obtener el despiece de este modelo, utilizaremos el mis-
mo estudio analítico, hecho en el modelo M-37.1, determinan-
do previamente el coeficiente "k" de reducción " $k = 76.1 : 110$ "
o relación entre los radios correspondientes de sus respectivas es-
feras circunscritas.

DATO ÚNICO DE ESTE EJERCICIO

$$r_{ec}^V = 76.1 \text{ mm}$$

COEFICIENTE DE REDUCCIÓN

$$k = \frac{76.1}{110} = 0.69 \widehat{18} \dots$$

A continuación presentamos diversas tablas de longitudes y ángulos, cuyas dimensiones han sido reseñadas en las distintas figuras del modelo M-37.1, y de los valores correspondientes a aplicar en la construcción de este nuevo modelo M-37.3, en el que son necesarias las siguientes piezas:

PIEZA N° 1 CARAS LATERALES TRIANGULARES REGULARES 8 unidades

La figura 1, ha de construirse con las siguientes cotas modificadas:

<u>FIGURA 1</u>	Longitudes mm	Cotas modificadas mm
<u>Pieza n° 1</u> 8(u)	78,6	54,4

PIEZA N° 2 CARAS LATERALES CUADRADAS 18 unidades

La figura 2, ha de construirse con las siguientes cotas modificadas:

<u>FIGURA 2</u>	Longitudes mm	Cotas modificadas mm
<u>Pieza n° 2</u> 18(u)	78,6	54,4

<u>FIGURA 5</u>	Longitudes mm	Cotas modificadas mm
<u>Pieza n° 5</u>	77	53
24(u)	4	4
	29°	29°
	44°	44°

PIEZA N° 6 UNIONES ARISTAS DE DOS CARAS CUADRADAS

24 unidades

La figura 6, ha de construirse con las siguientes cotas modificadas:

<u>FIGURA 6</u>	Longitudes mm	Cotas modificados mm
<u>Pieza n° 6</u>	77	53
24(u)	4	4
	29°	29°
	44°	44°

PIEZA N° 7 REFUERZO TRANSVERSAL INTERIOR DE LAS CARAS TRIANGULARES

16 unidades

La forma y dimensiones se detallan en la fig. 1

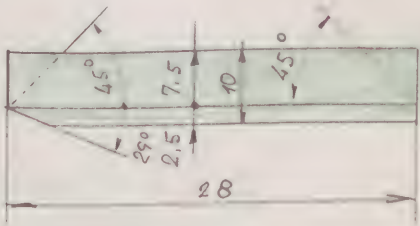


Figura 1

PIEZA N° 7 16(u)

Figura 1

PIEZA N° 8 REFUERZO TRANSVERSAL INTERIOR DE LAS CARAS CUADRADAS 36 unidades

La forma y dimensiones se detallan en la figura 2

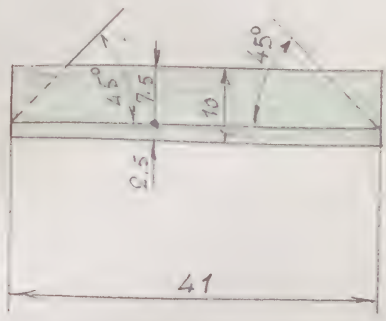


Figura 2

PIEZA N° 8

36 (u)

Figura 2

PIEZA N° 9 FORRO COLOREADO EN CARAS TRIANGULARES 8 unidades

La figura 9, ha de construirse con las siguientes cotas modificadas:

<u>FIGURA 9</u>	Longitudes mm	Cotas modificadas
<u>Pieza n° 9</u>	78.6	54.4
8 (u)	2.0	2.0

PIEZA N° 10 FORRO COLOREADO EN CARAS CUADRADAS 18 unidades

La figura 10, se construirá con las siguientes cotas modificadas:

<u>FIGURA 10</u>	Longitudes mm	Cotas modificadas mm
<u>Pieza n° 10</u>	78.6	54.4
18 (u)	2.0	2.0

ESFERA

VARIANTE DEL MODELO M-37,2

DE IGUAL FORMA QUE ÉSTE, SIEN-

DO MÁS PEQUEÑO EL RADIO DE SU

ESFERA CIRCUNSCRITA.

Radio de la esfera circunscrita:

$$r_{oc}^{\pi} = 76,1 \text{ m m.}$$

ENUNCIADO: Construir el modelo corpóreo del poliedro convexo de caras variadas "ARQUIMEDIANO V", formado por ocho caras triangulares (C_3) y diez y ocho caras cuadradas (C_4), concurriendo en cada vértice $1 C_3 + 3 C_4$.

Este modelo puede considerarse como una variante del modelo M-37,2, de igual forma, pero siendo menor el radio de su esfera circunscrita ($r_{ec}^V = 76,1 \text{ mm}$).

Para obtener el despiece de este modelo, utilizaremos el mismo estudio analítico, hecho en el modelo M-37,2, determinando previamente el coeficiente "k" de reducción $k = 76,1 : 110$, o relación entre los radios correspondientes de sus respectivas esferas circunscritas.

DATO ÚNICO DE ESTE EJERCIO

$$r_{ec}^V = 76,1 \text{ mm}$$

COEFICIENTE DE REDUCCIÓN

$$k = \frac{76,1}{110} = 0,6918...$$



A continuación presentamos diversas tablas de longitudes y ángulos, cuyas dimensiones han sido resumidas en las distintas figuras del modelo M-37.2, y de los valores correspondientes a aplicar en la construcción de este nuevo modelo M-37.4, en la que son necesarias las siguientes piezas:

PIEZA N° 1 CARAS LATERALES TRIANGULARES REGULARES

8 unidades

La figura 1, ha de construirse con las siguientes cotas modificadas:

<u>FIGURA 1</u>	Longitudes m m	Cotas modificadas m m
<u>Pieza n° 1</u>	78.6	54.4
8 (u)	4.0	3

PIEZA N° 2 CARAS LATERALES CUADRADAS 18 unidades

La figura 2, ha de construirse con las siguientes cotas modificadas:

<u>FIGURA 2</u>	Longitudes m m	Cotas modificadas
<u>Pieza n° 2</u>	78.6	54.4
18 (u)	4	3

PIEZA N° 3 UNIONES ARISTAS DE UNA CARA TRIANGULAR
CON OTRA CUADRADA 24 unidades

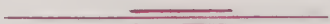
La figura 3, ha de construirse con las siguientes cotas modificadas:

<u>FIGURA 3</u>	Longitudes mm	Cotas modificadas mm
<u>Pieza n° 3</u>	77	53
24 (u)	3,5	2,5
	29°	29°
	44°	44°

PIEZA N° 4 UNIONES ARISTAS DE DOS CARAS CUADRADAS
24 unidades

<u>FIGURA 4</u>	Longitudes mm	Cotas modificadas mm
<u>Pieza n° 4</u>	77	53
	3,5	2,5
	44°	44°

La figura 4, ha de construirse con las anteriores cotas modificadas



EJECUTIVO

MODELO CORPÓREO DEL "ARQUIMEDIANO V", OBTENIDO

POR TRUNCADURA PARALELA DE ARISTAS DE UN EXAE-

DRO REGULAR CONVEXO DE ARISTA " a_6 ", A LA DISTAN-

CIA $y = \frac{2 - \sqrt{2}}{2} a_6$, SEGUIDA DE UNA TRUNCADURA DE

VÉRTICES (O VICEVERSA) A LA DISTANCIA $x = (2 - \sqrt{2}) a_6$,

AL TOMAR SOBRE CADA ARISTA, Y DESDE SU VÉRTICE,

LAS DISTANCIAS "y" y "x" RESPECTIVAMENTE. EL

ARQUIMEDIANO OBTENIDO, SE CONSTRUIRÁ CON LAS CA-

DAS MACIZAS, Y EL EXAEDRO REGULAR CONVEXO GE-

NERADOR, CON LAS CADAS VACIADAS.

Radio de la esfera circunscrita al escaedo gene-
rador:

$$r_{oc}^6 = 110 \text{ mm}$$

ENUNCIADO: Construir el modelo corpóreo del "ARQUIMEDIANO V" obtenido por "truncadura paralela de aristas" de un escaedro regular convexo de arista " a_6 ", a la distancia $y = \frac{2-\sqrt{2}}{2} a_6$, seguida de una "truncadura vértices" (o viceversa), a la distancia $x = (2-\sqrt{2}) a_6$, al trazar sobre cada arista, y desde un vértice, las distancias "y" y "x" respectivamente. El Arquimediano obtenido, se construirá con las caras macizas, y el escaedro regular convexo generador, con las caras vaciadas.

DATO ÚNICO DE ESTE EJERCICIO: r_e^6 = Radio de la esfera circunscrita al escaedro regular generador:

$$r_e^6 = 170 \text{ m m}$$

1.) GENERALIDADES

En el ESTUDIO PREVIO realizado en el modelo M-35.10, desarrollamos el proceso geométrico denominado "TRUNCADURA PARALELA DE ARISTAS" seguida de una "TRUNCADURA DE VÉRTICES" de un poliedro regular convexo, que aplicaremos seguidamente a este ejercicio.

Dicho proceso da lugar a la formación, en cada poliedro regular generador, de un poliedro núcleo, convexo, cuyas, ca-

características geométricas detallamos en su párrafo 2, y que en particular, y en el caso especial descrito en este enunciado, dicho poliedro es un ARQUIMEDIANO

Las características geométricas del poliedro núcleo obtenido en este ejercicio, se deducen previamente de las generales detalladas en el mencionado EJERCICIO PREVIO, y son las siguientes:

- Los planos secantes " π_1 " de la truncadura paralela de aristas, producen en el caso del escaedro regular, 6 cuadrados situados en las caras del escaedro generador.
- Los planos secantes " π_2 " de la truncadura de vértices producen en su vez 8 triángulos equiláteros (uno en cada vértice), situados en el plano secante " π_2 ".
- Los planos secantes " π_1 " y " π_2 " al cortarse mutuamente producen a su vez 12 cuadrados iguales a los a) (uno por cada arista del escaedro), paralelos a las aristas del poliedro generador.

Por consiguiente, el poliedro núcleo estará limitado por DIEZ Y OCHO CARAS CUADRADAS y OCHO TRIANGULARES EQUILÁTERAS.

Estas son las características geométricas del ARQUIMEDIANO V, estudiado y representado en el ejercicio G.E. n°..... - Lámina 37, que detallamos a continuación,

(Cálculo)

Diciembre, 1981



ARQUIMEDIANO V

Número de caras triangulares ...	$C_3 = 8$
Número de caras cuadradas	$C_4 = 18$
Número de vértices	$V = 24$
Número de aristas	$A = 48$
Número de caras en cada vértice	$1C_3 + 3C_4$

2). POSICIÓN DE LOS PLANOS SECANTES " π_1 " Y " π_2 "

La posición de los planos secantes " π_1 " de la "truncadura paralela de aristas" y de los " π_2 " de la "truncadura de vértices", con respecto al poliedro regular generador, se obtiene mediante las respectivas distancias " y " y " x ", tomadas sobre las aristas y a partir de los vértices.

Para que el poliedro midedo sea un Arquimiliano, se han obtenido en el EJERCIO PREVIO al modelo M-35,10, fórmulas generales (fórmula (3), párrafo 4.3, para la determinación de " x ", y (fórmula (2), párrafo 4.2, para la de " y "), que aplicamos a este ejercicio.

2.1) Distancia " y " que fija la posición del plano " π_1 " en la truncadura paralela de aristas.

Se obtiene, en función de la arista " a_n " del poliedro ge-

generador, de la fórmula general (2), deducida en M-35.10

$$y = \frac{k \frac{\alpha}{2}}{2 (\cos \beta + 1) (\sec \varphi + k \frac{\alpha}{2})} a_n \quad (2)$$

En ella, sustituiremos los valores generales de sus variables, por los particulares siguientes, correspondientes al escaedro regular convexo generador.

a) $n = \text{Número de caras del escaedro} = 6$

b) $a_n = \text{Arista del escaedro} = a_6$

c) $\frac{\alpha}{2} = \text{Semiángulo central del polígono regular de una cara superficial} = \frac{360^\circ}{4} : 2 = 45^\circ$

d) $\varphi = \text{Semiángulo del diedro que forman dos caras contiguas del escaedro.}$

e) $\beta = \text{Ángulo interno que forman dos lados consecutivos del polígono regular de una cara superficial} = \frac{180^\circ \times (4-2)}{4} = 90^\circ$

f) $\cos \beta = \cos 90^\circ = 1$

g) $k \frac{\alpha}{2} = k 45^\circ = 1 \quad (\text{Ver ejercicio G.P. 1006})$

h) $\sec \varphi = \frac{\sqrt{2}}{2} \quad (\text{Ver ejercicio G.P. n° --- Lámina 2}).$

Aplicando estos valores en la fórmula 2, tendremos:

$$y = \frac{1}{2 \times (1 + 1) \times \left(\frac{\sqrt{2}}{2} + 1\right)} a_6 = \frac{1}{2 \times \left(\frac{\sqrt{2}}{2} + 1\right)} a_6 = \frac{a_n}{2 \left(\frac{2 + \sqrt{2}}{2}\right)} a_6 =$$

$$= \frac{1}{2 + \sqrt{2}} a_6 = \boxed{\frac{2 - \sqrt{2}}{2} a_6}$$

Este valor de "y" justifica el expresado en el enunciado de este ejercicio.

Puede obtenerse también en función de r_{ec}^6 (dato de este modelo), sustituyendo $a_6 = \frac{2\sqrt{3}}{3} r_{ec}^6$, valor que obtendremos posteriormente. Sea pues: sea:

$$y = \frac{2 - \sqrt{2}}{2} a_6 = \frac{2 - \sqrt{2}}{2} \times \frac{2\sqrt{3}}{3} r_{ec}^6 = \frac{(2 - \sqrt{2}) \times \sqrt{3}}{3} r_{ec}^6 = \boxed{\frac{2\sqrt{3} - \sqrt{6}}{3} r_{ec}^6}$$

El valor numérico será pues:

$$y = \frac{2\sqrt{3} - \sqrt{6}}{3} r_{ec}^6 \approx 0.338203958... \times 110 \approx \boxed{37.2 \text{ mm}}$$

2.2) Distancia "x" que fija la posición del plano π_2 en la truncadura de vértices.

Se obtiene, en función de la arista " a_n " del poliedro generador, de la fórmula (3) deducida en M-35.10

$$x = \frac{k_2 \frac{\alpha}{2}}{2 \cos^2 \frac{\beta}{2} (\tan \varphi + k_3 \frac{\alpha}{2})} a_n \quad (3)$$

En ella, sustituiremos los valores generales de sus variables,

por las particulares siguientes, correspondientes al escaedro regular convexo generador:

a) $n = \text{Número de caras del escaedro} = 6$

b) $a_n = \text{Arista del escaedro} = a_6$

c) $\frac{\alpha}{2} = \text{Semiángulo central del polígono regular de una cara} = \frac{360^\circ}{4} : 2 = 45^\circ$

d) $\beta = \text{Ángulo interno que forman dos lados consecutivos del polígono regular de una cara superficial} = \frac{180^\circ \times (4-2)}{4} = 90^\circ$

e) $\varphi = \text{Semiángulo del diedro que forman dos caras contiguas del escaedro.}$

f) $\cos^2 \frac{\beta}{2} = \cos^2 45^\circ = \left(\frac{\sqrt{2}}{2}\right)^2 = \frac{1}{2} \quad (\text{Ver ejercicio G.P. 1006})$

g) $\tan \frac{\alpha}{2} = \tan 45^\circ = 1 \quad (\text{Ver ejercicio G.P. 1006})$

h) $\sin \varphi = \frac{\sqrt{2}}{2} \quad (\text{Ver ejercicio G.P. n}^\circ \dots \text{ Lámina 2}).$

Substituyendo estos valores en la fórmula 3), tenemos:

$$\boxed{x} = \frac{1}{2 \times \frac{1}{2} \times \left(\frac{\sqrt{2}}{2} + 1\right)} a_6 = \frac{1}{\frac{2 + \sqrt{2}}{2}} a_6 = \frac{2}{2 + \sqrt{2}} a_6 = \frac{2(2 - \sqrt{2})}{2} a_6 = (2 - \sqrt{2}) a_6$$

Este valor de "x" justifica el expresado en el enunciado de este ejercicio.

Carwara

Dic. 1981



Puede obtenerse también en función de r_{ec}^6 (dato de este ejercicio), sustituyendo $a_6 = \frac{2\sqrt{3}}{3} r_{ec}^6$, (valor que obtenemos posteriormente), así pues, será:

$$x = (2 - \sqrt{2}) a_6 = (2 - \sqrt{2}) \times \frac{2\sqrt{3}}{3} r_{ec}^6 = \frac{4\sqrt{3} - 2\sqrt{6}}{3} r_{ec}^6$$

El valor numérico será el siguiente:

$$x = \frac{4\sqrt{3} - 2\sqrt{6}}{3} r_{ec}^6 \approx 0,676407915... \times 110 \approx 74,4 \text{ mm}$$

3) CONSTRUCCIÓN DE ESTE MODELO

Para la construcción de este modelo son necesarias las siguientes piezas:

3.1) EXAEDRO REGULAR GENERADOR, DE CARAS VACIAS.

3.11 Arista "a₆", en función de r_{ec}^6

El valor se obtiene de la fórmula " $r_{ec}^6 = \frac{\sqrt{3}}{2} a_6$ " deducida el ejercicio G.E. n°... Lámina 2.- Despejando en ella "a₆", tendremos:

$$a_6 = r_{ec}^6 : \frac{\sqrt{3}}{2} = \frac{2}{\sqrt{3}} r_{ec}^6 = \frac{2\sqrt{3}}{3} r_{ec}^6$$

Valor que hemos aplicado en los párrafos 2.1 y 2.2

El valor numérico, será pues:

$$d_6 = \frac{2\sqrt{3}}{3} \cdot 10^6 \approx 1.15470053 \dots \times 110 \approx 127.0 \text{ mm}$$

PIEZA N° 1 CARAS SUPERFICIALES 6 unidades

La forma y dimensiones son iguales a las de la figura 1 del ejercicio M-2.102.

PIEZA N° 2 UNIONES ARISTAS 12 unidades

La forma y dimensiones son iguales a las de la figura 2 del ejercicio M-2.102.

3.2) ARQUIMEDIANO V (NÚCLEO DEL EXAEDRO GENERADOR), DE CARAS MACIZAS, INCLUIDO LAS PIRÁMIDES AUXILIARES DE FIJACIÓN DE LOS VÉRTICES DEL EXAEDRO GENERADOR A LAS CARAS TRIANGULARES DEL ARQUIMEDIANO V.

3.21) Longitud " d_V^6 " de la arista del Arquimédiano V engendrado por el exaedro regular " P_6 "

Se obtiene, en función de la arista " d_6 " del exaedro generador, de la fórmula (1), deducida en el modelo M-35.10

Alvarez

Deu. 1981

$$\sigma_A = \frac{\operatorname{sen} \varphi}{\operatorname{sen} \varphi + t_2 \frac{\alpha}{2}} a_n \quad (1)$$

En esta fórmula, sustituiremos los valores generales de sus variables por los particulares siguientes, correspondientes al escaedo regular convexo generado.

- a) $\sigma_n = \sigma_6 =$ Arista del escaedo generado.
- b) $\sigma_A = \sigma_V^6 =$ Arista del Arquimedeano generado.
- c) $\frac{\alpha}{2} =$ Semiángulo central del polígono regular de una cara superficial $= \frac{360^\circ}{4} : 2 = 45^\circ$
- d) $\varphi =$ Semiángulo del diedro que forman dos caras contiguas del escaedo
- e) $t_2 \frac{\alpha}{2} = t_2 45^\circ = 1$ (Ver ejercicio G.P. 1006)
- f) $\operatorname{sen} \varphi = \frac{\sqrt{2}}{2}$ (Ver ejercicio G.P. ... Lámina 2)

Aplicando estos valores a la fórmula (1), tendremos:

$$\boxed{\sigma_V^6} = \frac{\frac{\sqrt{2}}{2}}{\frac{\sqrt{2}}{2} + 1} \sigma_6 = \frac{\sqrt{2}}{2 + \sqrt{2}} \sigma_6 = \frac{\sqrt{2} (2 - \sqrt{2})}{4 - 2} \sigma_6 = \frac{2\sqrt{2} - 2}{2} \sigma_6 =$$

$$= \boxed{(\sqrt{2} - 1) \sigma_6}$$

Podemos obtener " σ_V^6 " en función de σ_6^6 (dato de este modelo, sustituyendo $\sigma_6 = \frac{2\sqrt{3}}{3} \sigma_6^6$, valor obtenido en el párrafo 3.11 de este ejercicio. Así pues, será:

$$\alpha_v^6 = (\sqrt{2}-1) \alpha_6 = (\sqrt{2}-1) \times \frac{2\sqrt{3}}{3} r_{ec}^6 = \frac{2\sqrt{6}-2\sqrt{3}}{3} r_{ec}^6$$

el valor numérico de la arista α_v^6 , se obtiene de la fórmula anterior:

$$\alpha_v^6 = \frac{2\sqrt{6}-2\sqrt{3}}{3} \times 110 \approx 0.478292623... \times 110 \approx 52.6 \text{ mm}$$

PIEZA N° 3

CARAS SUPERFICIALES TRIANGULARES REGULARES

8 unidades

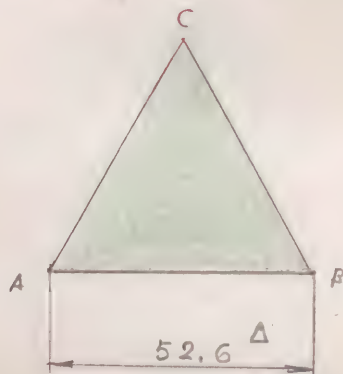


Figura 1

La forma y dimensiones se detallan en la figura 1

PIEZA N° 3, 8(u)

Figura 1

PIEZA N° 4

CARAS SUPERFICIALES CUADRADAS

18 unidades

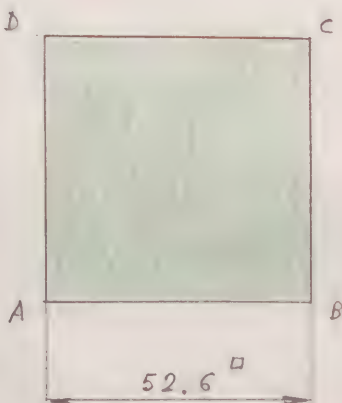


Figura 2

La forma y dimensiones se detallan en la figura 2

PIEZA N° 4 18(u)

Figura 2

PIEZA N° 5

REFUERZO NORMAL EN CARAS TRIANGULARES

8 unidades

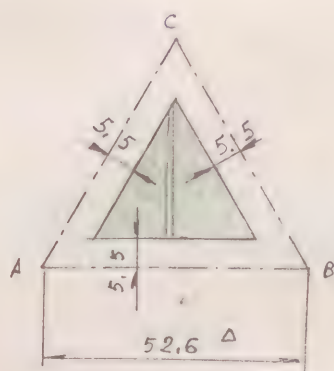


Figura 3

La forma y dimensiones se deducen de las del triángulo ABC de la figura 1, y se detallan en la figura 3

PIEZA N° 5 8 (u)

Figura 3

PIEZA N° 6 REFUERZO NORMAL EN CARAS CUADRADAS

18 unidades

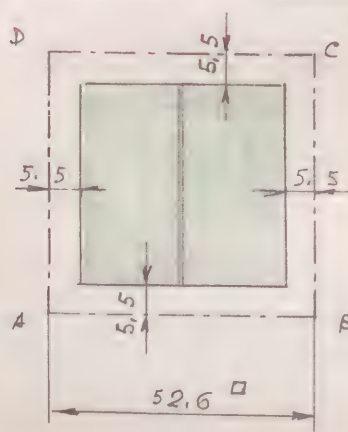


Figura 4

La forma y dimensiones se deducen de las del cuadrado ABCD de la figura 2, y se detallan en la figura 4

PIEZA N° 6 18 (u)

Figura 4

PIEZA N° 7 REFUERZO TRANSVERSAL EN CARAS TRIANGULARES REGULARES

16 unidades

La forma y dimensiones se detallan en la figura 5; en colocación, en la figura 3

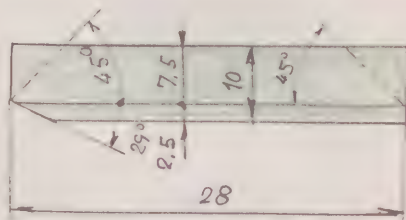


Figura 5

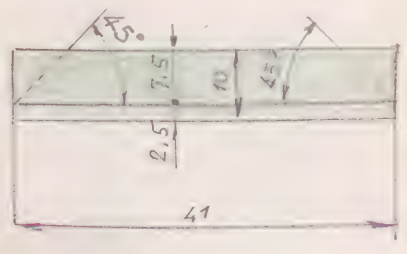
PIEZA N° 7 16 (u)

Figura 5

PIEZA N° 8 REFUERZO TRANSVERSAL EN CARAS CUADRADAS

36 unidades

La forma y dimensiones se detallan en la figura 6; su colocación, en la figura 4.



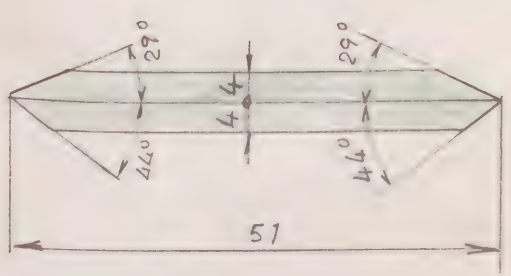
PIEZA Nº 8 36 (u)

Figura 6

Figura 6

PIEZA Nº 9 UNIONES ADISTAS 48 unidades

La forma y dimensiones se detallan en la figura 7



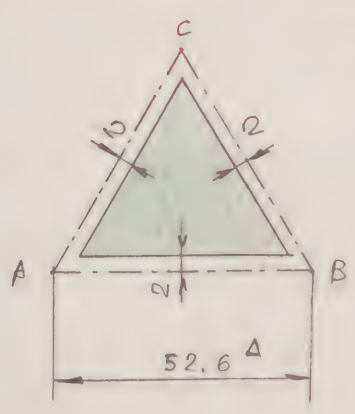
PIEZA Nº 9 48 (u)

Figura 7

Figura 7

PIEZA Nº 10 FORRO COLOREADO EN CARAS TRIANGULARES

8 unidades



La forma y dimensiones se deducen de las del triángulo ABC de la figura 1, y se detallan en la figura 8

PIEZA Nº 10

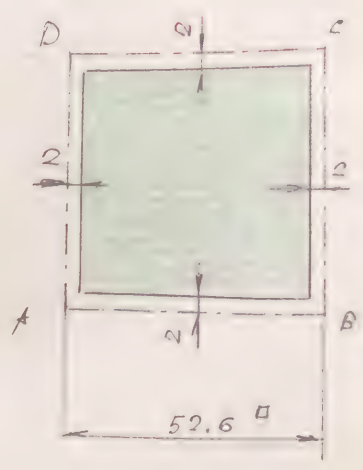
8 (u)

Figura 8

Figura 8

PIEZA N° 11 FORRO COLOREADO EN CARAS CUADRADAS

18 unidades



La forma y dimensiones se deducen de las del cuadrado ABED de la figura 2, y se detallan en la figura 9

PIEZA N° 11 18 (u)

Figura 9

Figura 9

3.22) Arista lateral "a_l" de las pirámides auxiliares triangulares que fijan la posición de los vértices del exaedro generador con respecto al Arquimediano V.

Se obtiene, en función de la arista "a_n" del exaedro generador, de la fórmula (4) deducida en el modelo M-35,10

$$a_l = \frac{\frac{1}{2} \frac{\alpha}{2}}{2 \cos \frac{\beta}{2} \left(\cos \varphi + \frac{1}{2} \frac{\alpha}{2} \right)} a_n \quad (4)$$

En esta fórmula, sustituirse por los valores generales de sus variables, por los particulares siguientes, correspondientes al exaedro regular generador:

- a) "a_n" = a₆ = Arista del exaedro.
- b) "a_l" = a₃^V = Arista lateral de la pirámide triangular
- c) $\frac{\alpha}{2}$ = Semiángulo central del polígono regular de una cara superficial = $\frac{360^\circ}{4} : 2 = 45^\circ$

d) φ = Semiaángulo del diedro que forman las caras contiguas del escudo.

e) β = Ángulo interior que forman los lados consecutivos del polígono regular de una cara superficial =

$$= \frac{180^\circ \cdot (4-2)}{4} = 90^\circ$$

f) $\cos \frac{\beta}{2} = \cos \frac{90^\circ}{2} = \cos 45^\circ = \frac{\sqrt{2}}{2}$ (Ver ejercicio G.P. 1006)

g) $\tan \frac{\beta}{2} = \tan 45^\circ = 1$. (Ver ejercicio G.P. 1006)

h) $\sin \varphi = \frac{\sqrt{2}}{2}$ (Ver ejercicio G.P. n° ---- Lámina 2)

Aplicando estos valores a la fórmula (4), tendremos:

$$\boxed{a_3^V} = \frac{1}{2 \times \frac{\sqrt{2}}{2} \times \left(\frac{\sqrt{2}}{2} + 1 \right)} a_6 = \frac{1}{\sqrt{2} \times \left(\frac{2 + \sqrt{2}}{2} \right)} a_6 = \frac{1}{\frac{2\sqrt{2} + 2}{2}} a_6 =$$

$$= \frac{2}{2\sqrt{2} + 2} a_6 = \frac{1}{\sqrt{2} + 1} a_6 = \frac{\sqrt{2} - 1}{1} a_6 = \boxed{(\sqrt{2} - 1) a_6}$$

Puede obtenerse " a_3^V " en función de r_{ec}^6 (dato de este modelo), substituyendo $a_6 = \frac{2\sqrt{3}}{3} r_{ec}^6$, valor obtenido en el párrafo 3.11 de este ejercicio. Así pues será:

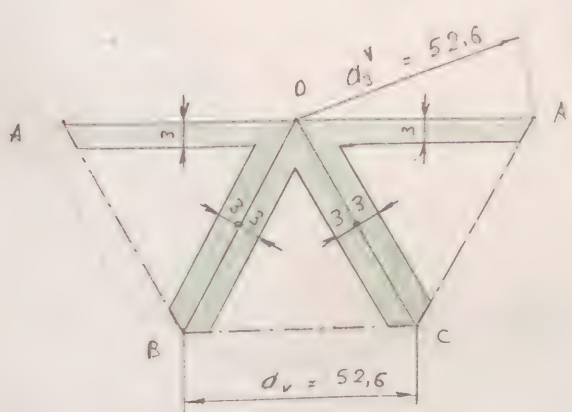
$$\boxed{a_3^V} = (\sqrt{2} - 1) a_6 = (\sqrt{2} - 1) \times \frac{2\sqrt{3}}{3} r_{ec}^6 = \boxed{\frac{2\sqrt{6} - 2\sqrt{3}}{3} r_{ec}^6}$$

El valor numérico será pues:

$$\boxed{a_3^V} = \frac{2\sqrt{6} - 2\sqrt{3}}{3} \times 110 = 0.478292623... \times 110 \approx \boxed{52.6 \text{ mm}}$$

PIEZA N° 12 DESARROLLO LATERAL DE LAS PIRÁMIDES AUXILIA-
RES TRIANGULARES 8 unidades

La forma y dimensiones se detallan en la figura 10



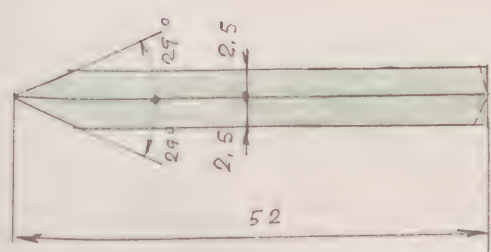
$\overline{AB} = \overline{BC} = \overline{CA} = 52,6 \text{ mm}$

PIEZA N° 12 8(u)

Figura 10

PIEZA N° 13 UNIONES ARISTAS DE LAS PIRÁMIDES TRIANGULARES
24 unidades

La forma y dimensiones se detallan en la figura 11



PIEZA N° 13 24(u)

Figura 11

Figura 11

MODELO M - 37.5

Patrones



MODELO CORPÓREO DEL "ARQUIMEDIANO V ," OBTENIDO POR TRUNCADURA PARALELA DE ARISTAS DE UN OCTAEDRO REGULAR CONVEXO, DE ARISTA " a_8 ", A LA DISTANCIA $y = \frac{3 - \sqrt{2}}{7} a_8$, SEGUIDA DE UNA TRUNCADURA DE VÉRTICES (O VICEVERSA), A LA DISTANCIA $x = \frac{6 - 2\sqrt{2}}{7} a_8$, AL TOMAR SOBRE CADA ARISTA, Y DESDE SU VÉRTICE, LAS DISTANCIAS " y " Y " x " RESPECTIVAMENTE. - EL ARQUIMEDIANO OBTENIDO, SE CONSTRUIRÁ CON LAS CARAS MACIZAS, Y EL OCTAEDRO REGULAR CONVEXO GENERADOR, CON LAS CARAS VACIADAS.

Radio de la esfera circunscrita al octaedro generador:

$$r_{oc}^8 = 110 \text{ mm}$$

ENUNCIADO: Construir el modelo corpóreo del "ARQUIMEDIANO V" obtenido por "truncadura paralela de aristas" de un octaedro regular convexo, de arista " a_8 ", a la distancia $y = \frac{3 - \sqrt{2}}{7} a_8$, seguida de una "truncadura de vértices" (o viceversa), a la distancia $x = \frac{6 - 2\sqrt{2}}{7} a_8$, al tomar sobre cada arista, y desde su vértice, las distancias "y" y "x" respectivamente.- El Arquimediario obtenido, se construirá con las caras macizas, y el octaedro regular convexo generador, con las caras vacuadas.

DATO ÚNICO DE ESTE EJERCICIO: r_{ec}^6 = Radio de la esfera circunscrita al octaedro generador:

$$r_{ec}^8 = 110 \text{ m m}$$

En el ESTUDIO PREVIO realizado en el modelo M-35.10, desarrollamos el proceso geométrico denominado "TRUNCADURA PARALELA DE ARISTAS" seguida de una "TRUNCADURA DE VÉRTICES" de un poliedro regular convexo, que aplicaremos seguidamente a este ejercicio.

Dicho proceso da lugar a la formación, en cada poliedro regular generador, de un poliedro midedo, convexo, cuyas características geométricas detallamos en el párrafo 2. y que en

en particular, y en el caso especial descrito en este enunciado, dicho poliedro es un ARQUIMEDIANO

Las características geométricas del poliedro núcleo obtenido en este ejercicio, se deducen previamente de las generales detalladas en el mencionado EJERCICIO PREVIO, y son las siguientes:

- a) Los planos secantes " π_1 " de la truncadura paralela de aristas, producen en el caso del octaedro regular, ocho triángulos equiláteros situados en las caras del octaedro generador.
- b) Los planos secantes " π_2 " de la truncadura de vértices producen a su vez, seis cuadrados (uno en cada vértice), situados en el plano secante " π_2 ".
- c) Los planos secantes " π_1 " y " π_2 " al cortarse mutuamente producen a su vez doce cuadrados iguales a los b) (uno por cada arista del octaedro), paralelos a las aristas del octaedro generador.

Por consiguiente; el poliedro núcleo estará limitado por OCHO CARAS TRIANGULARES REGULARES, y DIEZ Y OCHO CARAS CUADRADAS.

Estas son las características geométricas del ARQUIME-
DIANO V estudiado y representado en el ejercicio G.E.
nº --- Lámina 37, que detallamos a continuación:

ARQUIMEDIANO V

Número de caras triangulares	$C_3 = 8$
Número de caras cuadradas	$C_4 = 18$
Número de vértices	$V = 24$
Número de aristas	$A = 48$
Número de caras en cada vértice	$1C_3 + 3C_4$

2) POSICIÓN DE LOS PLANOS SECANTES " π_1 " Y " π_2 "

La posición de los planos secantes " π_1 " de la "truncadura paralela de aristas", y de los " π_2 " de la "truncadura de vértices" con respecto al poliedro regular generador, se obtiene mediante las respectivas distancias " y " y " x ", tomadas sobre las aristas y a partir de los vértices.

Para que el poliedro núcleo sea un Arquimediiano, se han obtenido en el EJERCICIO PREVIO al modelo M-35.10, fórmulas generales (fórmula (3), párrafo 4.3), para la determinación de " x ", y (fórmula (2), párrafo 4.2) para la de " y ", que aplicaremos a este ejercicio.

2.1) Distancia " y " que fija la posición del plano " π_1 " en la truncadura paralela de aristas.

Se obtiene, en función de la arista " a_n " del poliedro gene-

Alcázar

Enero 1983

Por tanto, de la fórmula general (1), deducida en M-35.10

$$y = \frac{\frac{1}{2} \cdot \frac{\alpha}{2}}{2 (\cos (\beta + 1) (\sin \varphi + \frac{1}{2} \frac{\alpha}{2}))} a_n \quad (2)$$

En esta sustituiremos los valores generales de sus variables, por los particulares siguientes, correspondientes al octaedro regular convexo generador:

a) $n =$ Número de caras del octaedro $= 8$

b) $a_n =$ Arista del octaedro $= a_8$

c) $\frac{\alpha}{2} =$ Semiángulo central del polígono regular de una cara superficial $= \frac{360^\circ}{3} : 2 = 60^\circ$

d) $\varphi =$ Semiángulo del diedro que forman dos caras contiguas del octaedro.

e) $\beta =$ Ángulo interno que forman dos lados consecutivos del polígono regular de una cara superficial $= \frac{180^\circ \times (3-2)}{3} = 60^\circ$

f) $\cos \beta = \cos 60^\circ = \frac{1}{2}$ (Ver ejercicio G.P. 1006)

g) $\frac{1}{2} \frac{\alpha}{2} = \frac{1}{2} 60 = 30$ (Ver ejercicio G.P. 1006)

h) $\sin \varphi = \frac{\sqrt{6}}{3}$ (Ver ejercicio G.P. --- Lámina 3)

Aplicando los valores (f, g, h) a la fórmula (2), tendremos:

$$\begin{aligned}
 y &= \frac{\sqrt{3}}{2 \times \left(\frac{1}{2} + 1 \right) \times \left(\frac{\sqrt{6}}{3} + \sqrt{3} \right)} a_8 = \frac{\sqrt{3}}{2 \times \frac{3}{2} \times \left(\frac{3\sqrt{3} + \sqrt{6}}{3} \right)} a_8 = \\
 &= \frac{\sqrt{3}}{3\sqrt{3} + \sqrt{6}} a_8 = \frac{\sqrt{3}}{3\sqrt{3} + \sqrt{2} \times \sqrt{3}} a_8 = \frac{1}{3 + \sqrt{2}} a_8 = \boxed{\frac{3 - \sqrt{2}}{7} a_8}
 \end{aligned}$$

Este valor de "y" justifica el expresado en el enunciado de este ejercicio.

Puede obtenerse también en función de r_{ec}^8 (dato de este modelo), sustituyendo $a_8 = \sqrt{2} r_{ec}^8$, valor que obtendremos posteriormente. Así pues, será:

$$y = \frac{3 - \sqrt{2}}{7} a_8 = \frac{3 - \sqrt{2}}{7} \times \sqrt{2} r_{ec}^8 = \boxed{\frac{3\sqrt{2} - 2}{7} r_{ec}^8}$$

El valor numérico será pues:

$$y = \frac{3\sqrt{2} - 2}{7} \times 110 \approx 0,320377241... \times 110 \approx \boxed{35,2 \text{ mm}}$$

2.2) Distancia "x" que fija la posición del plano "π₃" en la truncadura de vértices.

Se obtiene, en función de la arista "a_n" del poliedro generador, de la fórmula (3) deducida en M-35.10

$$x = \frac{r_2 \frac{a}{2}}{2 \cos^2 \frac{\beta}{2} \left(\sec \varphi + r_2 \frac{a}{2} \right)} a_n \quad (3)$$

En ella, sustituiremos los valores generales de sus variables, por los particulares siguientes correspondientes al octaedro regular convexo generador.

a) $n = \text{Número de caras del octaedro} = 6$

b) $a_n = \text{Arista del octaedro} = a_8$

c) $\frac{\alpha}{2} = \text{Semíángulo central del polígono regular de una cara} = \frac{360^\circ}{3} : 2 = 60^\circ$

d) $\beta = \text{Ángulo interno que forman dos lados consecutivos del polígono regular de una cara superficial} = \frac{180^\circ \times (3-2)}{3} = 60^\circ$

f) $\cos^2 \frac{\beta}{2} = \cos^2 \frac{60^\circ}{2} = \cos^2 30^\circ = \left(\frac{\sqrt{3}}{2}\right)^2 = \frac{3}{4}$ (Ver ejerc. G.P. 1.005)

g) $t_{\frac{\alpha}{2}} = t_{60^\circ} = \sqrt{3}$ (Ver ejercicio G.P. n.º... Lámina 3)

h) $\sin \varphi = \frac{\sqrt{6}}{3}$ (Ver ejercicio G.P. 1.006)

Aplicando los valores (f, g, h) en la fórmula (3), tendremos:

$$\boxed{x} = \frac{\sqrt{3}}{2 \times \frac{3}{4} \times \left(\frac{\sqrt{6}}{3} + \sqrt{3}\right)} a_8 = \frac{\sqrt{3}}{\frac{3}{2} \times \left(\frac{3\sqrt{3} + \sqrt{6}}{3}\right)} a_8 = \frac{2\sqrt{3}}{3\sqrt{3} + \sqrt{2} \times \sqrt{3}} a_8 =$$

$$= \frac{2}{3 + \sqrt{2}} a_8 = \frac{2 \times (3 - \sqrt{2})}{7} a_8 = \boxed{\frac{6 - 2\sqrt{2}}{7} a_8}$$

Este valor de "x" justifica el expresado en el enunciado de este ejercicio

(Alvarez)

Enero 1981

Puede obtenerse también en función de r_{ec}^8 (dato de este ejercicio, sustituyendo $a_8 = \sqrt{2} r_{ec}^8$ (valor que obtendremos posteriormente). Así pues, será:

$$x = \frac{6 - 2\sqrt{2}}{7} a_8 = \frac{6 - 2\sqrt{2}}{7} \sqrt{2} r_{ec}^8 = \frac{6\sqrt{2} - 4}{7} r_{ec}^8$$

El valor numérico será el siguiente:

$$x = \frac{6\sqrt{2} - 4}{7} \times 110 \cong 0,640754482... \times 110 \cong 70,5 \text{ mm}$$

3) CONSTRUCCIÓN DE ESTE MODELO

Para la construcción de este modelo, son necesarias las siguientes piezas:

3.1) OCTAEDRO REGULAR GENERADOR, DE CARAS VACIAS

3.1.1) Arista " a_8 " en función de r_{ec}^8

El valor se obtiene de la fórmula " $r_{ec}^8 = \frac{\sqrt{2}}{2} a_8$ " deducida en el ejercicio G.E. n.º... Lámina 3. Despejando en ella " a_8 ", tendremos:

$$a_8 = r_{ec}^8 : \frac{\sqrt{2}}{2} = \frac{2}{\sqrt{2}} \times r_{ec}^8 = \frac{2\sqrt{2}}{2} r_{ec}^8 = \sqrt{2} r_{ec}^8$$

Valor que hemos aplicado en los párrafos 2.1 y 2.2

La redondez (radio) para bases:

$$d_B = \sqrt{2} \cdot l_{ec}^3 = \sqrt{2} \times 110 \cong 1,414213562 \dots \times 110 \cong 155,6 \text{ mm.}$$

PIEZA N° 1 CARAS SUPERFICIALES 8 unidades

La forma y dimensiones son iguales a las de la figura 1 del ejercicio M-3.102

PIEZA N° 2 UNIONES ARISTAS 12 unidades

La forma y dimensiones son iguales a las de la figura n° 2 del ejercicio M-3.102

3.2) ARQUIMEDIANO V (NÚCLEO DEL OCTAEDRO GENERADOR), DE CARAS MACIZAS, INCLUIDO LAS PIRÁMIDES AUXILIARES DE FIJACIÓN DE LOS VÉRTICES DEL OCTAEDRO GENERADOR A LAS CARAS CUADRADAS DEL ARQUIMEDIANO V.

3.21) Longitud "a_v" de la arista del Arquimédiano V, engendrado por el octaedro regular "P₈".

Se obtiene, en función de la arista "a₈" del octaedro generador, de la fórmula (1), deducida en el modelo M-35.10

UNE A4 210 x 297

$$\alpha_A = \frac{\sin \varphi}{\sin \varphi + \frac{1}{\sqrt{3}} \frac{\alpha}{2}} \alpha_n \quad (1)$$

En esta fórmula, sustituiremos los valores generales de sus variables por los particulares siguientes, correspondientes al octaedro regular convexo generador:

a) $\alpha_n = \alpha_8 =$ Arista del octaedro generador.

b) $\alpha_A = \alpha_v^8 =$ Arista del Arquimediario generado

c) $\frac{\alpha}{2} =$ Semiángulo central del polígono regular de una cara superficial $= \frac{360^\circ}{3} : 2 = 60^\circ$

d) $\varphi =$ Semiángulo del diedro que forman dos caras contiguas del octaedro

e) $\frac{1}{\sqrt{3}} \frac{\alpha}{2} = \frac{1}{\sqrt{3}} 60^\circ = \sqrt{3}$ (Ver ejercicio G.P. 1.006)

f) $\sin \varphi = \frac{\sqrt{6}}{3}$ (Ver ejercicio G.E. n°... Lámina 3)

Aplicados los valores e) y f) a la fórmula (1), tendremos:

$$\alpha_v^8 = \frac{\frac{\sqrt{6}}{3}}{\frac{\sqrt{6}}{3} + \sqrt{3}} \alpha_8 = \frac{\frac{\sqrt{6}}{3}}{\frac{3\sqrt{3} + \sqrt{6}}{3}} \alpha_8 = \frac{\sqrt{6}}{3\sqrt{3} + \sqrt{6}} \alpha_8 = \frac{\sqrt{2} \cdot \sqrt{3}}{3\sqrt{3} + \sqrt{2} \cdot \sqrt{3}} \alpha_8 =$$

$$= \frac{\sqrt{2}}{3 + \sqrt{2}} \alpha_8 = \frac{\sqrt{2} \cdot (3 - \sqrt{2})}{7} \alpha_8 = \boxed{\frac{3\sqrt{2} - 2}{7} \alpha_8}$$

Queda obtenerse " α_v^8 " en función de " α_{ec}^8 " (dato de este modelo), sustituyendo " $\alpha_8 = \sqrt{2} \cdot \alpha_{ec}^8$ ", valor obtenido en el párra-

En 2.11 se va a determinar el valor de a_v

$$a_v^3 = \frac{5\sqrt{2}-2}{7} a_s^3 = \frac{3\sqrt{2}-2}{7} \times \sqrt{2} \cdot l_a^3 = \frac{6-2\sqrt{2}}{7} l_{ec}^3$$

El valor numérico será el siguiente:

$$a_v^3 = \frac{6-2\sqrt{2}}{7} \times 110 \cong 0.453081839 \dots \times 110 \cong 49.8 \text{ mm}$$

PIEZA N° 3 CARAS SUPERFICIALES TRIANGULARES REGULARES

8 unidades

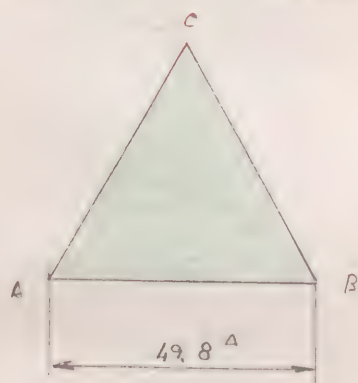


Figura 1

La forma y dimensiones se detallan en la figura 1

PIEZA N° 3 8(u)

Figura 1

PIEZA N° 4 CARAS SUPERFICIALES CUADRADAS 18 unidades

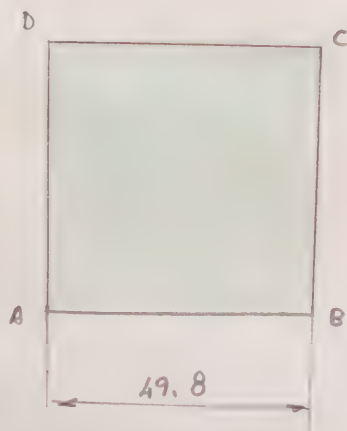


Figura 2

La forma y dimensiones se detallan en la figura 2

PIEZA N° 4 18(u)

Figura 2

PIEZA N° 5 REFUEZO NORMAL EN CARAS TRIANGULARES

8 unidades

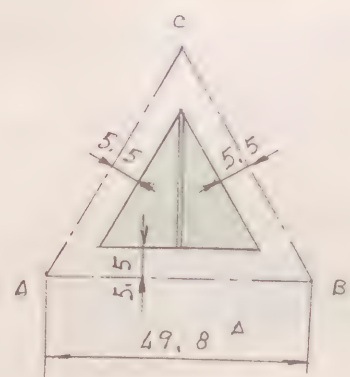


Figura 3

La forma y dimensiones se deducen de las del triángulo ABC de la figura 1, y se detallan en la figura 3

PIEZA N° 5 8(u)

Figura 3

PIEZA N° 6 REFUERZO NORMAL EN CARAS CUADRADAS

18 unidades

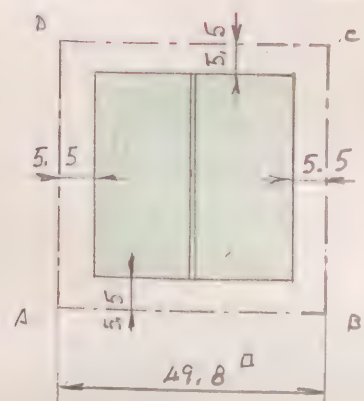


Figura 4

La forma y dimensiones se deducen de las del cuadrado ABCD de la figura 2, y se detallan en la figura 4

PIEZA N° 6 18(u)

Figura 4

PIEZA N° 7 REFUERZO TRANSVERSAL EN CARAS TRIANGULARES REGULARES 16 unidades

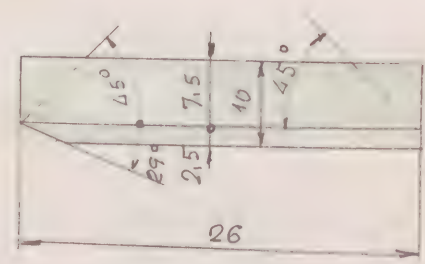


Figura 5

La forma y dimensiones se detallan en la figura 5; su colocación, en la figura 3

PIEZA N° 7 16(u)

Figura 5

PIEZA N° 8 REFUERZO TRANSVERSAL EN CARAS CUADRADAS 36 unidades

La forma y dimensiones se detallan en la figura 6: en colocación, en la figura 4.

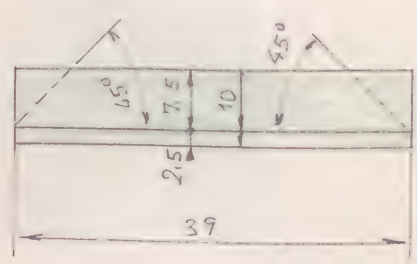


Figura 6

PIEZA N° 8 36 (u)

Figura 6

PIEZA N° 9 UNIONES ADISTAS 48 unidades

La forma y dimensiones se detallan en la figura 7

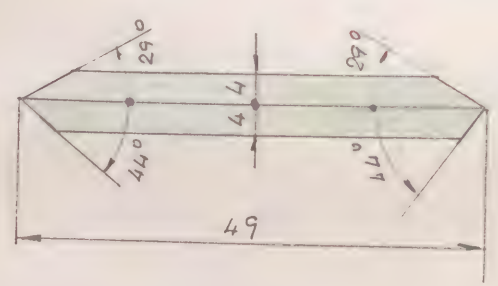


Figura 7

PIEZA N° 9 48 (u)

Figura 7

PIEZA N° 10 FORRO COLOREADO EN CARAS TRIANGULARES 8 unidades

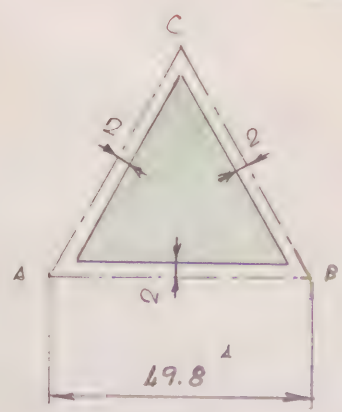


Figura 8

La forma y dimensiones se deducen de las del triángulo ABC de la figura 1, y se detallan en la figura 8

PIEZA N° 10 8 (u)

Figura 8

PIEZA N° 11 FORRO COLOREADO EN CARAS CUADRADAS

18 unidades

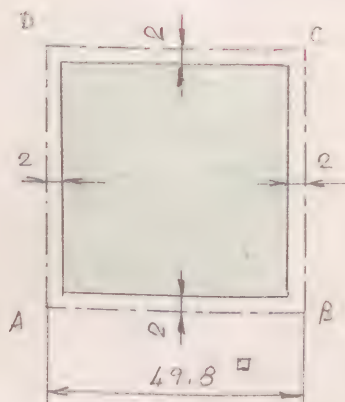


Figura 9

La forma y dimensiones se deducen de las del cuadrado ABCD de la figura 2, y se detallan en la figura 9.

PIEZA N° 11 18 (U)

Figura 9

3.22) Arista lateral " a_l " de las pirámides auxiliares cuadradas que fijan la posición de los vértices del octaedro generador con respecto al Arquimediano V.

Se obtiene, en función de la arista " a_n " del octaedro generador, de la fórmula (4) deducida en el modelo M-35.10

$$a_l = \frac{5 \frac{a}{2}}{2 \cos \frac{\beta}{2} (\sec \varphi + 5 \frac{a}{2})} a_n \quad (4)$$

En esta fórmula, sustituiremos los valores generales de sus variables, por los particulares siguientes, correspondientes al octaedro regular generador:

a) " a_n " = a_8 = Arista del octaedro.

b) " a_l " = a_4^{∇} = Arista lateral de la pirámide cuadrada

- c) $\frac{\alpha}{2}$ = Semiángulo central del polígono regular de una cara superficial = $\frac{360^\circ}{3} : 2 = 60^\circ$
- d) φ = Semiángulo del diedro que forman dos caras contiguas del octaedro.
- e) β = Ángulo interno que forman dos lados consecutivos del polígono regular de una cara superficial = $\frac{180^\circ \times (3-2)}{3} = 60^\circ$
- f) $\cos \frac{\beta}{2} = \cos 30^\circ = \frac{\sqrt{3}}{2}$ (Ver ejercicio G.P. 1.006)
- g) $\tan \frac{\alpha}{2} = \tan 60^\circ = \sqrt{3}$ (Ver ejercicio G.P. 1.006)
- h) $\sin \varphi = \frac{\sqrt{6}}{3}$ (Ver ejercicio G.P. n° ---- - Lámina 3)

Aplicando estos valores a la fórmula (4), tendremos:

$$\boxed{a_4^T} = \frac{\sqrt{3}}{2 \times \frac{\sqrt{3}}{2} \times \left(\frac{\sqrt{6}}{3} + \sqrt{3}\right)} a_8 = \frac{\sqrt{3}}{\sqrt{3} \times \frac{3\sqrt{3} + \sqrt{6}}{3}} a_8 = \frac{1}{\frac{3\sqrt{3} + \sqrt{6}}{3}} a_8 =$$

$$= \frac{3}{3\sqrt{3} + \sqrt{6}} a_8 = \frac{3(3\sqrt{3} - \sqrt{6})}{21} a_8 = \boxed{\frac{3\sqrt{3} - \sqrt{6}}{7} a_8}$$

Puede obtenerse " a_4^T " en función de r_{ec}^8 (dato de este modelo), sustituyendo " $a_8 = \sqrt{2} r_{ec}^8$ ", valor obtenido en el párrafo 3.11 de este ejercicio. Así pues, tendremos:

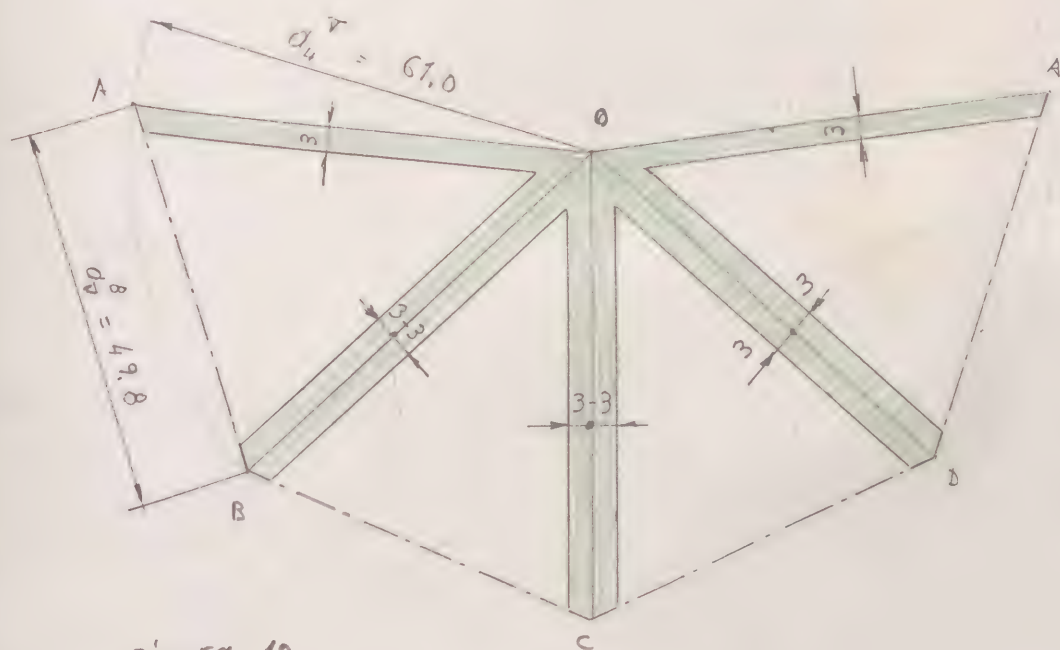
$$\boxed{a_4^T} = \frac{3\sqrt{3} - \sqrt{6}}{7} a_8 = \frac{3\sqrt{3} - \sqrt{6}}{7} \times \sqrt{2} r_{ec}^8 = \frac{3\sqrt{6} - \sqrt{12}}{7} r_{ec}^8 = \boxed{\frac{3\sqrt{6} - 2\sqrt{3}}{7} r_{ec}^8}$$

El valor numérico, era pues:

$$a_4^T = \frac{3\sqrt{6} - 2\sqrt{3}}{7} \times 110 \approx 0,554909659... \times 110 \approx 61,0 \text{ mm}$$

PIEZA N° 12 DESARROLLO LATERAL DE LAS PIRÁMIDES AUXILIARES
RECTAS, CUADRADOS 6 unidades

La forma y dimensiones se detallan en la figura 10



$\overline{AB} = \overline{BC} = \overline{CD} = \overline{DA} = 49,8$

PIEZA N° 12

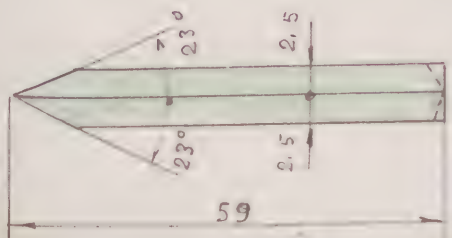
6(u)

Figura 10

Figura 10

PIEZA N° 13 UNIONES ARISTAS DE LAS PIRÁMIDES AUXILIARES
24 unidades

La forma y dimensiones se detallan en la figura 11



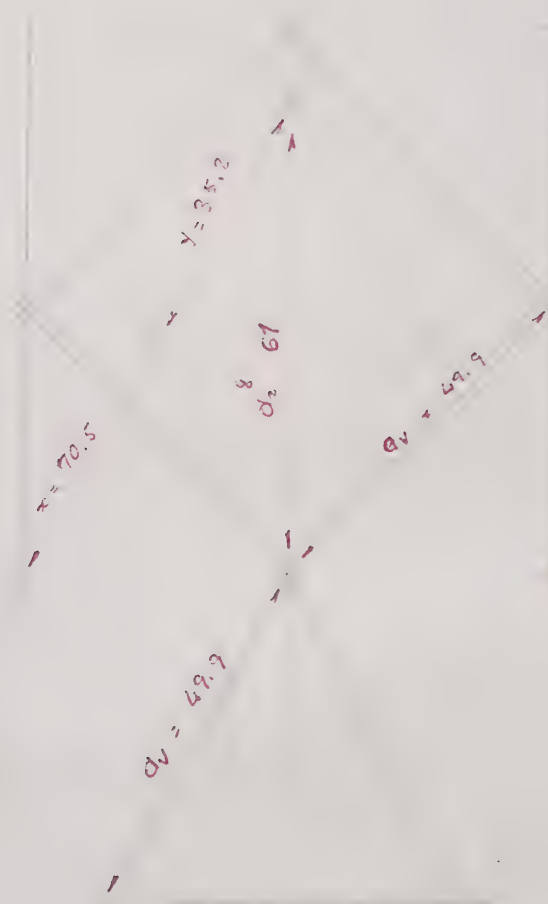
PIEZA N° 13 24(u)

Figura 11

Figura 11

Modelo M-37.6

Patrones



(B) (1) (E) (T) (U)

MODELO CORPÓREO DEL POLIEDRO CONVEXO DE CARAS
MACIZAS "ARQUIMEDIANO VI", FORMADO POR VEIN-
TE CARAS TRIANGULARES REGULARES (C_3); TREINTA CA-
RAS CUADRADAS (C_4) Y DOCE CARAS PENTAGONALES RE-
GULARES (C_5), CONCURRIENDO EN CADA VÉRTICE
 $1 C_3 + 2 C_4 + 1 C_5$.

Radio de la esfera circunscrita.

$$r_{ec}^{\text{VI}} = 110 \text{ mm}$$

ENUNCIADO: Construir el modelo corpóreo del poliedro convexo de caras macizas "ARQUIMEDIANO VI", formado por veinte caras triangulares regulares (C_3); treinta caras cuadradas (C_4) y doce caras pentagonales regulares (C_5), concavándose en cada vértice $1C_3 + 2C_4 + 1C_5$.

Este poliedro ha sido estudiado analíticamente en el ejercicio G.E. n° --- Lámina 38, y representado en sus vistas principal, superior y lateral izquierda en la mencionada Lámina 38, a escala 1:1, con el radio r_{ec}^{VI} de su esfera circunscrita, de $r_{ec}^{VI} = 55 \text{ mm}$.

DATO ÚNICO DE ESTE EJERCICIO: Radio de la esfera circunscrita.

$$r_{ec}^{VI} = 110 \text{ mm}$$

Las características geométricas del ARQUIMEDIANO VI, son las siguientes:

Número de caras triangulares regulares _____ $C_3 = 20$

Número de caras cuadradas _____ $C_4 = 30$

Número de caras pentagonales regulares _____ $C_5 = 12$

Número de vértices = $\frac{20 \times 3 + 30 \times 4 + 12 \times 5}{4} = \text{_____}$ $V = 60$

(sigue en página siguiente:

Calles

enero 1982

$$\text{Número de aristas} = \frac{20 \times 3 + 30 \times 4 + 12 \times 5}{2} = \text{---} A = 120$$

$$\text{Número de caras en cada vértice} = \text{---} 1C_3 + 2C_4 + 1C_5$$

Para obtener el despiece de este poliedro, calculemos previamente la longitud " a_{VI} " de la arista del mismo, en función del radio " r_{ec}^{VI} " de su esfera circunscrita.

Su valor se deduce de la fórmula " $r_{ec}^{VI} = \frac{1}{2} \sqrt{11 + 4\sqrt{5}} a_{VI}$ " obtenida en el mencionado ejercicio G.E. n°... - Lámina 38.

Despejando en ella " a_{VI} ", tendremos:

$$a_{VI} = r_{ec}^{VI} : \frac{1}{2} \sqrt{11 + 4\sqrt{5}} = \frac{2}{\sqrt{11 + 4\sqrt{5}}} r_{ec}^{VI} = \frac{2 \sqrt{11 + 4\sqrt{5}}}{11 + 4\sqrt{5}} r_{ec}^{VI} =$$

$$= 2 \sqrt{\frac{11 + 4\sqrt{5}}{(11 + 4\sqrt{5})^2}} r_{ec}^{VI} = 2 \sqrt{\frac{1}{11 + 4\sqrt{5}}} r_{ec}^{VI} = 2 \sqrt{\frac{11 - 4\sqrt{5}}{11^2 - 16 \times 5}} r_{ec}^{VI} =$$

$$= \left[2 \times \sqrt{\frac{11 - 4\sqrt{5}}{41}} r_{ec}^{VI} \right]$$

El valor numérico será pues:

$$a_{VI} = 2 \times \sqrt{\frac{11 - 4\sqrt{5}}{41}} \times 110 \approx 0,447837960... \times 110 \approx \boxed{49,3 \text{ mm}}$$

Esta sola magnitud nos permite la construcción del poliedro estudiado, para lo cual son necesarias las siguientes piezas:

PIEZA N° 1

CARAS SUPERFICIALES TRIANGULARES REGULARES 20 unidades

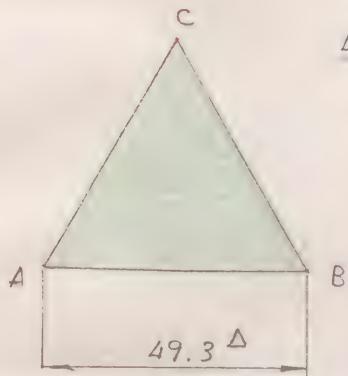


Figura 1

La forma y dimensiones se detallan en la figura 1.

PIEZA N° 1

20 (u)

Figura 1

PIEZA N° 2

CARAS SUPERFICIALES CUADRADAS 30 unidades

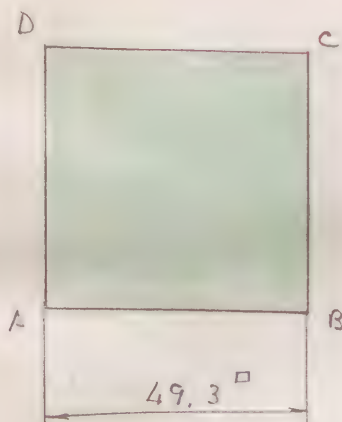


Figura 2

La forma y dimensiones se detallan en la figura 2

PIEZA N° 2

30 (u)

Figura 2

PIEZA N° 3

CARAS SUPERFICIALES PENTAGONALES REGULARES 12 unidades

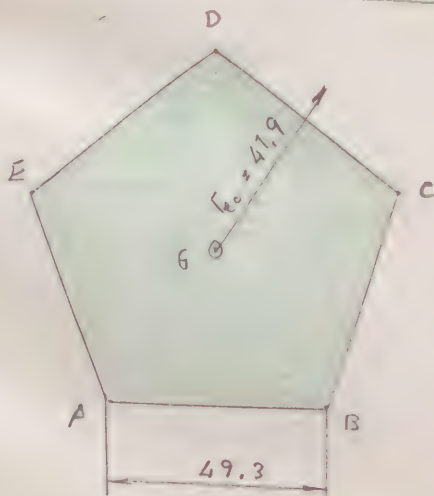


Figura 3

La forma y dimensiones se detallan en la figura 3

PIEZA N° 3

12 (u)

Figura 3

PIEZA N° 4

REFUERZO NORMAL EN CARAS TRIANGULARES

REGULARES

20 unidades

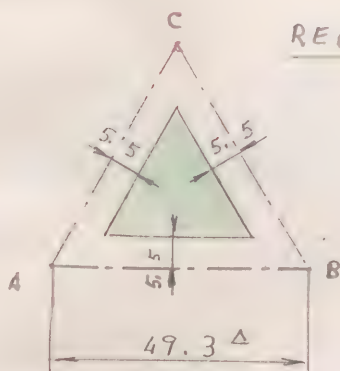


Figura 4

La forma y dimensiones se deducen de las del triángulo ABC de la figura 1, y se detallan en la figura 4.

PIEZA N° 4 20 (u)

Figura 4

PIEZA N° 5

REFUERZO NORMAL EN CARAS CUADRADAS

30 unidades

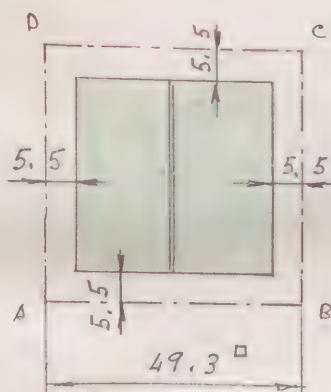


Figura 5

La forma y dimensiones se deducen de las del cuadrado ABCD de la figura 2, y se detallan en la figura 5

PIEZA N° 5 30 (u)

Figura 5

PIEZA N° 6

REFUERZO NORMAL EN CARAS PENTAGONALES

REGULARES

12 unidades

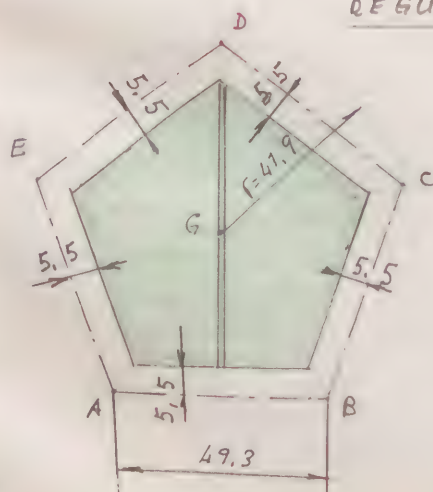


Figura 6

La forma y dimensiones se deducen de las del pentágono ABCDE de la figura 3, y se detallan en la figura 6.

PIEZA N° 6 12 (u)

Figura 6



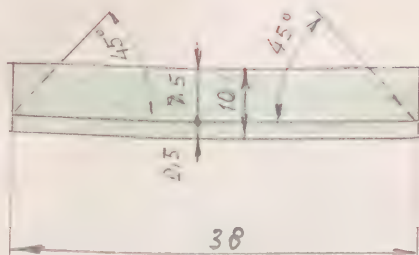
PIEZA N° 7 REFUERZO NORMAL EN CARAS CUADRADAS60 unidades

Figura 7

La forma y dimensiones se detallan en la figura 7; en colocación en la figura 5.

PIEZA N° 7 60 (u)

Figura 7

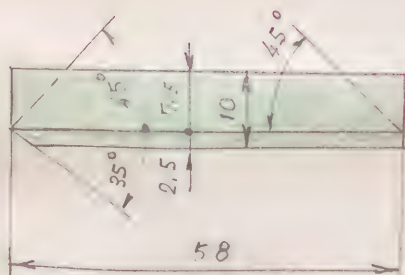
PIEZA N° 8 REFUERZO NORMAL EN CARAS PENTAGONALESREGULARES24 unidades

Figura 8

La forma y dimensiones se detallan en la figura 8; en colocación en la figura 6.

PIEZA N° 8 24 (u)

Figura 8

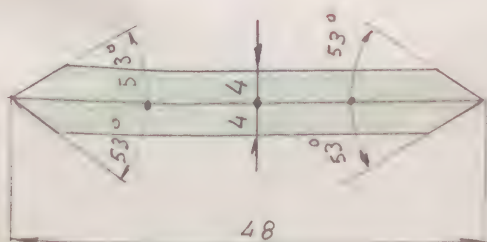
PIEZA N° 9 UNIONES ARISTAS DE UNA CARA CUADRADA
CON OTRA PENTAGONAL60 unidades

Figura 9

La forma y dimensiones se detallan en la figura 9

PIEZA N° 960 (u)

Figura 9

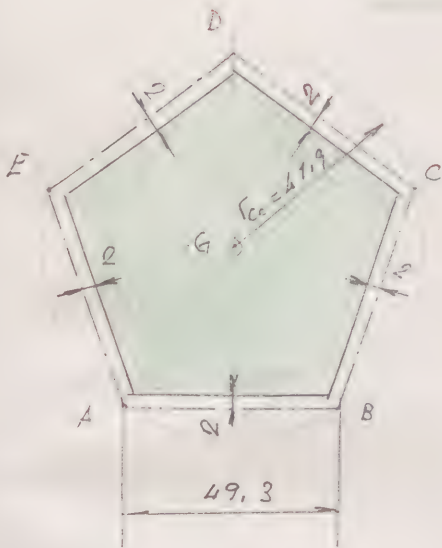
PIEZA N° 13FORRO COLOREADO EN CARAS PENTAGONALES
REGULARES12 unidades

Figura 13

La forma y dimensiones se deducen de las del pentágono regular ABCDE de la figura 3, y se detallan en la figura 13

PIEZA N° 13 12 (u)

Figura 13

UN 3149-0

MODELO CORPÓREO DEL POLIEDRO CONVEXO DE
 CARAS VACIADAS "ARQUIMEDIANO VI", FOR-
 MADO POR VEINTE CARAS TRIANGULARES REGU-
 LARES (C_3); TREINTA CARAS CUADRADAS (C_4),
 Y DOCE CARAS PENTAGONALES REGULARES (C_5),
 CONCURRIENDO EN CADA VÉRTICE: $1C_3 + 2C_4 +$
 $+ 1C_5$.

Radio de la esfera circunscrita:

$$r_{e.}^{\text{VI}} = 110 \text{ mm.}$$

ENUNCIADO: Construir el modelo corpóreo del poliedro convexo de caras vaciadas 'ARQUIMEDIANO VI', formado por veinte caras triangulares regulares (C_3); treinta caras cuadradas (C_4), y doce caras pentagonales regulares (C_5), concu-
riendo en cada vértice $1C_3 + 2C_4 + 1C_5$.

Este modelo puede considerarse como una variante del modelo M-38.1, de igual forma y dimensiones, pero con sus caras vaciadas.

Las propiedades de este poliedro, así como sus dimensiones, son las enunciadas y calculadas en el mencionado modelo M-38.1

DATO ÚNICO DE ESTE EJERCICIO: $\overline{\Gamma}_e^{\text{VI}}$ = Radio de la esfera circunscrita:

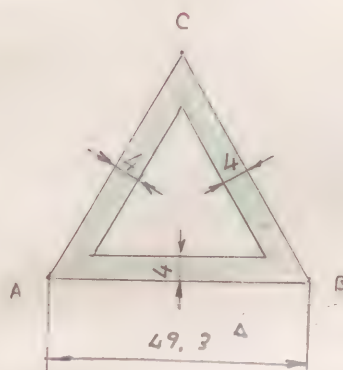
$$\overline{\Gamma}_e^{\text{VI}} = 110 \text{ mm}$$

Para la construcción de este modelo, son necesarias las siguientes piezas:



PIEZA N° 1

CARAS SUPERFICIALES TRIANGULARES REGULARES
20 unidades



La forma y dimensiones se detallan en la figura 1.

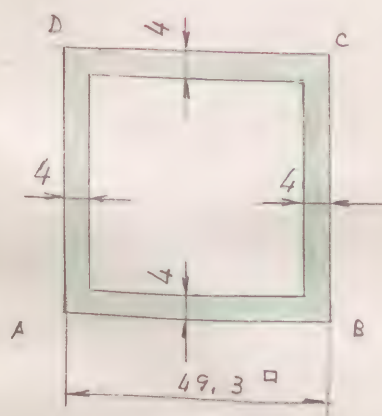
PIEZA N° 1 20 (U)

Figura 1

PIEZA N° 2

CARAS SUPERFICIALES CUADRADAS

30 unidades



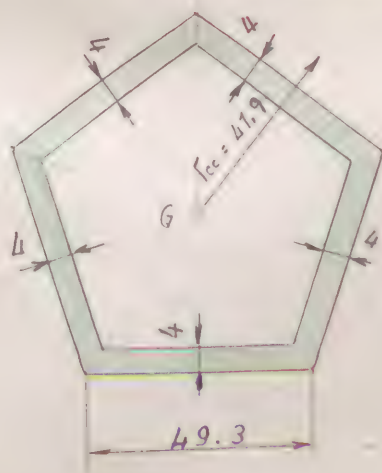
La forma y dimensiones se detallan en la figura 2.

PIEZA N° 2 30 (U)

Figura 2

PIEZA N° 3

CARAS SUPERFICIALES PENTAGONALES REGULARES
12 unidades



La forma y dimensiones se detallan en la figura 3

PIEZA N° 3 12 (U)

Figura 3

Figura 3



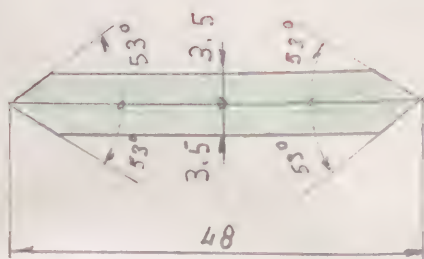
PIEZA N° 4UNIONES DE ARISTAS DE UNA CARA CUADRADA
CON OTRA PENTAGONAL 60 unidades

Figura 4

La forma y dimensiones se detallan en la figura 4.

PIEZA N° 4 60 (u)

Figura 4

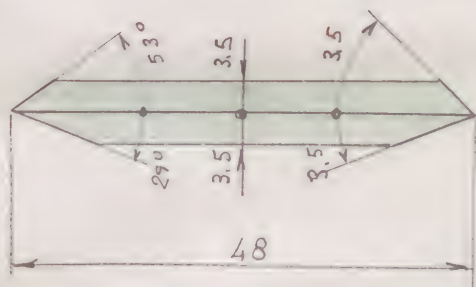
PIEZA N° 5UNIONES DE ARISTAS DE UNA CARA CUADRADA
CON OTRA TRIANGULAR 60 unidades

Figura 5

La forma y dimensiones se detallan en la figura 5

PIEZA N° 5 60 (u)

Figura 5

VARIANTE DEL MODELO M-38.1, DE
IGUAL FORMA QUE ÉSTE, SIENDO MÁS
PEQUEÑO EL RADIO DE SU ESFERA CIR-
CUNSCRITA.

Radio de la esfera circunscrita:

$$r_{ec}^{\pi} = 76,1 \text{ mm}$$

ENUNCIADO: Construir el modelo corpóreo del poliedro convexo de caras macizas "ARQUIMEDIANO VI", formado por veinte caras triangulares regulares (C_3); treinta caras cuadradas (C_4) y doce pentagonales regulares (C_5), concurrendo en cada vértice $1 C_3 + 2 C_4 + 1 C_5$.

Este modelo puede considerarse como una variante del modelo M-38.1, de igual forma y de menor longitud el radio de su esfera circunscrita ($r_{ec}^{VI} = 76.1 \text{ mm} < 110 \text{ mm}$)

Para obtener el espesor de este modelo, utilizaremos el mismo estudio analítico realizado en M-38.1, determinando previamente el coeficiente "k" de reducción "k = 76.1 : 110" o relación entre los radios correspondientes de sus respectivas esferas circunscritas.

DATO ÚNICO DE ESTE EJERCICIO

$$r_{ec}^{VI} = 76.1 \text{ mm}$$

COEFICIENTE DE REDUCCIÓN

$$K = \frac{76.1}{110} = 0.6918 \dots$$



A continuación presentamos diversas tablas de longitudes y ángulos, cuyas dimensiones han sido reseñadas en las distintas figuras del modelo M-38.1, y de los valores correspondientes a aplicar en la construcción de este nuevo modelo M-38.3, en el que son necesarios las siguientes piezas:

PIEZA Nº 1 CARAS SUPERFICIALES TRIANGULARES REGULARES
20 unidades

La figura 1, ha de construirse con las siguientes cotas (modificadas):

<u>FIGURA 1</u>	Longitudes mm	Cotas modificadas mm
<u>Pieza nº 1</u> 20 (u)	49,3	34,1

PIEZA Nº 2 CARAS SUPERFICIALES CUADRADAS
30 unidades

La figura 2, ha de construirse con las siguientes cotas (modificadas):

<u>FIGURA 2</u>	Longitudes mm	Cotas modificadas mm
<u>Pieza nº 2</u> 30 (u)	49,3	34,1



PIEZA N° 3 CARAS SUPERFICIALES PENTAGONALES REGU-
LARES 12 unidades

La figura 3, ha de construirse con las siguientes cotas
(modificadas):

<u>FIGURA 3</u>	Longitudes m m	Cotas modificadas m m
<u>Pieza n° 3</u>	49,3	34,1
12 (u)	41,9	28,9

PIEZA N° 4 REFUERZO NORMAL EN CARAS TRIANGULARES
REGULARES 20 unidades

La figura 4, ha de construirse con las siguientes cotas
(modificadas):

<u>FIGURA 4</u>	Longitudes m m	Cotas modificadas m m
<u>Pieza n° 4</u>	49,3	34,1
20 (u)	5,5	4,5

PIEZA N° 5 REFUERZO NORMAL EN CARAS CUADRADAS
La figura 5, ha de construirse con las siguientes cotas
modificadas: 30 unidades

<u>FIGURA 5</u>	Longitudes m m	Cotas modificadas m m
<u>PIEZA N° 5</u>	49,3	34,1
30 (u)	5,5	4,5



PIEZA N° 6

REFUERZO NORMAL EN CARAS PENTAGONALES REGULARES

12 unidades

La figura 6, ha de construirse con las siguientes cotas modificadas:

<u>FIGURA 6</u>	Longitudes m m	Cotas modificadas m m
<u>Pieza n° 6</u>	49.3	34.1
12 (u)	41.9	28.9
	5.5	4.5

PIEZA N° 7

REFUERZO NORMAL EN CARAS CUADRADAS

60 unidades

La figura 7, ha de construirse con las siguientes cotas modificadas:

<u>FIGURA 6</u>	Longitudes m m	Cotas modificadas m m
<u>Pieza n° 6</u>	38	24
60 (u)	10	10
	2.5	2.5
	7.5	7.5
	45°	45°

PIEZA N° 8

REFUERZO NORMAL EN CARAS PENTAGONALES REGULARES

24 unidades

La figura 8, ha de construirse con las siguientes

Calcular

Enero 1982



cotas modificadas:

PIEZA N° 8 REFUERZO NORMAL EN CARAS PENTAGONALES
REGULARES 24 unidades

La figura 8, ha de construirse con las siguientes cotas modificadas:

<u>FIGURA 8</u>	Longitudes m m	Cotas modificadas m m
<u>Pieza n° 8</u>	58	44
24 (u)	10	10
	2,5	2,5
	7,5	7,5
	45°	45°
	35°	35°

PIEZA N° 9 UNIONES ADISTAS DE UNA CARA CUADRA-
DA CON OTRA PENTAGONAL 60 unidades

La figura 9, ha de construirse con las siguientes cotas modificadas:

<u>FIGURA 9</u>	Longitudes m m	Cotas modificadas m m
<u>Pieza n° 9</u>	48	33
60 (u)	4	3,5
	53°	53°

PIEZA N° 10 UNIONES ARISTAS DE UNA CARA CUADRADA
CON OTRA TRIANGULAR 60 unidades

La figura 10, ha de construirse con las siguientes cotas modificadas:

<u>FIGURA 10</u>	Longitudes mm	Cotas modificadas mm
<u>Pieza n° 10</u>	48	33
<u>60 (u)</u>	4	3,5
	29°	29°
	53°	53°

PIEZAS N°s 11 Y 12 FORRO COLOREADO EN CARAS TRIANGU-
LADES 20 (u) Y CUADRADAS 30 (u).

Las figuras 11 y 12, han de construirse con las siguientes cotas modificadas:

<u>FIGURAS 11 Y 12</u>	Longitudes mm	Cotas modificadas
<u>Piezas 11 (20 u)</u>	49,3	34,1
<u>y 12 (30 u)</u>	2,-	2,-

PIEZA N° 13 FORRO COLOREADO EN CARAS PENTAGONALES
REGULARES 12 unidades

La figura 10, ha de construirse con las siguientes cotas mo-

EJECUTIVO

VARIANTE DEL Modelo M-38.2

DE IGUAL FORMA QUE ÉSTE, SIEN-

DO MÁS PEQUEÑO EL RADIO DE SU

ESFERA CIRCUNSCRITA.

Radio de la esfera circunscrita:

$$r_{ec}^{\pi} = 76,1 \text{ m m}$$

ENUNCIADO: Construir el modelo corpóreo del poliedro convexo de caras variadas "ARQUIMEDIANO VI", formado por veinte caras triangulares regulares (C_3); treinta caras cuadradas (C_4) y doce caras pentagonales regulares (C_5), concurrendo en cada vértice $1 C_3 + 2 C_4 + 1 C_5$.

Este modelo puede considerarse como una variante del modelo M - 38.2, de igual forma, pero siendo menor el radio de su esfera circunscrita ($r_{ec}^{IV} = 76.1 \text{ mm}$).

Para obtener el despiece de este modelo, utilizaremos el mismo estudio analítico, hecho en el modelo M - 38.2, determinando previamente el coeficiente "k" de reducción $k = 76.1 : 110$, o relación entre los radios correspondientes de sus respectivas esferas circunscritas.

DATO ÚNICO DE ESTE EJERCICIO

$$r_{ec}^{IV} = 76.1 \text{ mm}$$

COEFICIENTE DE REDUCCIÓN

$$k = \frac{76.1}{110} = 0.6918 \dots$$

PIEZA N° 1 CARAS SUPERFICIALES TRIANGULARES REGULA-
RES 20 unidades

La figura 1, ha de construirse, con las siguientes cotas modificadas:

<u>FIGURA N° 1</u>	Longitudes m m	Cotas modificadas
<u>Pieza n° 1</u>	49.3	34.1
20 (u)	4.-	3.-

PIEZA N° 2 CARAS SUPERFICIALES CUADRADAS
30 unidades

La figura 2, ha de construirse, con las siguientes cotas modificadas:

<u>FIGURA N° 2</u>	Longitudes m m	Cotas modificadas m m
<u>Pieza n° 2</u>	49.3	34.1
30 (u)	4.-	3.-

PIEZA N° 3 CARAS SUPERFICIALES PENTAGONALES RE-
GULARES 12 unidades

La figura 3 ha de construirse con las siguientes cotas modificadas:

<u>FIGURA N° 3</u>	Longitudes m m	Cotas modificadas m m
<u>Pieza n° 3</u>	49.3	34.1
12 (u)	41.9	28.9
	41 -	3. -

PIEZA N° 4 UNIONES ARISTAS DE UNA CARA CUADRADA
CON OTRA PENTAGONAL 60 unidades

La figura 4, ha de construirse con las siguientes cotas modificadas:

<u>FIGURA N° 4</u>	Longitudes m m	Cotas modificadas m m
<u>Pieza n° 4</u>	48	33. -
60 (u)	4	3. -
	53°	53°

PIEZA N° 5 UNIONES ARISTAS DE UNA CARA CUADRADA
CON OTRA TRIANGULAR 60 unidades

La figura 5, ha de construirse con las siguientes cotas modificadas:

<u>FIGURA N° 5</u>	Longitudes m m	Cotas modificadas m m
<u>Pieza n° 5</u>	48	33
60 (u)	3.5	2.5
	29°	29°
	53°	53°

EJECUTIVO

MODELO CORPÓREO DEL "ARQUIMEDIANO VI", OB-
 TENIDO POR TRUNCADURA PARALELA DE ARISTAS DE
 UN DODECAEDRO REGULAR CONVEXO, DE ARISTA " a_{12} ",
 A LA DISTANCIA " $y = \frac{1}{3} a_{12}$ ", SEGUIDA DE UNA
TRUNCADURA DE VÉRTICES (O VICEVERSA), A LA DIS-
 TANCIA " $x = \frac{2}{3} a_{12}$ ", AL TOMAR SOBRE CADA ARISTA,
 Y DESDE SU VÉRTICE, LAS DISTANCIAS " y " Y " x "
 RESPECTIVAMENTE. EL ARQUIMEDIANO OBTENIDO, SE
 CONSTRUIRÁ CON LAS CARAS MACIZAS, Y EL DODECAE-
 DRO REGULAR CONVEXO GENERADOR, CON LAS CARAS
 VACÍAS.

Radio de la esfera circunscrita al
 dodecaedro generador:

$$r_{ec}^{12} = 110, \text{ mm.}$$



ENUNCIADO:

Construir el modelo corpóreo del "ARQUIMEDIANO VI" obtenido por "truncadura paralela de aristas" de un dodecaedro regular convexo, de arista " a_{12} " a la distancia $y = \frac{1}{3} a_{12}$, seguida de una "truncadura de vértices" (o viceversa), a la distancia $x = \frac{2}{3} a_{12}$, al tomar sobre cada arista, y desde su vértice, las distancias " y " y " x " respectivamente. El Arquimediario obtenido, se construirá con las caras macizas, y el dodecaedro regular convexo generador, con las caras vaciadas.

DATO ÚNICO DE ESTE EJERCICIO: r_{ec}^{12} = Radio de la esfera circunscrita al dodecaedro generador:

$$r_{ec}^{12} = 110 \text{ mm}$$

En el ESTUDIO PREVIO realizado en el modelo M-35,10, desarrollamos el proceso geométrico denominado "TRUNCADURA PARALELA DE ARISTAS" seguida de una "TRUNCADURA DE VÉRTICES" (o viceversa), de un poliedro regular convexo, que aplicaremos seguidamente a este ejercicio.

Dicho proceso da lugar a la formación, en cada poliedro regular generador, de un poliedro mideo, convexo, cuyas ca-

características geométricas detallamos en el párrafo 2, y fue en particular, y en el caso especial descrito en este enunciado, dicho poliedro es un ARQUIMEDIANO

Las características geométricas del poliedro núcleo obtenido en su ejercicio, se deducen previamente de las generales detalladas en el mencionado EJERCICIO PREVIO, y con las siguientes:

- Los planos secantes " π_1 " de la truncadura paralela de aristas, producen en el caso del dodecaedro regular, doce pentágonos regulares situados en las caras del dodecaedro generador.
- Los planos secantes " π_2 " de la truncadura de vértices proceden a su vez, veinte triángulos equiláteros (uno en cada vértice), situados en el plano secante " π_2 ".
- Los planos secantes " π_1 " y " π_2 " al cortarse mutuamente producen a su vez treinta cuadrados (uno por cada arista del dodecaedro), paralelos a las aristas del dodecaedro generador.

Por consiguiente, el poliedro núcleo estará limitado por VEINTE CARAS TRIANGULARES REGULARES, TREINTA CARAS CUADRADAS y DOCE CARAS PENTAGONALES REGULARES.

Estas son las características geométricas del ARQUIMEDIANO VI, estudiado y representado en el ejercicio G.E. n°----- Lámina 38, que detallamos a continuación:

ADOUIMEDIANO VI

Número de caras triangulares	$C_3 = 20$
Número de caras cuadradas	$C_4 = 30$
Número de caras pentagonales	$C_5 = 12$
Número de vértices	$V = 60$
Número de aristas	$A = 120$
Número de caras en cada vértice	$1C_3 + 2C_4 + 1C_5$

2) POSICIÓN DE LOS PLANOS SECANTES " π_1 " Y " π_2 "

La posición de los planos secantes " π_1 " de la "truncadura paralela de aristas", y de la " π_2 " de la "truncadura de vértices" con respecto al poliedro regular generador, se obtiene mediante las respectivas distancias "y" y "x", tomadas sobre las aristas y a partir de los vértices.

Para que el poliedro resulte sea un Arquimédiano, se han obtenido en el EJERCICIO PREVIO al modelo M-35.10, fórmulas generales (fórmula (3), párrafo 4.3) para la determinación de "x", y (fórmula (2), párrafo 4.2) para la de "y", que aplicaremos a este ejercicio.

2.1 Distancia "y" que fija la posición del plano " π_1 " en la truncadura paralela de aristas.

Se obtiene, en función de la arista " a_n " del poliedro ge-

merador, de la fórmula general (2), reducida en M-35.10

$$y = \frac{\lg \frac{\alpha}{2}}{2 (\cos \beta + 1) (\cos \varphi + \lg \frac{\alpha}{2})} a_n \quad (2)$$

En esta, sustituiremos los valores generales de sus variables, por los particulares siguientes, correspondientes al dodecaedro regular convexo generador:

a) $n = \text{Número de caras del dodecaedro} = 12$

b) $a_n = \text{Arista del dodecaedro} = a_{12}$

c) $\frac{\alpha}{2} = \text{Semiángulo central del polígono regular de una cara superficial} = \frac{360^\circ}{5}; \alpha = 36^\circ$

d) $\varphi = \text{Semiángulo al diedro que forman dos caras contiguas del dodecaedro}$

e) $\beta = \text{Ángulo interno que forman dos lados consecutivos del polígono regular de una cara superficial} = \frac{180^\circ \times (5-2)}{5} = 108^\circ$

f) $\cos \beta = \cos 108^\circ = -\cos(180^\circ - 108^\circ) = -\cos 72^\circ = -\frac{\sqrt{5}-1}{4}$ (Ver ejercicio G.P. 1006)

g) $\lg \frac{\alpha}{2} = \lg 36^\circ = \sqrt{5-2\sqrt{5}}$ (Ver ejercicio G.P. 1.006)

h) $\cos \varphi = \frac{\sqrt{5+\sqrt{5}}}{10}$ (Ver ejercicio G.P. n°... - Lámina 4)

Aplicando los valores f), g), h), a la fórmula (2), tendremos:

$$\boxed{y} = \frac{\sqrt{5-2\sqrt{5}}}{2 \times \left(-\frac{\sqrt{5}-1}{4} + 1 \right) \times \left[\sqrt{\frac{5+\sqrt{5}}{10}} + \sqrt{5-2\sqrt{5}} \right]} a_{12} =$$

$$= \frac{\sqrt{5-2\sqrt{5}}}{\frac{2(5-\sqrt{5})}{4} \times \left[\sqrt{\frac{5+\sqrt{5}}{10}} + \sqrt{5-2\sqrt{5}} \right]} a_{12} =$$

$$= \frac{2 \times \sqrt{5-2\sqrt{5}} \times \sqrt{5-2\sqrt{5}}}{(5-\sqrt{5}) \times \left[\sqrt{\frac{5+\sqrt{5}}{10}} \times \sqrt{5-2\sqrt{5}} + \sqrt{5-2\sqrt{5}} \times \sqrt{5-2\sqrt{5}} \right]} a_{12} =$$

$$= \frac{2(5-2\sqrt{5})}{(5-\sqrt{5}) \times \left[\sqrt{\frac{(5+\sqrt{5})(5-2\sqrt{5})}{10}} + (5-2\sqrt{5}) \right]} a_{12} =$$

desarrollando el pro
ducto
 $(5+\sqrt{5})(5-2\sqrt{5})$ y
sustituyendo:

$$\boxed{(5+\sqrt{5})(5-2\sqrt{5})} = 25 + 5\sqrt{5} - 10\sqrt{5} - 10 = 15 - 5\sqrt{5} = \boxed{5(3-\sqrt{5})}$$

(sigue)

$$= \frac{2(5-2\sqrt{5})}{(5-\sqrt{5}) \times \left[\sqrt{\frac{5(3-\sqrt{5})}{10}} + (5-2\sqrt{5}) \right]} a_{12} = \frac{2(5-2\sqrt{5})}{(5-\sqrt{5}) \times \left[\sqrt{\frac{3-\sqrt{5}}{2}} + (5-2\sqrt{5}) \right]} a_{12} =$$

$$= \frac{2}{(5-\sqrt{5}) \times \left[\sqrt{\frac{3-\sqrt{5}}{2}} : (5-2\sqrt{5})^2 + 1 \right]} a_{12} =$$

desarrollando la expresión
 $\frac{3-\sqrt{5}}{2} : (5-2\sqrt{5})^2$ y sustitu-
yendo:

$$\boxed{\frac{3-\sqrt{5}}{2} : (5-2\sqrt{5})^2} = \frac{3-\sqrt{5}}{2 \times (25 + 20 - 20\sqrt{5})} = \frac{3-\sqrt{5}}{2 \times (45 - 20\sqrt{5})} = \boxed{\frac{3-\sqrt{5}}{2 \times 5(9-4\sqrt{5})}}$$

(sigue)

$$= \frac{2}{(5-\sqrt{5}) \times \left[\sqrt{\frac{3-\sqrt{5}}{10(9-4\sqrt{5})}} + 1 \right]} a_{12} = \frac{2}{(5-\sqrt{5}) \times \left[\sqrt{\frac{(3-\sqrt{5})(9+4\sqrt{5})}{10 \times (81-80)}} + 1 \right]} a_{12} =$$

Desarrollando la expresión $(3-\sqrt{5})(9+4\sqrt{5})$ y sustituyendo

$$(3-\sqrt{5})(9+4\sqrt{5}) = 27 - 9\sqrt{5} + 12\sqrt{5} - 20 = \boxed{7 + 3\sqrt{5}}$$

(signe)

$$= \frac{2}{(5-\sqrt{5}) \times \left[\sqrt{\frac{7+3\sqrt{5}}{10}} + 1 \right]} a_{12} = \frac{2}{\sqrt{\frac{(7+3\sqrt{5})(5-\sqrt{5})^2}{10}} + (5-\sqrt{5})} a_{12} =$$

Desarrollando la expresión $(7+3\sqrt{5})(5-\sqrt{5})^2$ y sustituyendo

$$(7+3\sqrt{5})(5-\sqrt{5})^2 = (7+3\sqrt{5})(25+5-10\sqrt{5}) = (7+3\sqrt{5})(30-10\sqrt{5}) =$$

$$= 10(7+3\sqrt{5})(3-\sqrt{5}) = 10(21+9\sqrt{5}-7\sqrt{5}-15) = \boxed{10(6+2\sqrt{5})}$$

(signe)

$$= \frac{2}{\sqrt{\frac{10(6+2\sqrt{5})}{10}} + (5-\sqrt{5})} a_{12} = \frac{2}{\sqrt{2(3+\sqrt{5})} + (5-\sqrt{5})} a_{12} =$$

$$= \frac{2}{\sqrt{2} \times \sqrt{3+\sqrt{5}} + (5-\sqrt{5})} a_{12} =$$

y siendo el radical $(3+\sqrt{5})$ un cuadrado perfecto $(3^2-5) = \sqrt{4} = 2^2$

$$= \frac{2}{\sqrt{2} \times \left[\sqrt{\frac{1}{2}} + \sqrt{\frac{5}{2}} \right] + (5-\sqrt{5})} a_{12} = \frac{2}{(1+\sqrt{5}) + (5-\sqrt{5})} a_{12} = \frac{2}{6} a_{12} =$$

$$= \boxed{\frac{1}{3} a_{12}}$$

De donde se obtiene finalmente que

$$\boxed{y = \frac{1}{3} a_{12}}$$

(5)

Este valor de "y" justifica el expresado en el enunciado.



do de este ejercicio.

Puede obtenerse también el valor de "y" en función de r_{ec}^{12} (dato de este modelo), sustituyendo $a_{12} = \frac{\sqrt{15} - \sqrt{3}}{3} r_{ec}^{12}$ (valor que obtendremos posteriormente). Así pues, será:

$$y = \frac{1}{3} a_{12} = \frac{1}{3} \times \frac{\sqrt{15} - \sqrt{3}}{3} \times r_{ec}^{12} = \frac{\sqrt{15} - \sqrt{3}}{9} r_{ec}^{12}$$

su valor numérico será pues:

$$y = \frac{\sqrt{15} - \sqrt{3}}{9} \times 110 \cong 0,237881393 \dots \times 110 \cong 26,25 \text{ mm}$$

2.2) Distancia "x" que fija la posición del plano secante " π_2 " en la truncadura de vértices.

Se obtiene, en función de la arista " a_n " del poliedro generador, de la fórmula (3) deducida en M-35.10

$$x = \frac{\frac{1}{2} a_n}{2 \cos^2 \frac{\beta}{2} \left(\sin \varphi + \frac{1}{2} \frac{\varphi}{2} \right)} \quad (3)$$

En ella, sustituiremos los valores generales de sus variables, por los particulares correspondientes al dodecaedro regular convexo generador.

Éstos valores son los mismos que los empleados en el cálculo de la distancia "y", realizado en el párrafo 2.1, excepto el valor f) que se sustituye por:



$$4) \quad \cos^2 \frac{\beta}{2} = \cos^2 54^\circ = \left[\frac{\sqrt{10-2\sqrt{5}}}{4} \right]^2 = \frac{10-2\sqrt{5}}{16} = \frac{5-\sqrt{5}}{8}$$

(Ver ejercicio G.P. 1.006)

Aplicando estos valores en la fórmula (3), tendremos:

$$x = \frac{\sqrt{5-2\sqrt{5}}}{2 \times \frac{5-\sqrt{5}}{8} \times \left(\frac{\sqrt{5+\sqrt{5}}}{10} + \sqrt{5-2\sqrt{5}} \right)} a_{12} \quad \text{que puede simplificarse análogamente}$$

a como se hizo en el párrafo 2.1.

Para eslabonar este penoso desarrollo, tendremos en cuenta las siguientes consideraciones:

- 1.º Comparando las fórmulas generales (2) y (3), se observa entre ambas una marcada analogía pues difieren tan sólo en que el factor $(\cos \beta + 1)$ del denominador de la (2), queda sustituido por el factor $\cos^2 \frac{\beta}{2}$ del denominador de la (3).
- 2.º Por lo tanto, la fórmula (2) puede escribirse de la siguiente manera

$$y = \frac{t_j \frac{\alpha}{2}}{2 (\cos \beta + 1) (\sin \varphi + t_j \frac{\alpha}{2})} a_n = \frac{1}{\cos \beta + 1} \times \frac{t_j \frac{\alpha}{2}}{2 (\sin \varphi + t_j \frac{\alpha}{2})} a_n$$

$$= \frac{1}{\cos \beta + 1} \times E = \frac{1}{3} a_n \quad (\text{siendo la expresión algebraica}$$

$$E = \frac{t_j \frac{\alpha}{2}}{2 (\sin \varphi + t_j \frac{\alpha}{2})} a_n, \text{ por lo tanto:}$$

$$E = \frac{1}{3} a_n : \frac{1}{\cos \beta + 1} = \frac{\cos \beta + 1}{3} a_n \quad (6)$$

- 3.º Igualmente la fórmula (3) puede escribirse también



$$x = \frac{\frac{1}{2} \pi}{2 \cos^2 \frac{\beta}{2} (\cos \varphi + \frac{1}{2})} = \frac{1}{\cos^2 \frac{\beta}{2}} \times \frac{\frac{1}{2} \pi}{2 (\cos \varphi + \frac{1}{2})} a_n =$$

$$= \frac{1}{\cos^2 \frac{\beta}{2}} \times E = \frac{1}{\cos^2 \frac{\beta}{2}} \times \frac{\cos \beta + 1}{3} a_n = \frac{\cos \beta + 1}{3 \cos^2 \frac{\beta}{2}} a_n =$$

$$= \frac{\left(-\frac{\sqrt{5}-1}{4} + 1\right)}{3 \times \frac{5-\sqrt{5}}{8}} a_{12} = \frac{\frac{5-\sqrt{5}}{4}}{\frac{3(5-\sqrt{5})}{8}} a_{12} \quad \frac{1}{4} : \frac{3}{8} a_n = \frac{8}{12} a_n \quad \boxed{= \frac{2}{3} a_n}$$

De donde se obtiene finalmente:

$$\boxed{x = \frac{2}{3} a_n} \quad (6)$$

Este valor de "x" justifica el expresado en el enunciado de este ejercicio

Puede obtenerse también el valor de "x" en función de r_{ec}^{12} (dato de este modelo), sustituyendo $a_n = \frac{\sqrt{15}-\sqrt{3}}{3} r_{ec}^{12}$ (valor que obtendremos posteriormente). Así pues, será:

$$\boxed{x = \frac{2}{3} a_{12} = \frac{2}{3} \times \frac{\sqrt{15}-\sqrt{3}}{3} r_{ec}^{12} = \frac{2(\sqrt{15}-\sqrt{3})}{9} r_{ec}^{12}}$$

El valor numérico será el siguiente:

$$\boxed{x = \frac{2(\sqrt{15}-\sqrt{3})}{9} \times 110 \approx 0,475763786 \dots \times 110 \approx 52,3 \text{ mm}}$$



3) CONSTRUCCIÓN DE ESTE MODELO

Para la construcción de este modelo, son necesarias las siguientes piezas:

3.1) DODECAEDRO REGULAR GENERADOR, DE CARAS VACIADAS.

3.11) Arista " a_{12} " en función de r_{ec}^{12}

El valor se obtiene de la fórmula " $r_{ec}^{12} = \frac{\sqrt{15} + \sqrt{3}}{4} a_{12}$ " deducida en el ejercicio G.E. n° --- Lámina 4. Despejando en ella " a_{12} ", tendremos:

$$a_{12} = r_{ec}^{12} : \frac{\sqrt{15} + \sqrt{3}}{4} = \frac{4}{\sqrt{15} + \sqrt{3}} r_{ec}^{12} = \frac{4(\sqrt{15} - \sqrt{3})}{12} r_{ec}^{12} =$$

$$= \frac{\sqrt{15} - \sqrt{3}}{3} r_{ec}^{12}$$

Valor que hemos aplicado en los párrafos 2.1 y 2.2
El valor numérico será pues:

$$a_{12} = \frac{\sqrt{15} - \sqrt{3}}{3} \times 110 \cong 0,713644179... \times 110 = \boxed{78,5 \text{ mm}}$$

PIEZA N° 1 CARAS SUPERFICIALES 12 unidades

La forma y dimensiones son iguales a las de la figura n° 1 del ejercicio M-4.102

PIEZA N° 2UNIONES ADISTAS30 (unidades)

La forma y dimensiones son iguales a las de la figura n° 2 del ejercicio M-4.102.

3.2) ARQUIMEDIANO VI (NÚCLEO DEL DODECAEDRO GENERADOR), DE CARAS MACIZAS, INCLUIDO LAS PIRÁMIDES AUXILIARES DE FIJACIÓN DE LOS VÉRTICES DEL DODECAEDRO GENERADOR A LAS CARAS TRIANGULARES DEL ARQUIMEDIANO VI.

3.21) Longitud " a_{12}^{12} " de la arista del Arquimediano VI, engendrado por el dodecaedro generador " P_{12} ".

Se obtiene, en función de la arista " a_{12} " del dodecaedro generador, de la fórmula (1), deducida en el modelo M-35.10

$$a_{12} = \frac{\sin \varphi}{\sin \varphi + \sqrt{5} \frac{\alpha}{2}} a_n \quad (1)$$

En esta fórmula, sustituiremos los valores generales de sus variables por los particulares siguientes, correspondientes al dodecaedro regular convexo generador.



- a) $n =$ Número de caras del dodecaedro $= 12$
- b) $a_n =$ Arista del dodecaedro $= a_{12}$
- c) $\frac{\alpha}{2} =$ Semiángulo central del polígono regular de una cara superficial $= \frac{360^\circ}{5} : 2 = 36^\circ$
- d) $\varphi =$ Semiángulo del diedro que forman dos caras contiguas del dodecaedro.
- e) $\text{sen } \varphi = \frac{\sqrt{5+\sqrt{5}}}{10}$ (Ver ejercicio G.E. n°... - Lámina 4)
- f) $\tan \frac{\alpha}{2} = \tan 36^\circ = \sqrt{5-2\sqrt{5}}$ (Ver ejercicio G.P. 1006)

Aplicando los valores e) y f) a la fórmula (1), tendremos:

$$\begin{aligned}
 d_A &= \sigma_{\frac{12}{VI}} = \frac{\frac{\sqrt{5+\sqrt{5}}}{10}}{\frac{\sqrt{5+\sqrt{5}}}{10} + \sqrt{5-2\sqrt{5}}} a_{12} = \frac{1}{1 + \sqrt{5-2\sqrt{5}} : \frac{\sqrt{5+\sqrt{5}}}{10}} a_{12} = \\
 &= \frac{1}{1 + \sqrt{(5-2\sqrt{5}) : \frac{5+\sqrt{5}}{10}}} a_{12} = \frac{1}{1 + \sqrt{(5-2\sqrt{5}) : \frac{5+\sqrt{5}}{10}}} a_{12} = \\
 &= \frac{1}{1 + \sqrt{\frac{10(5-2\sqrt{5})}{(5+\sqrt{5})}}} a_{12} = \frac{1}{1 + \sqrt{\frac{10(5-2\sqrt{5})(5-\sqrt{5})}{20}}} a_{12} = \\
 &= \frac{1}{1 + \sqrt{\frac{25 - 10\sqrt{5} - 5\sqrt{5} + 10}{2}}} a_{12} = \frac{1}{1 + \sqrt{\frac{35 - 15\sqrt{5}}{2}}} a_{12} =
 \end{aligned}$$

$$= \frac{1}{1 + \sqrt{\frac{5(7-3\sqrt{5})}{2}}} a_{12} = \frac{1}{1 + \frac{\sqrt{5} \times \sqrt{7-3\sqrt{5}}}{\sqrt{2}}} a_{12} =$$

7 siendo el radical
(7+3\sqrt{5}) un cuadra-
do perfecto (7^2 - 3\sqrt{5}^2) =
= (49 - 45) = 4 = 2^2

$$= \frac{1}{1 + \frac{\sqrt{5} \times \left(\sqrt{\frac{9}{2}} - \sqrt{\frac{5}{2}}\right)}{\sqrt{2}}} a_{12} = \frac{1}{1 + \frac{\sqrt{\frac{45}{2}} - \frac{5}{\sqrt{2}}}{\sqrt{2}}} a_{12} =$$

$$= \frac{1}{1 + \frac{\sqrt{45}}{2} - \frac{5}{2}} a_{12} = \frac{1}{\frac{2}{2} + \frac{3\sqrt{5}}{2} - \frac{5}{2}} a_{12} = \frac{1}{\frac{2 + 3\sqrt{5} - 5}{2}} a_{12} =$$

$$= \frac{2}{3\sqrt{5} - 3} a_{12} = \frac{2}{3(\sqrt{5} - 1)} a_{12} = \frac{2(\sqrt{5} + 1)}{3 \times 4} a_{12} = \frac{\sqrt{5} + 1}{6} a_{12}$$

De donde se obtiene finalmente:

$$a_{VI}^{12} = \frac{\sqrt{5} + 1}{6} a_{12}$$

Queda obtener también el valor de a_{VI}^{12} en función de r_{ec}^{12} (dato de este modelo), sustituyendo " $\frac{\sqrt{15} - \sqrt{3}}{3} r_{ec}^{12}$ " (valor obtenido en párrafo 3.11). Así pues, será:

$$a_{VI}^{12} = \frac{\sqrt{5} + 1}{6} a_{12} = \frac{\sqrt{5} + 1}{6} \times \frac{\sqrt{15} - \sqrt{3}}{3} r_{ec}^{12} = \frac{(\sqrt{5} + 1)(\sqrt{15} - \sqrt{3})}{18} r_{ec}^{12} =$$

$$= \frac{\sqrt{75} + \sqrt{15} - \sqrt{15} - \sqrt{3}}{18} r_{ec}^{12} = \frac{5\sqrt{3} - \sqrt{3}}{18} r_{ec}^{12} = \frac{4\sqrt{3}}{18} r_{ec}^{12} = \frac{2\sqrt{3}}{9} r_{ec}^{12}$$

El valor numérico, será pues:

$$a_{VI}^{12} = \frac{2\sqrt{3}}{9} \times 110 \approx 0,384900180... \times 110 \approx 42,3 \text{ mm}$$

PIEZA N° 3 CARAS SUPERFICIALES TRIANGULARES REGULA-
RES 20 unidades

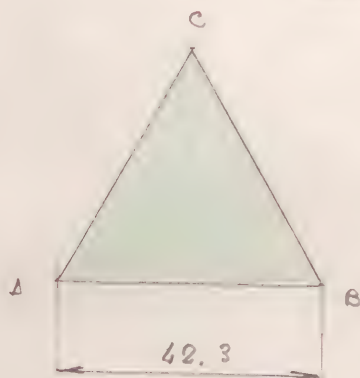


Figura 1

La forma y dimensiones se detallan en la figura 1.

PIEZA N° 3 20 (u)

Figura 1

PIEZA N° 4 CARAS SUPERFICIALES CUADRADAS 30 unidades

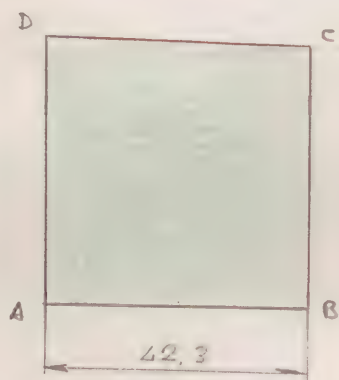


Figura 2

La forma y dimensiones se detallan en la figura 2

PIEZA N° 4 30 (u)

Figura 2

PIEZA N° 5 CARAS SUPERFICIALES PENTAGONALES RE-
GULARES 12 unidades

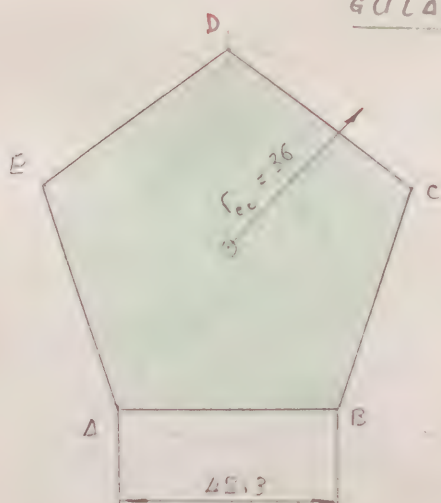


Figura 3

La forma y dimensiones se detallan en la figura 3.

PIEZA N° 5

12 (u)

Figura 3

PIEZA N° 6

REFUERZO NORMAL EN CARAS TRIANGULA-
RES REGULARES 20 unidades

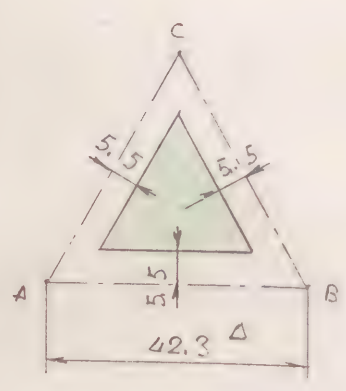


Figura 4

La forma y dimensiones se deducen de las del triángulo ABC de la figura 1, y se detallan en la figura 4

PIEZA N° 6 20 (u)

Figura 4

PIEZA N° 7

REFUERZO NORMAL EN CARAS CUADRADAS

30 unidades

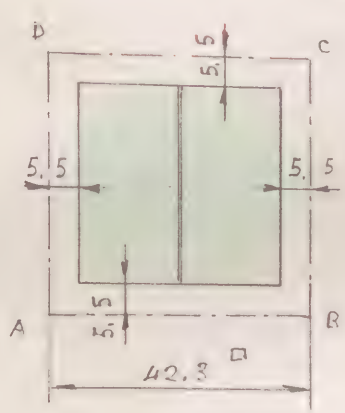


Figura 5

La forma y dimensiones se deducen de las cuadrados ABCD de la figura 2, y se detallan en la figura 5

PIEZA N° 7 30 (u)

Figura 5

PIEZA N° 8

REFUERZO NORMAL EN CARAS PENTAGONA-
LES REGULARES 12 unidades

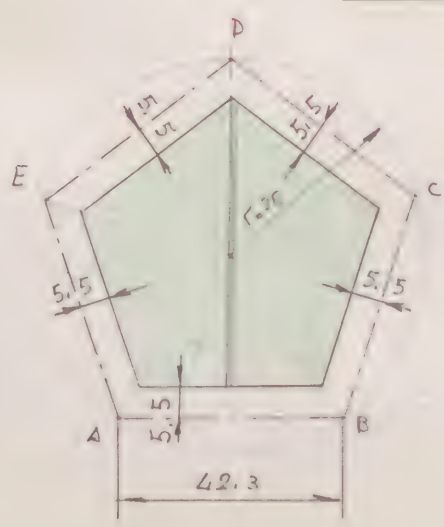


Figura 6

La forma y dimensiones se deducen de las del pentágono regular ABCDE de la figura 3, y se detallan en la figura 6

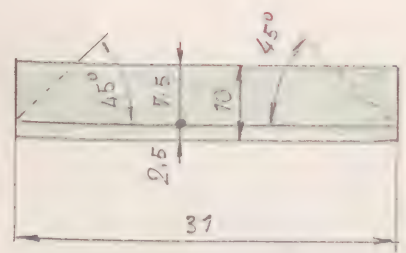
PIEZA N° 8 12 (u)

Figura 6

PIEZA N° 9

REFUERZO NORMAL EN CARAS CUADRADAS

60 unidades



La forma y dimensiones se detallan en la figura 7; su colocación en la figura 5

Figura 7

PIEZA N° 9 60 (u)

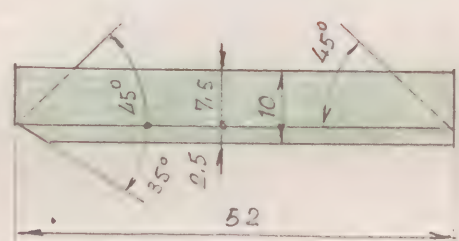
Figura 7

PIEZA N° 10

REFUERZO NORMAL EN CARAS PENTAGONALES

REGULARES

24 unidades



La forma y dimensiones se detallan en la figura 8; su colocación en la figura 6

Figura 8

PIEZA N° 10 24 (u)

Figura 8

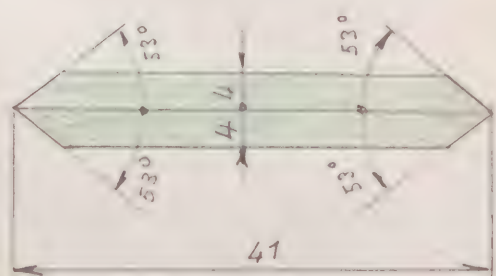
PIEZA N° 11

UNIONES ADISTAS DE UNA CARA CUADRADA

CON OTRA PENTAGONAL

60 unidades

La forma y dimensiones se detallan en la figura 9



PIEZA N° 11

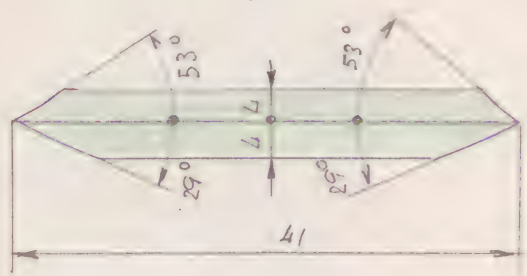
60 (u)

Figura 9

Figura 9

PIEZA N° 12 UNIONES ARISTAS DE UNA CARA CUADRADA
CON OTRA TRIANGULAR 60 unidades

La forma y dimensiones se detallan en la figura 10

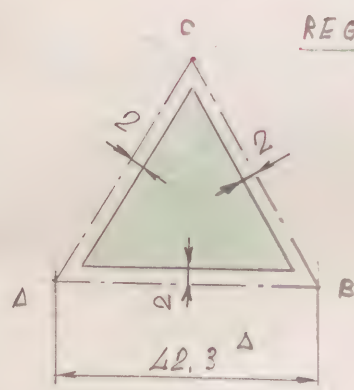


PIEZA N° 12 60 (u)

Figura 10

Figura 10

PIEZA N° 13 FORRO COLOREADO EN CARAS TRIANGULARES
REGULARES 20 unidades



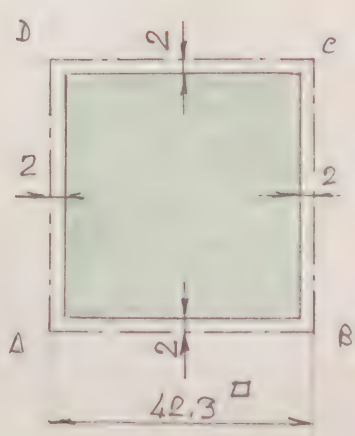
La forma y dimensiones se deducen de las del triángulo ABC de la figura 1, y se detallan en la figura 11

PIEZA N° 13 20 (u)

Figura 11

Figura 11

PIEZA N° 14 FORRO COLOREADO EN PIEZAS CUADRADAS 30 unidades



La forma y dimensiones se deducen de las del cuadrado ABCD de la figura 2, y se detallan en la fig. 12

PIEZA N° 14 30 (u)

Figura 12

Figura 12

PIEZA N° 15 FORRO COLOREADO EN CARAS PENTAGONALES
REGULARES 12 unidades

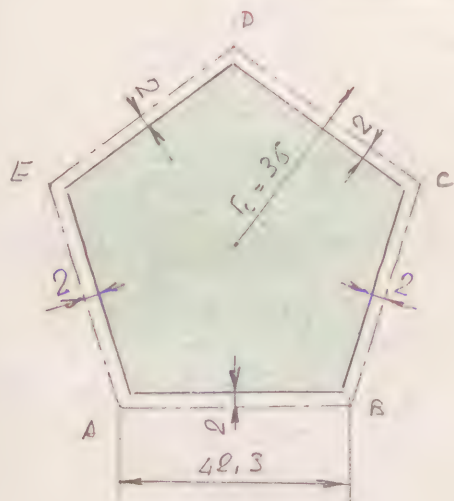


Figura 13

La forma y dimensiones se deducen de las del pentágono ABCDE de la figura 3, y se detallan en la figura 13

PIEZA N° 15 12 (u)

Figura 13

3.22) Arista lateral " a_l " de las pirámides auxiliares triangulares que fijan la posición de los vértices del dodecaedro generador, con respecto al Arquimediano VI.

Se obtiene, en función de la arista " a_n " del dodecaedro generador, de la fórmula (4) deducida en el modelo M-35.10

$$a_l = \frac{k \frac{\alpha}{2}}{2 \cos \frac{\beta}{2} (\sin \varphi + k \frac{\alpha}{2})} a_n \quad (4)$$

Comparando esta fórmula con la fórmula general (2), se observa entre ambas una marcada analogía, pues difieren tan sólo en que el factor $(\cos(\beta+1))$ del denominador de la (2), queda sustituido por el factor $\cos \frac{\beta}{2}$ en la (4).

Por consiguiente, la fórmula (2) puede escribirse de la

siguiente manera:

$$y = \frac{\frac{1}{2} \frac{\alpha}{2}}{2 (\cos \beta + 1) (\cos \varphi + \frac{1}{2} \frac{\alpha}{2})} a_n = \frac{1}{\cos \beta + 1} \times \boxed{\frac{\frac{1}{2} \frac{\alpha}{2}}{2 (\cos \varphi + \frac{1}{2} \frac{\alpha}{2})} a_n}$$

en la que sustituyendo el valor " $y = \frac{1}{3} a_n$ ", obtenido anteriormente (ver párrafo 2.1), tenemos:

$$\frac{1}{3} a_n = \frac{1}{\cos \beta + 1} \times \boxed{\frac{\frac{1}{2} \frac{\alpha}{2}}{2 (\cos \varphi + \frac{1}{2} \frac{\alpha}{2})} a_n} = \frac{1}{\cos \beta + 1} \times E, \text{ siendo}$$

E , la expresión algebraica acunada: Despejando E , sea:

$$E = \frac{1}{3} a_n : \frac{1}{\cos \beta + 1} = \frac{\cos \beta + 1}{3} a_n \quad (6)$$

Análogamente, la fórmula (4) puede también escribirse:

$$\boxed{a_l} = \frac{\frac{1}{2} \frac{\alpha}{2}}{2 \cos \frac{\beta}{2} (\cos \varphi + \frac{1}{2} \frac{\alpha}{2})} a_n = \frac{1}{\cos \frac{\beta}{2}} \times \boxed{\frac{\frac{1}{2} \frac{\alpha}{2}}{2 (\cos \varphi + \frac{1}{2} \frac{\alpha}{2})} a_n} =$$

y sustituyendo E por su valor (6)

$$= \frac{1}{\cos \frac{\beta}{2}} \times \frac{\cos \beta + 1}{3} a_n = \boxed{\frac{\cos \beta + 1}{3 \cos \frac{\beta}{2}}} a_n \quad (7)$$

En esta fórmula simplificada (7), sustituiremos los valores generales de sus variables, por los particulares siguientes, correspondiente al dodecaedro regular convexo generador:

a) $n =$ Número de caras del dodecaedro $= 12$

$$b) \quad \alpha_n = \alpha_{12} = \text{ángulo del diedro}$$

$$c) \quad \beta = \text{ángulo interno que forman dos lados consecuti-} \\ \text{vos de polígonos regulares de una cara superfi-} \\ \text{cial} = \frac{180^\circ \times (5-2)}{5} = 108^\circ$$

$$d) \quad \cos \beta = \cos 108^\circ = -\cos (180^\circ - 108^\circ) = -\cos 72^\circ = -\frac{\sqrt{5}-1}{4}$$

(ver ejercicio G.P. 1006)

$$e) \quad \cos \frac{\beta}{2} = \cos \frac{108^\circ}{2} = \cos 54^\circ = \frac{\sqrt{10-2\sqrt{5}}}{4} \quad (\text{ver ej. G.P. 1006})$$

Aplicando estos valores a la fórmula (7), tendremos:

$$\boxed{a_e} = \frac{\cos \beta + 1}{3 \cos \frac{\beta}{2}} a_{12} = \frac{\left(-\frac{\sqrt{5}-1}{4}\right) + 1}{3 \frac{\sqrt{10-2\sqrt{5}}}{4}} a_{12} = \frac{4 - (\sqrt{5}-1)}{4} a_{12} =$$

$$= \frac{\frac{5-\sqrt{5}}{4}}{\frac{3}{4} \sqrt{10-2\sqrt{5}}} a_{12} = \frac{5-\sqrt{5}}{3 \sqrt{10-2\sqrt{5}}} a_{12} = \frac{(5-\sqrt{5}) \times \sqrt{10-2\sqrt{5}}}{3 \times (10-2\sqrt{5})} a_{12} =$$

$$= \frac{(5-\sqrt{5}) \sqrt{10-2\sqrt{5}}}{3 \times 2 (5-\sqrt{5})} a_{12} = \boxed{\frac{\sqrt{10-2\sqrt{5}}}{6} a_{12}}$$

Puede obtenerse también el valor de " a_e " en función de r_{ec}^{12} (dato de este modelo), sustituyendo $a_{12} = \frac{\sqrt{15}-\sqrt{3}}{3} r_{ec}^{12}$.
Así pues, será:

$$\boxed{a_e} = \frac{\sqrt{10-2\sqrt{5}}}{6} a_{12} = \frac{\sqrt{10-2\sqrt{5}}}{6} \times \frac{\sqrt{15}-\sqrt{3}}{3} r_{ec}^{12} = \frac{\sqrt{10-2\sqrt{5}} \times (\sqrt{15}-\sqrt{3})}{18} r_{ec}^{12}$$

$$= \frac{\sqrt{2(5-\sqrt{5})(\sqrt{15}-\sqrt{3})^2}}{18} r_{ec}^{12} = \frac{\sqrt{2(5-\sqrt{5})(15+3-2\sqrt{45})}}{18} r_{ec}^{12} =$$

~~Calcular~~

enero 1982

$$= \frac{\sqrt{2(5-\sqrt{5})(18-6\sqrt{5})}}{18} r_{ec}^{12} = \frac{\sqrt{2 \times 6 \times (5-\sqrt{5})(3-\sqrt{5})}}{18} r_{ec}^{12} =$$

$$= \frac{\sqrt{12(15-13\sqrt{5}-5\sqrt{5}+5)}}{18} r_{ec}^{12} = \frac{2\sqrt{3(20-8\sqrt{5})}}{18} r_{ec}^{12} =$$

$$= \frac{\sqrt{3 \times 4 \times (5-2\sqrt{5})}}{9} r_{ec}^{12} = \frac{2\sqrt{3(5-2\sqrt{5})}}{9} r_{ec}^{12} = \frac{2}{3} \cdot \frac{\sqrt{3(5-2\sqrt{5})}}{3} r_{ec}^{12} =$$

$$= \frac{2}{3} \times \sqrt{\frac{3(5-2\sqrt{5})}{3^2}} r_{ec}^{12} = \boxed{\frac{2}{3} \times \sqrt{\frac{5-2\sqrt{5}}{3}} r_{ec}^{12}}$$

De donde se obtiene finalmente:

$$\boxed{a_e = \frac{2}{3} \sqrt{\frac{5-2\sqrt{5}}{3}} r_{ec}^{12}}$$

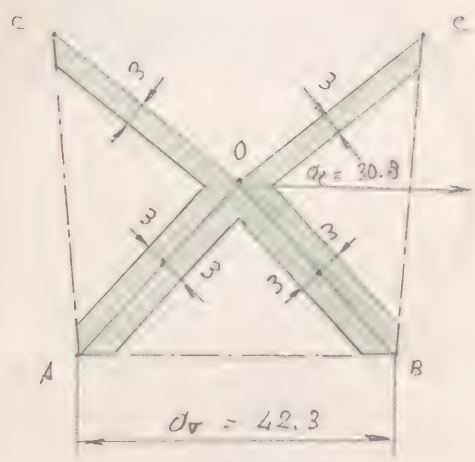
El valor numérico será pues:

$$\boxed{a_e} = \frac{2}{3} \sqrt{\frac{5-2\sqrt{5}}{3}} \times 110 \approx 0,279646350... \times 110 \approx \boxed{30,8 \text{ mm}}$$

PIEZA Nº 16 DESARROLLO LATERAL DE LAS PIDÁMIDES
AUXILIARES, RECTAS, TRIANGULARES

20 unidades

La forma y dimensiones, se detallan en la figura 14.



$\overline{AB} = \overline{BC} = \overline{CD} = 42,3 = d_v$

PIEZA N° 16 20 (u)

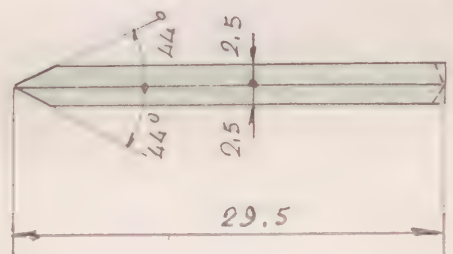
Figura 14

PIEZA N° 17

UNIONES ARISTAS DE LAS PIRÁMIDES AUXILIARES

60 unidades

La forma y dimensiones se detallan en la figura 15



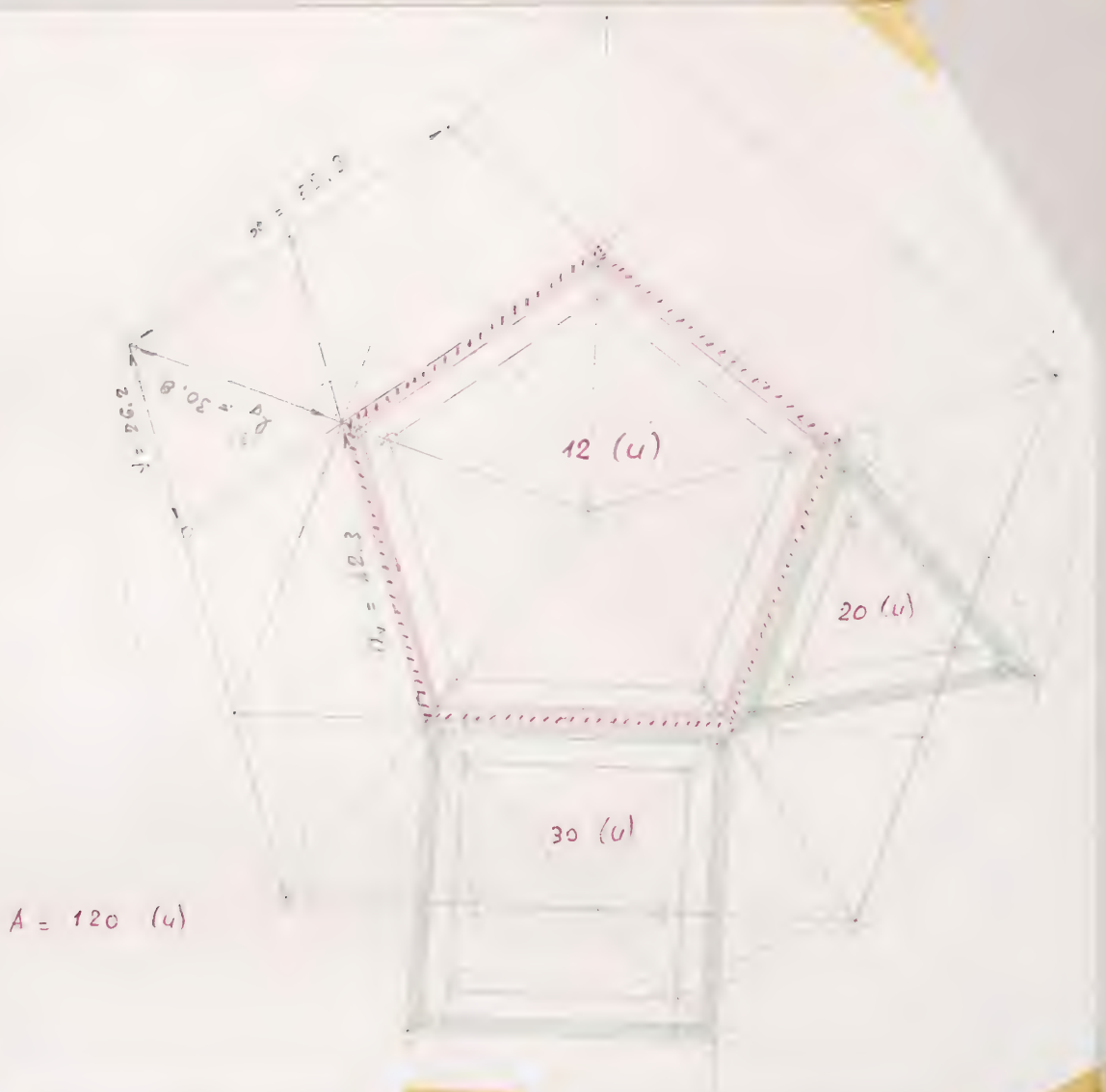
PIEZA N° 17 60 (u)

Figura 15

Figura 15

MODELO M - 38.5

Patrones



MODELO

Modelo CORPÓREO DEL "ARQUIMEDIANO VI" OBTENIDO

POR TRUNCADURA PARALELA DE ARISTAS DE UN ICOSAEDRO

REGULAR CONVEXO, DE ARISTA " a_{20} ", A LA DISTAN-

CIA " $y = \frac{7-\sqrt{5}}{22}$ ", SEGUIDA DE UNA TRUNCADURA DE

vértices (o VICEVERSA) A LA DISTANCIA " $x = \frac{7-\sqrt{5}}{11}$ ",

AL TOMAR SOBRE CADA ARISTA, Y DESDE SU VÉRTICE,

LAS DISTANCIAS " y " Y " x " RESPECTIVAMENTE. - EL

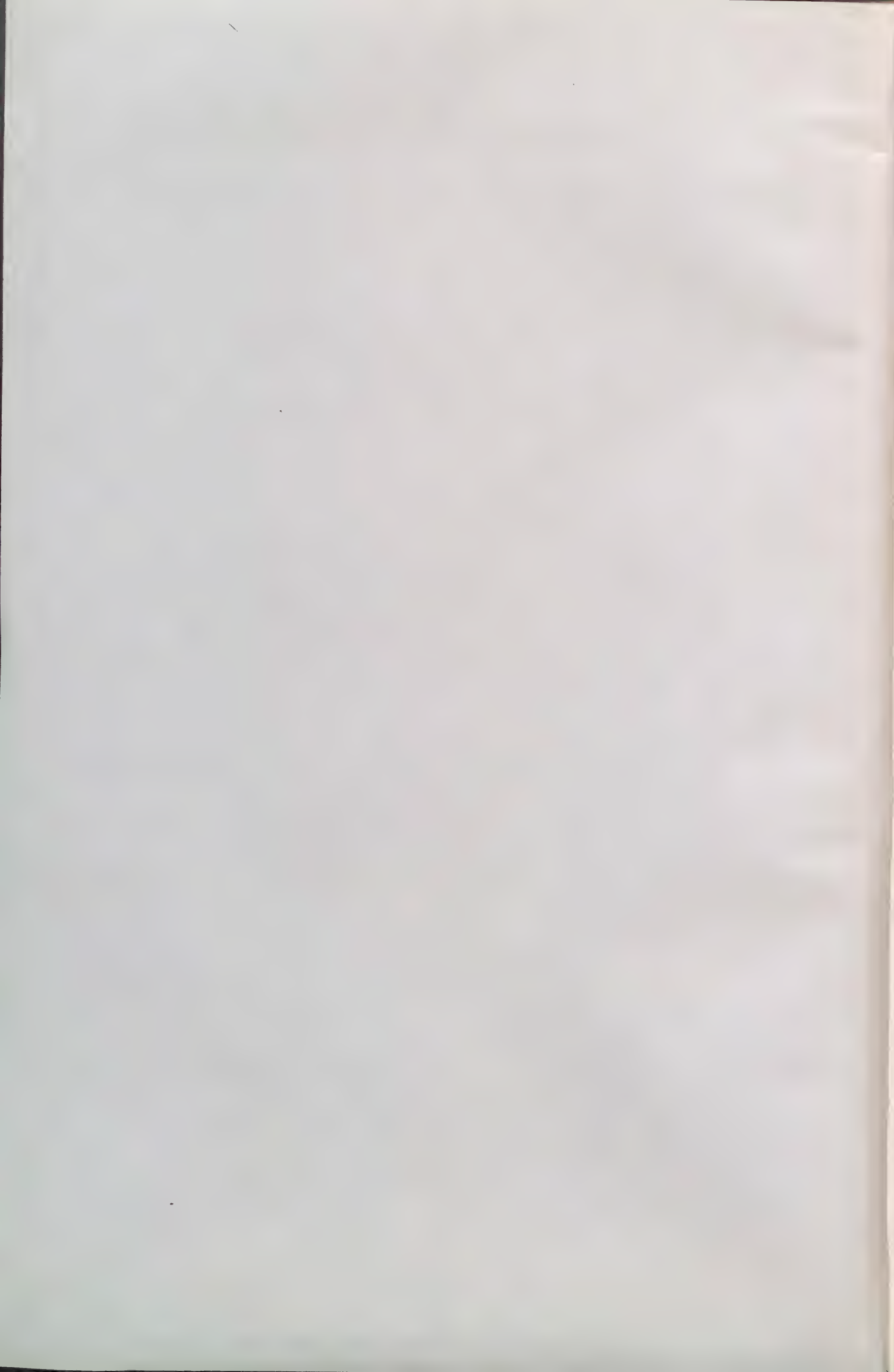
ARQUIMEDIANO OBTENIDO, SE CONSTRUIRÁ CON LAS CARAS

MACIZAS, Y EL ICOSAEDRO REGULAR CONVEXO GENERA-

DOR, CON LAS CARAS VACIADAS.

Radio de la esfera circunscrita al icosaedro
generador:

$$r_{20}^{20} = 110 \text{ mm}$$



ENUNCIADO: Construir el modelo corpóreo del "ARQUIMEDIANO VI, obtenido por "Truncadura paralela de aristas" de un icosaedro regular convexo, de arista " a_{20} " a la distancia $y = \frac{7-\sqrt{5}}{22}$, seguida de una "Truncadura de vértices" (o viceversa), a la distancia $x = \frac{7-\sqrt{5}}{11}$, al tomar sobre cada arista, y desde su vértice, las distancias "y" y "x" respectivamente. El Arquimedeano obtenido, se construirá con las caras macizas, y el icosaedro regular convexo generador, con las caras vaciadas.

DATO ÚNICO DE ESTE EJERCICIO: $r_{e_{20}}^{20}$ = Radio de la esfera circunscrita al icosaedro generador:

$$r_{e_{20}}^{20} = 110 \text{ mm}$$

En el ESTUDIO PREVIO realizado en el modelo M-35,10, desarrollamos el proceso geométrico denominado "TRUNCADURA PARALELA DE ARISTAS" seguida de una "TRUNCADURA DE VÉRTICES" (o viceversa), de un poliedro regular convexo, que aplicaremos seguidamente a este ejercicio.

Dicho proceso da lugar a la formación, en cada poliedro regular generador, de un poliedro cualeto, convexo, cuyas características geométricas detallamos en el primer-



fo 2, y que en particular, y en el caso especial descrito en este enunciado, dicho poliedro es un ARQUIMEDIANO

Las características geométricas del poliedro núcleo obtenido en este ejercicio, se deducen previamente de las generales detalladas en el mencionado EJERCICIO PREVIO, y son las siguientes:

- Los planos secantes " π_1 " de la truncadura paralela de aristas, producen en el caso del icosaedro regular, veinte triángulos equiláteros, situados en las caras del icosaedro generador.
- Los planos secantes " π_2 " de la truncadura de vértices, producen a su vez, doce pentágonos regulares (uno en cada vértice), situados en el plano secante " π_2 ".
- Los planos secantes " π_1 " y " π_2 ", al cortarse mutuamente, producen a su vez treinta cuadrados (uno por cada arista del icosaedro), paralelos a las aristas del icosaedro generador.

Por consiguiente, el poliedro núcleo estará limitado por VEINTE CARAS TRIANGULARES REGULARES, TREINTA CARAS CUADRADAS, y DOCE PENTÁGONOS REGULARES.

Entes son las características geométricas del ARQUIMEDIANO VI, estudiado y representado en el ejercicio G.E. n°... Lámina 38, que detallamos a continuación:

ARQUIMEDIANO VI

Número de caras triangulares	$C_3 = 20$
Número de caras cuadradas	$C_4 = 30$
Número de caras pentagonales	$C_5 = 12$
Número de vértices	$V = 60$
Número de aristas	$A = 120$
Número de caras en cada vértice	$1C_3 + 2C_4 + 1C_5$

2) POSICIÓN DE LOS PLANOS SECANTES " π_1 " Y " π_2 "

La posición de los planos secantes " π_1 " de la "truncadura paralela de aristas", y de los " π_2 " de la "truncadura de vértices" con respecto al poliedro regular generador, se obtiene mediante las respectivas distancias "y" y "x", tomadas sobre las aristas y a partir de los vértices.

Para que el poliedro núcleo sea un Arquimediando, se han obtenido en el EJERCICIO PREVIO al modelo M-35.10, fórmulas generales (fórmula (3), párrafo 4.3) para la determinación de "x", y (fórmula (2), párrafo 4.3) para la de "y", que aplicaremos a este ejercicio.

2.1) Distancia "y" que fija la posición del plano " π_1 " en la truncadura paralela de aristas.

Se obtiene, en función de la arista " a_n " del poliedro ge-

erador, de la fórmula general (2), deducida en M-35.10

$$y = \frac{k \frac{\alpha}{2}}{2 (\cos \beta + 1) (\sec \varphi + k \frac{\alpha}{2})} \quad (2)$$

En ésta, sustituiremos los valores generales de sus variables, por los particulares siguientes, correspondientes al icosaedro regular convexo generador:

- a) $n =$ Número de caras del icosaedro $= 20$
- b) $a_n =$ Arista del icosaedro $= a_{20}$
- c) $\frac{\alpha}{2} =$ Semángulo central del polígono regular de una cara superficial $= \frac{360^\circ}{3}; 2 = 60^\circ$
- d) $\varphi =$ Semángulo del diedro que forman dos caras contiguas del icosaedro.
- e) $\beta =$ Ángulo interno que forman dos lados consecutivos del polígono regular de una cara superficial $= \frac{180^\circ \times (3-2)}{3} = 60^\circ$
- f) $\cos \beta = \cos 60^\circ = \frac{1}{2}$ (Ver ejercicio G.P. 1006)
- g) $k \frac{\alpha}{2} = k 60^\circ = \sqrt{3}$ (Ver ejercicio G.P. 1006)
- h) $\sec \varphi = \frac{\sqrt{5} + \sqrt{3}}{6}$ (Ver G.P. n°... Ldmino 5)

Aplicando los valores f), g), h) a la fórmula (2), tendremos:



$$\begin{aligned}
 y &= \frac{\sqrt{3}}{2 \times \left(\frac{1}{2} + 1 \right) \times \left(\frac{\sqrt{15} + \sqrt{3}}{6} + \sqrt{3} \right)} a_{20} = \frac{\sqrt{3}}{3 \left(\frac{\sqrt{15} + \sqrt{3}}{6} + \sqrt{3} \right)} a_{20} = \\
 &= \frac{\sqrt{3}}{\frac{\sqrt{15} + \sqrt{3} + 6\sqrt{3}}{6} \times 3} a_{20} = \frac{\sqrt{3}}{\frac{\sqrt{15} + 7\sqrt{3}}{2}} a_{20} = \frac{2\sqrt{3}}{\sqrt{15} + 7\sqrt{3}} a_{20} = \\
 &= \frac{2}{\sqrt{5} + 7} a_{20} = \frac{2(7 - \sqrt{5})}{49 - 5} a_{20} = \frac{2(7 - \sqrt{5})}{44} a_{20} = \boxed{\frac{7 - \sqrt{5}}{22} a_{20}}
 \end{aligned}$$

De donde se obtiene finalmente:

$$y = \frac{7 - \sqrt{5}}{22} a_{20} \quad (5)$$

Este valor de "y" justifica el expresado en el enunciado de este ejercicio.

Puede obtenerse también el valor de "y" en función de r_{ec}^{20} (dato de este modelo) sustituyendo $a_{20} = 2 \sqrt{\frac{5 - \sqrt{5}}{10}} r_{ec}^{20}$ (valor que obtendremos posteriormente). Así pues, será:

$$\begin{aligned}
 y &= \frac{7 - \sqrt{5}}{22} a_{20} = \frac{7 - \sqrt{5}}{22} \times 2 \sqrt{\frac{5 - \sqrt{5}}{10}} r_{ec}^{20} = \frac{7 - \sqrt{5}}{11} \times \sqrt{\frac{5 - \sqrt{5}}{10}} r_{ec}^{20} = \\
 &= \sqrt{\frac{(5 - \sqrt{5})(7 - \sqrt{5})^2}{10 \times 11^2}} r_{ec}^{20} = \sqrt{\frac{(5 - \sqrt{5})(49 + 5 - 14\sqrt{5})}{10 \times 11^2}} r_{ec}^{20} = \sqrt{\frac{(5 - \sqrt{5})(54 - 14\sqrt{5})}{10 \times 11^2}} r_{ec}^{20} = \\
 &= \sqrt{\frac{(5 - \sqrt{5})(27 - 7\sqrt{5})}{5 \times 11^2}} r_{ec}^{20} = \sqrt{\frac{135 - 27\sqrt{5} - 35\sqrt{5} + 35}{5 \times 11^2}} r_{ec}^{20} = \sqrt{\frac{170 - 62\sqrt{5}}{5 \times 11^2}} r_{ec}^{20} = \\
 &= \boxed{\sqrt{\frac{170 - 62\sqrt{5}}{605}} r_{ec}^{20}}
 \end{aligned}$$



El valor numérico será pues:

$$y = \sqrt{\frac{170 - 62\sqrt{5}}{60.5}} \times 110 \approx 0,227686116... \times 110 \approx 25,0 \text{ mm}$$

2.2) Distancia "x" que fija la posición del plano secante " π_2 " en la truncadura de vértices.

Se obtiene, en función de la arista " a_n " del poliedro generador, de la fórmula (3) deducida en M-35.10

$$x = \frac{\frac{1}{2} \frac{a}{2}}{2 \cos^2 \frac{\beta}{2} (\sin \varphi + \frac{1}{2} \frac{a}{2})} a_n \quad (3)$$

Los valores a sustituir en esta fórmula, son los siguientes (ver párrafo 2.1)

a) $\frac{1}{2} \frac{a}{2} = \frac{1}{2} 60^\circ = \sqrt{3}$ (Ver ejercicio G.P. 1006)

b) $\cos^2 \frac{\beta}{2} = \cos^2 \frac{60^\circ}{2} = \cos^2 30^\circ = \left(\frac{\sqrt{3}}{2}\right)^2 = \frac{3}{4}$ (Ver G.P. 1006)

c) $\sin \varphi = \frac{\sqrt{15} + \sqrt{3}}{6}$ (Ver G.P. n° ... - Lámina 5) Tendremos pues:

$$\begin{aligned} x &= \frac{\sqrt{3}}{2 \times \frac{3}{4} \times \left(\frac{\sqrt{15} + \sqrt{3}}{6} + \sqrt{3}\right)} a_{20} = \frac{\sqrt{3}}{\frac{3}{2} \left(\frac{\sqrt{15} + \sqrt{3} + 6\sqrt{3}}{6}\right)} a_{20} = \\ &= \frac{2\sqrt{3}}{\frac{\sqrt{15} + 7\sqrt{3}}{2}} a_{20} = \frac{4\sqrt{3}}{\sqrt{15} + 7\sqrt{3}} a_{20} = \frac{4}{\sqrt{5} + 7} a_{20} = \frac{4(7 - \sqrt{5})}{49 - 5} a_{20} = \end{aligned}$$

$$= \frac{4 \cdot (7 - \sqrt{5})}{44} a_{20} = \boxed{\frac{7 - \sqrt{5}}{11} a_{20}}$$

De donde se obtiene finalmente:

$$\boxed{x = \frac{7 - \sqrt{5}}{11} a_{20}} \quad (6)$$

De la comparación de las fórmulas (6) y (5), se obtiene de inmediato que " $x = 2y$ ".

Valor de " x " en función de r_{ec}^{20} (dato de este modelo) (ver valor de " y " en párrafo 2.1). Tendremos:

$$\boxed{x = 2y = 2 \times \sqrt{\frac{170 - 62\sqrt{5}}{605}} r_{ec}^{20}$$

El valor numérico será pues:

$$\boxed{x = 2 \times \sqrt{\frac{170 - 62\sqrt{5}}{605}} \times 110 \approx 0,455372232 \dots \times 110 = \boxed{50,1 \text{ mm}}$$

3) CONSTRUCCIÓN DE ESTE MODELO

Para la construcción de este modelo, son necesarias las siguientes piezas:

3.1) Arista " a_{20} " en función de " r_{ec}^{20} "

El valor se obtiene de la fórmula " $r_{ec}^{20} = \frac{\sqrt{10 + 2\sqrt{5}}}{4} a_{20}$ ", deducida en el ejercicio G.E. n°... - Lámina 5.- Despejando en ella " a_{20} ", tendremos:



$$\boxed{a_{20}} = r_{ec}^{20} \cdot \frac{\sqrt{10+2\sqrt{5}}}{4} = \frac{4}{\sqrt{10+2\sqrt{5}}} r_{ec}^{20} = \frac{4 \sqrt{10+2\sqrt{5}}}{10+2\sqrt{5}} r_{ec}^{20} =$$

$$= \frac{2 \times \sqrt{2(5+\sqrt{5})}}{5+\sqrt{5}} r_{ec}^{20} = 2 \sqrt{\frac{2(5+\sqrt{5})}{(5+\sqrt{5})^2}} r_{ec}^{20} = 2 \sqrt{\frac{2}{5+\sqrt{5}}} r_{ec}^{20} =$$

$$= 2 \sqrt{\frac{2(5-\sqrt{5})}{20}} r_{ec}^{20} = \boxed{2 \times \sqrt{\frac{5-\sqrt{5}}{10}} r_{ec}^{20}}$$

Valor que hemos aplicado en los párrafos 2.1) y 2.2)
 Su valor numérico será pues:

$$\boxed{a_{20}} = 2 \sqrt{\frac{5-\sqrt{5}}{10}} \times 110 \cong 1,051462224... \times 110 \cong \boxed{115,7 \text{ mm}}$$

3.11) ICOSAEDRO REGULAR GENERADOR, DE CARAS VACIAS

<u>PIEZA N° 1</u>	<u>CARAS SUPERFICIALES</u>	<u>20 unidades</u>
-------------------	----------------------------	--------------------

La forma y dimensiones son iguales a las de la figura n° 1 del ejercicio M - 5.102

<u>PIEZA N° 2</u>	<u>UNIONES ADISTAS</u>	<u>30 unidades</u>
-------------------	------------------------	--------------------

La forma y dimensiones son iguales a las de la figura n° 2 del ejercicio M - 5.102

UNE A4 210 x 297

3.2) ARQUIMEDIANO VI (NÚCLEO DEL ICOSAEDRO GENERADOR)
DE CARAS MACIZAS, INCLUIDO LAS PIRÁMIDES AUXILIARES DE FIJACIÓN DE LOS VÉRTICES DEL ICOSAEDRO GENERADOR A LAS CARAS PENTAGONALES DEL ARQUIMEDIANO VI.

3.21) Longitud " a_{VI}^{20} " de la arista del Arquimiliano VI, engendrado por el icosaedro generador " P_{20} ".

Se obtiene, en función de la arista " a_{20} " del icosaedro generador, de la fórmula (1), deducida en el modelo M-35, 10

$$a_A = \frac{\text{sen } \varphi}{\text{sen } \varphi + t_3 \frac{a}{2}} a_n \quad (1)$$

Los valores a sustituir en esta fórmula, son los siguientes (ver párrafo 2.1)

a) $t_3 \frac{a}{2} = t_3 60^\circ = \sqrt{3}$ (Ver ejercicio G.P. 1006)

b) $\text{sen } \varphi = \frac{\sqrt{15} + \sqrt{3}}{6}$ (Ver G.P. n°.... - Lámina 5).

Entonces, pues sustituyendo estos valores en (1)

$$a_A = a_{VI}^{20} = \frac{\frac{\sqrt{15} + \sqrt{3}}{6}}{\frac{\sqrt{15} + \sqrt{3}}{6} + \sqrt{3}} a_{20} = \frac{1}{1 + \sqrt{3} : \frac{\sqrt{15} + \sqrt{3}}{6}} a_{20} =$$



$$= \frac{1}{1 + \frac{6\sqrt{3}}{\sqrt{15} + \sqrt{3}}} a_{20} = \frac{1}{\frac{\sqrt{15} + \sqrt{3} + 6\sqrt{3}}{\sqrt{15} + \sqrt{3}}} a_{20} = \frac{\sqrt{15} + \sqrt{3}}{7\sqrt{3} + \sqrt{15}} a_{20} =$$

$$= \frac{(\sqrt{15} + \sqrt{3})(7\sqrt{3} - \sqrt{15})}{147 - 15} a_{20} = \frac{7\sqrt{45} + 21 - 15 - \sqrt{45}}{132} a_{20} =$$

$$= \frac{6\sqrt{45} + 6}{132} a_{20} = \frac{18\sqrt{5} + 6}{132} a_{20} = \boxed{\frac{3\sqrt{5} + 1}{22} a_{20}}$$

De donde se obtiene finalmente .

$$\boxed{a_{\pi}^{20} = \frac{3\sqrt{5} + 1}{22} a_{20}}$$

Para obtener el valor de " a_{π}^{20} " en función de " r_c^{20} " (dato de este ejercicio) sustituiremos el valor de " $a_{20} = 2 \sqrt{\frac{5-\sqrt{5}}{10}} r_c^{20}$ " en la anterior fórmula, cuya expresión ha sido obtenida en el párrafo 3.i). Así pues, tendremos:

$$\boxed{a_{\pi}^{20}} = \frac{3\sqrt{5} + 1}{22} a_{20} = \frac{3\sqrt{5} + 1}{22} \times 2 \sqrt{\frac{5-\sqrt{5}}{10}} r_c^{20} = \frac{3\sqrt{5} + 1}{11} \sqrt{\frac{5-\sqrt{5}}{10}} r_c^{20} =$$

$$= \frac{1}{11} \sqrt{\frac{(5-\sqrt{5})(3\sqrt{5}+1)^2}{10}} r_c^{20} = \frac{1}{11} \sqrt{\frac{(5-\sqrt{5})(45+1+6\sqrt{5})}{10}} r_c^{20} =$$

$$= \frac{1}{11} \sqrt{\frac{(5-\sqrt{5})(46+6\sqrt{5})}{10}} r_c^{20} = \frac{1}{11} \sqrt{\frac{(5-\sqrt{5})(23+3\sqrt{5})}{5}} r_c^{20} =$$

$$= \frac{1}{11} \sqrt{\frac{115 - 23\sqrt{5} + 15\sqrt{5} - 15}{5}} r_c^{20} = \frac{1}{11} \sqrt{\frac{100 - 8\sqrt{5}}{5}} r_c^{20} = \frac{1}{11} \sqrt{\frac{4(25 - 2\sqrt{5})}{5}} r_c^{20} =$$

$$= \boxed{\frac{2}{11} \sqrt{\frac{25 - 2\sqrt{5}}{5}} r_c^{20}} . \text{ Su valor numérico será pues :}$$

$$a_{\frac{20}{11}} = \frac{2}{11} \sqrt{\frac{25 - 2\sqrt{5}}{5}} \times 110 \approx 0,368403875... \times 110 \approx 40,5 \text{ mm}$$

PIEZA N° 3

CARAS SUPERFICIALES TRIANGULARES REGU-
LARES

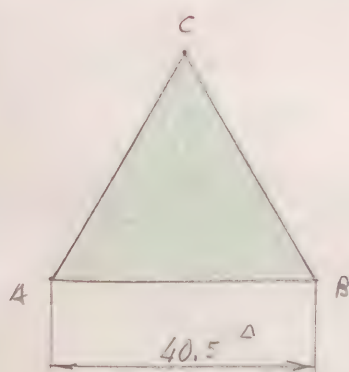
20 unidades

Figura 1

La forma y dimensiones se deta-
llan en la figura 1

PIEZA N° 320 (u)

Figura 1

PIEZA N° 4

CARAS SUPERFICIALES CUADRADAS

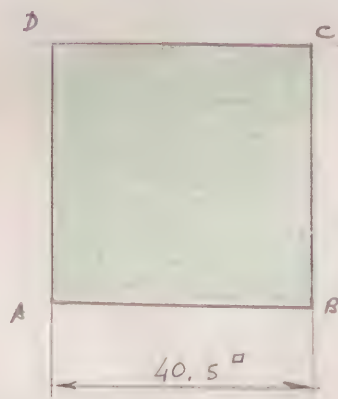
30 unidades

Figura 2

La forma y dimensiones se deta-
llan en la figura 2

PIEZA N° 430 (u)

Figura 2

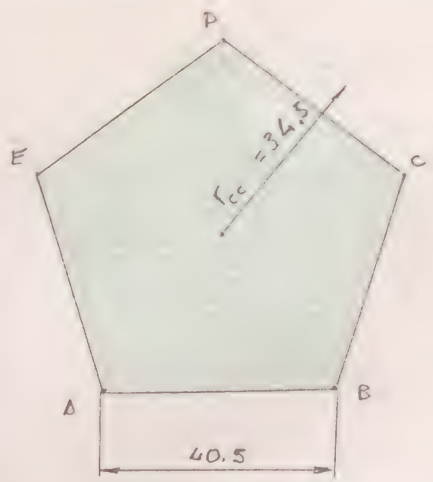
PIEZA N° 5

CARAS SUPERFICIALES PENTAGONALES
REGULARES

12 unidades

La forma y dimensiones se detallan en la
figura 3





PIEZA N° 5

12 (u)

Figura 3

Figura 3

PIEZA N° 6

REFUERZO NORMAL EN CARAS TRIANGULARES

REGULARES

20 unidades

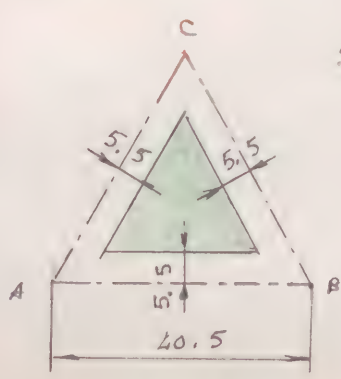


Figura 4

La forma y dimensiones se deducen de las del triángulo ABC de la figura 1, y se detallan en la figura 4

PIEZA N° 6

20 (u)

Figura 4

PIEZA N° 7

REFUERZO NORMAL EN CARAS CUADRADAS

30 unidades

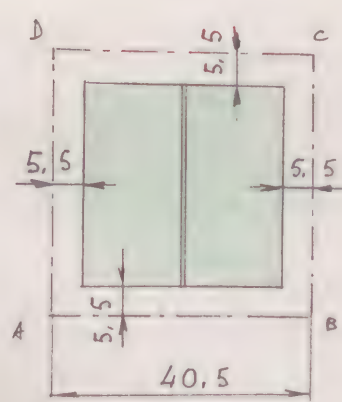


Figura 5

La forma y dimensiones se deducen de las del cuadrado ABCD de la figura 2, y se detallan en la figura 5

PIEZA N° 7

30 (u)

Figura 5

PIEZA N° 8

REFUERZO NORMAL EN CARAS PENTAGONALES

REGULARES

12 unidades

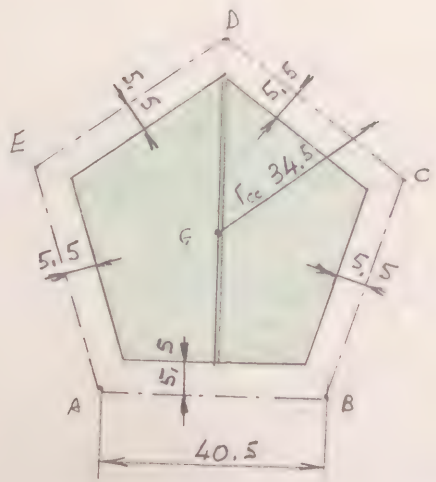


Figura 6

La forma y dimensiones se deducen de las del pentágono regular ABCDE de la figura 3, y se detallan en la figura 6.

PIEZA N° 8 12 (u)

Figura 6

PIEZA N° 9

REFUERZO NORMAL EN CARAS CUADRADAS

60 unidades

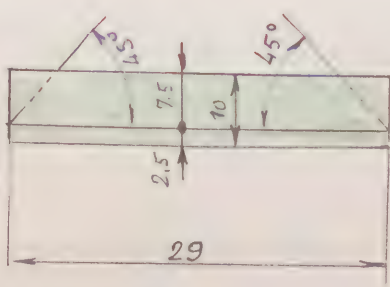


Figura 7

La forma y dimensiones se detallan en la figura 7; su colocación, en la figura 5.

PIEZA N° 9 60 (u)

Figura 7

PIEZA N° 10

REFUERZO NORMAL EN CARAS PENTAGONALES REGULARES

60 unidades.

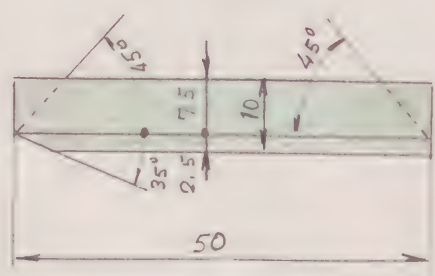


Figura 8

La forma y dimensiones se detallan en la figura 8; su colocación en la figura 6.

PIEZA N° 10 60 (u)

Figura 8

PIEZA N° 11

UNIONES ARISTAS DE UNA CARA CUADRADA CON OTRA PENTAGONAL

60 unidades

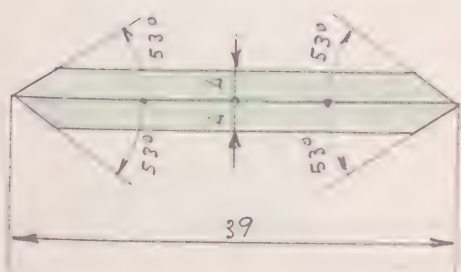


Figura 9

La forma y dimensiones se detallan en la figura 9.

PIEZA N° 11 60 (u)

Figura 9

PIEZA N° 12

UNIONES ARISTAS DE UNA CARA CUADRADA
CON OTRA TRIANGULAR 60 unidades

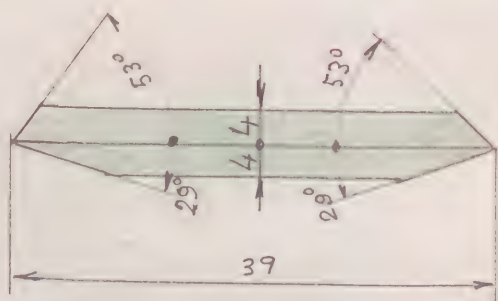


Figura 10

La forma y dimensiones se detallan en la figura 10

PIEZA N° 12 60 (u)

Figura 10

PIEZA N° 13

FORRO COLOREADO EN CARAS TRIANGULARES
REGULARES 20 unidades

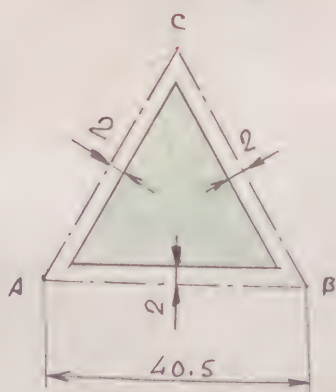


Figura 11

La forma y dimensiones se deducen de las del triángulo ABC de la figura 1, y se detallan en la figura 11

PIEZA N° 13 20 (u)

Figura 11

PIEZA N° 14

FORRO COLOREADO EN CARAS CUADRADAS
30 unidades

La forma y dimensiones se deducen de las del cuadrado ABCD de la figura 2, y se detallan en la figura 12.

Calvario Enero 1982

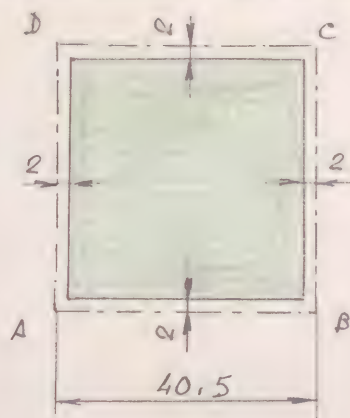


Figura 12

PIEZA N° 14

30 (u)

Figura 12

PIEZA N° 15

FORRO COLOREADO EN CADA PENTAGONALES
REGULARES

12 unidades

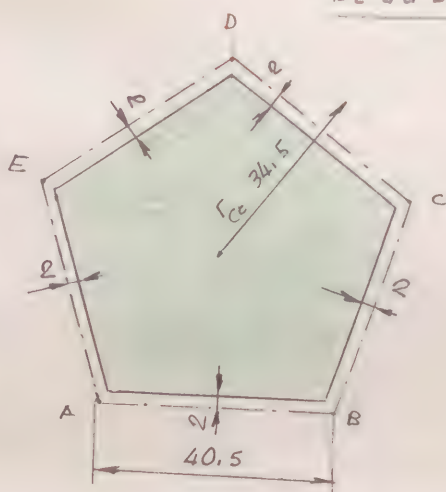


Figura 13

La forma y dimensiones se deducen de las del pentágono AB.. CDE de la figura 3, y se detallan en la figura 13

PIEZA N° 15 12 (u)

Figura 13

2.22) Arista lateral " a_p " de las pirámides auxiliares pentagonales regulares, que fijan la posición de los vértices del icosaedro generador, con respecto al Arquimediano VI.

Se obtiene, en función de la arista " a_n " del icosaedro generador, de la fórmula (4), deducida en M-35.10

$$a_p = \frac{5^{\frac{\alpha}{2}}}{2 \cos \frac{\beta}{2} \left(\sin \varphi + \frac{1}{5} \frac{\alpha}{2} \right)} a_n \quad (4)$$

Los valores a sustituir en esta fórmula, son los siguientes: (ver párrafo 2.1):

$$a) \quad \tan \frac{\alpha}{2} = \tan 60^\circ = \sqrt{3} \quad (\text{Ver ejercicio G.P. 1006})$$

$$b) \quad \cos \frac{\beta}{2} = \cos 60^\circ = \frac{\sqrt{3}}{2} \quad (\text{Ver ejercicio G.P. 1006})$$

$$c) \quad \sec \varphi = \frac{\sqrt{5} + \sqrt{3}}{6} \quad (\text{Ver G.P. n}^\circ \dots - \text{L}^\circ \text{ming 5}) \quad \text{Entonces pnes:}$$

$$\boxed{a_e} = \frac{\sqrt{3}}{2 \times \frac{\sqrt{3}}{2} \times \left(\frac{\sqrt{5} + \sqrt{3}}{6} + \sqrt{3} \right)} a_{20} = \frac{\sqrt{3}}{\sqrt{3} \times \left(\frac{\sqrt{5} + \sqrt{3} + 6\sqrt{3}}{6} \right)} a_{20} =$$

$$= \frac{1}{\frac{\sqrt{5} + 7\sqrt{3}}{6}} a_{20} = \frac{6}{\sqrt{5} + 7\sqrt{3}} a_{20} = \frac{6 \times (7\sqrt{3} - \sqrt{5})}{147 - 15} a_{20} =$$

$$= \frac{6 (7\sqrt{3} - \sqrt{5})}{132} a_{20} = \boxed{\frac{7\sqrt{3} - \sqrt{5}}{22} a_{20}}$$

De donde se obtiene finalmente

$$\boxed{a_e = \frac{7\sqrt{3} - \sqrt{5}}{22} a_{20}} \quad (6)$$

Para obtener " a_e " en función de r_{ec}^{20} (dato del ejercicio) sustituiremos " $a_{20} = 2 \sqrt{\frac{5-\sqrt{5}}{10}} r_{ec}^{20}$ " valor obtenido en el párrafo 3.1

$$\boxed{a_e} = \frac{7\sqrt{3} - \sqrt{5}}{22} \times 2 \sqrt{\frac{5-\sqrt{5}}{10}} r_{ec}^{20} = \frac{7\sqrt{3} - \sqrt{5}}{11} \times \sqrt{\frac{5-\sqrt{5}}{10}} r_{ec}^{20} =$$

$$= \frac{1}{11} \sqrt{\frac{(5-\sqrt{5})(7\sqrt{3} - \sqrt{5})^2}{10}} r_{ec}^{20} = \frac{1}{11} \sqrt{\frac{(5-\sqrt{5})(147 + 15 - 14\sqrt{45})}{10}} r_{ec}^{20} =$$

$$= \frac{1}{11} \sqrt{\frac{(5-\sqrt{5})(162 - 42\sqrt{5})}{10}} r_{ec}^{20} = \frac{1}{11} \sqrt{\frac{(5-\sqrt{5})(81 - 21\sqrt{5})}{5}} r_{ec}^{20} =$$

$$= \frac{1}{11} \sqrt{\frac{3(5-\sqrt{5})(27-7\sqrt{5})}{5}} r_{ec}^{20} = \frac{1}{11} \sqrt{\frac{3(135-27\sqrt{5}-35\sqrt{5}+35)}{5}} r_{ec}^{20} =$$

$$= \frac{1}{11} \sqrt{\frac{3 \times (170-62\sqrt{5})}{5}} r_{ec}^{20} = \frac{1}{11} \sqrt{\frac{510-186\sqrt{5}}{5}} r_{ec}^{20}$$

De donde se obtiene finalmente:

$$d_e = \frac{1}{11} \sqrt{\frac{510-186\sqrt{5}}{5}} r_{ec}^{20}$$

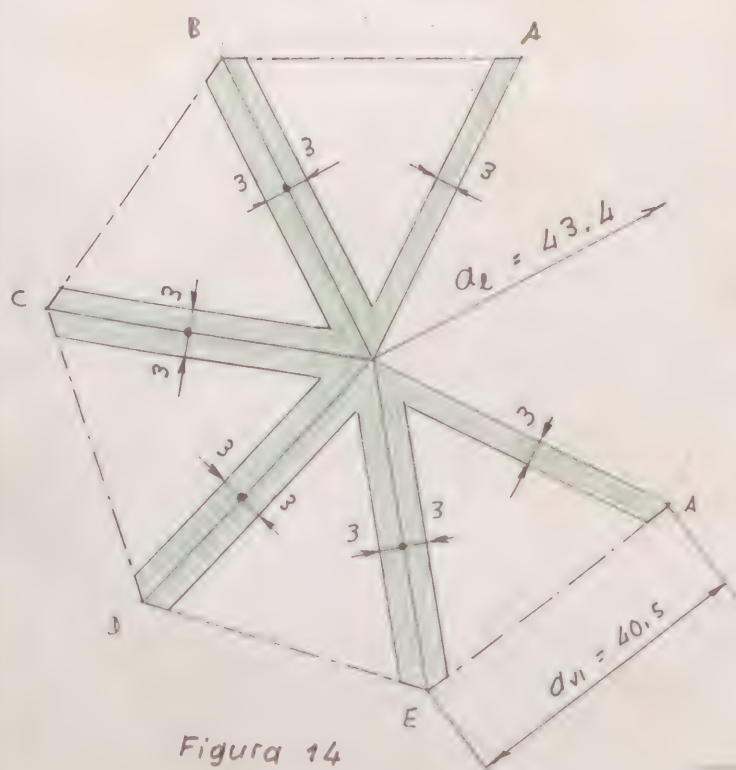
su valor numérico será pues:

$$d_e = \frac{1}{11} \sqrt{\frac{510-186\sqrt{5}}{5}} \times 110 \approx 0,394363928... \times 110 \approx 43,4 \text{ mm}$$

PIEZA N° 16

DESARROLLO LATERAL DE LAS PIRÁMIDES AUXILIARES, RECTAS, PENTAGONALES.

12 unidades



La forma y dimensiones se detallan en la figura 14.

$$\overline{AB} = \overline{BC} = \overline{CD} = \overline{DE} = \overline{EA}$$

PIEZA N° 16

12 (u)

Figura 14

Figura 14



MODELO M - 38.6

Patrones



INTRODUCCIÓN A LOS MODELOS SOBRE
POLIEDROS SEMI-REGULARES CONVEXOS,
O "POLIEDROS ARQUIMEDIANOS"

ESTUDIO PREVIO A LA CONSTRUCCIÓN DE
LOS MISMOS. - DEFINICIONES. - PROPIEDADES. -
PROCESOS DE OBTENCIÓN DE LOS MISMOS,
DERIVÁNDolos DE LOS CINCO POLIEDROS RE-
GULARES CONVEXOS REPRESENTADOS EN
LAS LÁMINAS 1 A 5.

ENUNCIADO PREVIO. - Introducción a los modelos sobre poliedros semi-regulares convexos, o "POLIEDROS ARQUIMEDIANOS". - Estudio preliminar a la construcción de los mismos. - Definiciones. - Propiedades. - Procesos de obtención de los mismos, derivándolos de los cinco poliedros regulares convexos, representados en las Láminas 1 a 5.

1) GENERALIDADES

En el estudio del modelo M-1.1, hemos definido los poliedros convexos en general; sus elementos componentes, y los conceptos de poliedros convexos o cóncavos.

También hemos estudiado y definido los poliedros convexos regulares de los cinco únicos existentes, así como las propiedades de los mismos.

En el estudio del modelo M-48.1, también hemos estudiado y definido los poliedros cóncavos regulares y estudiado de los cuatro únicos existentes, así como las propiedades de ellos.

En este estudio previo al modelo M-39.5 definiremos y estudiaremos los denominados poliedros semi-regulares convexos, o también POLIEDROS ARQUIMEDIANOS.

2) DEFINICIONES DE LOS POLIEDROS ARQUIMEDIANOS



Los poliedros arquimedianos denominados también poliedros semi-regulares, son poliedros convexos, cuyas caras laterales son polígonos regulares convexos (pero no del mismo número de lados), y sus ángulos sólidos son todos iguales o simétricos, concurrendo en cada vértice un cierto número de caras, dispuestas en un cierto orden cíclico.

Las caras son tan sólo de dos o tres tipos, y los ángulos sólidos son o triedros, o tetraedros o pentaedros.

Los poliedros arquimedianos, han sido estudiados en los ejercicios G.E. n°.... Láminas 33 a 47. La posibilidad de su existencia se analiza partiendo de los ángulos sólidos que se pueden formar acoplando polígonos regulares convexos alrededor de un vértice, de modo que la suma de los ángulos internos de los mismos sea inferior a 2π . Por consiguiente las caras sólo pueden ser de dos o tres tipos de polígonos, ya que la suma de ángulos de cuatro tipos distintos de polígonos regulares de " n " lados ($n = 3, 4, 5, 6, 7, \dots$), es mayor de 360° .

3. PROPIEDADES DE LOS POLIEDROS ARQUIMEDIANOS

De acuerdo con la definición de POLIEDRO ARQUIMEDIANO, se deducen las condiciones de existencia y propiedades geométrico-analíticas de estos poliedros, entre las cuales destacamos las siguientes.

3.1 Las aristas de todo arquimедиано, son todas iguales

Calderas

Mayo 1980



enlace a:

- 3.2 El número de sus caras varía desde cinco a infinitas
- 3.3 En todo arquimediano, existe una esfera de radio r_{ec} que contiene todos sus vértices (esfera circumsrita)
- 3.4 En todo arquimediano, existe una esfera de radio r_{eq} que es tangente a todas sus aristas en sus puntos medios, y concéntrica con la definida en 3.3.
- 3.5 En todo arquimediano, existe una esfera de radio " r_{ei} " tangente a todas las caras de igual forma y número de lados (esfera inscrita) y concéntrica con las definidas en 3.3 y 3.4.
- 3.6 En todo arquimediano existirán tantas esferas inscritas, de radios diferentes, como polígonos regulares distintos forman su superficie, todas concéntricas con las definidas en 3.3, 3.4 y 3.5.
- 3.7 En todo arquimediano, el radio de sus esferas inscritas, es máximo en las caras triangulares regulares, y disminuye gradualmente al aumentar el número de lados de las caras poligonales regulares.
- 3.8 Si en una arista de un poliedro arquimediano



concurren dos caras de igual o diferentes tipos, el ángulo diedro formado por ambas, es igual al que forman en otras aristas dos caras de los mismos tipos mencionados anteriormente.

3.9 No todos los diedros de un arquimediano son iguales.

4. CLASIFICACIÓN DE LOS POLIEDROS ARQUIMEDIANOS

Los poliedros arquimedianos, se clasifican en los siguientes grupos:

4.1 GRUPO 1º, formado por trece poliedros individuales, y diferentes, designados como ARQUIMEDIANOS I AL XIII

4.2 GRUPO 2º, formado por infinitos poliedros diferentes que tienen dos caras en forma de polígonos regulares convexos de n lados, y las restantes son triángulos equiláteros. Los poliedros de este grupo se designan como "ANTPRISMAS de la Serie A_n " ($n = 3, 4, 5, \dots, \infty$).

4.3 GRUPO 3º, formado por infinitos poliedros diferentes en forma de prismas rectos regulares, cuyas

bases son polígonos regulares convexos de n lados, y las caras laterales son cuadradas. Los poliedros de este grupo se designan como "PRISMAS de la Serie B_n " ($n = 3, 4, 5, \dots, \infty$).

Los trece arquimedianos del grupo 1º, o ARQUIMEDIANOS I, II, III, ..., XIII, han sido estudiados gráficamente y analíticamente en los ejercicios G.E. nºs. ... Láminas 33 a la 45, y representados en las vistas principal, superior y lateral izquierda, en dichas láminas, a escala 1:1, siendo el radio r_{oc} de su esfera circunscrita en todos ellos, de 55 mm.

Los infinitos arquimedianos del grupo 2º, designados como "Antiprismas A_n ", han sido estudiados en general en el ejercicio "G.E. nº. ... Lámina 46" y representados el caso particular $n = 7$, como ejemplo (los polígonos de sus bases son eptágonos), en sus vistas principal, superior y lateral izquierda, en la mencionada lámina, a escala 1:1, siendo el radio r_{oc} de su esfera circunscrita, de 55 mm.

Los infinitos arquimedianos del grupo 3º, designados como "PRISMAS B_n ", han sido estudiados en general en el ejercicio "G.E. nº. ... Lámina 47" y representados el caso particular $n = 9$, como ejemplo (los polígonos de sus bases son eneágonos), en sus vistas principal, superior y lateral izquierda, en la mencionada lámina, a escala 1:1,

Alvarez Mayo 1980



siendo el radio r_0 de su esfera circunscrita, de 55 mm.

5. PROCESOS DE OBTENCIÓN DE LOS ARQUIMEDIANOS

Los trece arquimedianos del Grupo 1º; el A_3 del Grupo 2º y el B_4 del Grupo 3º, pueden derivarse por procesos diferentes, de los cinco poliedros regulares convexos (Tetraedro, Hexaedro, Octaedro, Dodecaedro e Icosaedro), lo cual no sucede con los infinitos restantes de los Grupos 2º y 3º.

Los procesos de obtención, aplicables a los cinco poliedros regulares convexos, los enumeramos a continuación, y estudiaremos y utilizaremos sistemáticamente. Éstos son los siguientes:

- 5.1 Por truncadura de vértices del poliedro generador (poliedro regular convexo P_n ; ($n = 4, 6, 8, 12$ ó 20))
- 5.2 Por truncadura paralela de aristas del poliedro generador, seguido de truncadura de vértices del mismo (o viceversa)
- 5.3 Por truncadura oblicua de aristas del poliedro generador, seguido por truncadura de vértices del mismo (o viceversa)



5.4 Por intersección de dos poliedros regulares conjugados:
(tetraedro-tetraedro; octaedro octaedro; y dodecaedro-
-icosaedro).

En todos los modelos que estudiaremos posteriormente para la realización de los Arquimedianos, derivados de los cinco poliedros regulares convexos, por lo proceso anteriores, tomaremos como base de cálculo y dato inicial, el del radio " r_{ec}^n " de la esfera circunscrita al poliedro generador, haciendo $r_{ec}^n = 110 \text{ mm}$ para $n = 4, 6, 8, 12$ y 20 . Este radio será también el de la esfera circunscrita al Arquimedianos, cuando se proyecte el modelo del mismo, directamente.



EN PROYECTO

MODELO CORPÓREO DEL POLIEDRO CON-
 VEXO DE CARAS MACIZAS, "ADQUI-
 MEDIANO VII", FORMADO POR CUA-
 TRO CARAS TRIANGULARES REGULA-
 RES (C_3), Y CUATRO CARAS EXA-
 GONALES REGULARES (C_6), CON CURRIEN-
 DO EN CADA VÉRTICE $1 C_3 + 2 C_6$.

Radio de su esfera circunscrita:

$$r' = 110 \text{ m m.}$$

ENUNCIADO: Construir el modelo corpóreo del poliedro convexo de caras mixtas, "Arquimediano VII", formado por cuatro caras triangulares regulares (C_3) y cuatro caras hexagonales regulares (C_6), concurrendo en cada vértice $1C_3 + 2C_6$.

Este poliedro, ha sido estudiado analíticamente en el ejercicio G. E. n° 1.- Lámina 39, y representado en sus vistas principal, superior y lateral izquierda en la mencionada Lámina 39, a escala 1:1, con el radio r_{ec}^{VII} de su esfera circunscrita de $r_{ec}^{III} = 55 \text{ mm}$.

DATO ÚNICO DE ESTE EJERCICIO: Radio de la esfera circunscrita

$$r_{ec}^{VII} = 110 \text{ mm}$$

Las características geométricas del Arquimediano VII, son las siguientes:

Número de caras triangulares — $C_3 = 4$

Número de caras hexagonales — $C_6 = 4$

Número de vértices — $V = 12$

Número de aristas — $A = 18$

Número de caras de un ángulo sólido: $1C_3 + 2C_6$



Para poder obtener el desarrollo de este poliedro, calculemos previamente la longitud de la arista a^{VII} del mismo, en función del radio r_{ec}^{VII} de su esfera circunscrita. Para ello utilizaremos la fórmula

$$r_{ec}^{VII} = \frac{\sqrt{22}}{4} a^{VII} \quad (1)$$

deducida en el mencionado ejercicio G.E. n.º. - Lám 39, que nos da el valor del radio r_{ec}^{VII} en función de a^{VII} . Despejando en (1) a^{VII} , tendremos:

$$a^{VII} = \left[1 : \frac{\sqrt{22}}{4} \right] r_{ec}^{VII} = \frac{4}{\sqrt{22}} \times r_{ec}^{VII} = \sqrt{\frac{16}{22}} r_{ec}^{VII} = \sqrt{\frac{8}{11}} r_{ec}^{VII} \approx$$

$$\approx 0.852802865... r_{ec}^{VII} \text{ de donde se obtiene finalmente}$$

$$a^{VII} = \sqrt{\frac{8}{11}} r_{ec}^{VII} \quad (2)$$

Fórmula que, aplicada al caso estudiado, nos da

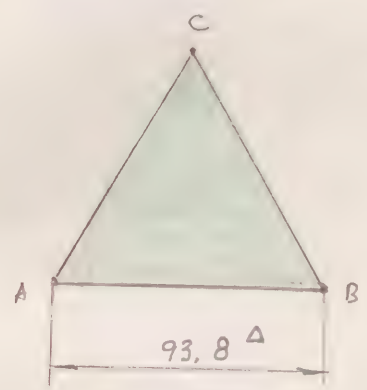
$$a^{VII} \approx \sqrt{\frac{8}{11}} r_{ec}^{VII} \approx 0.852802865... \times 110 = 93.8 \text{ mm}$$

Para la construcción de este poliedro son necesarias las siguientes piezas:

PIEZA N° 1 CARAS LATERALES TRIANGULARES, REGULARES

4 unidades

La forma y dimensiones se detallan en la figura 1



PIEZA N° 1

4 (u)

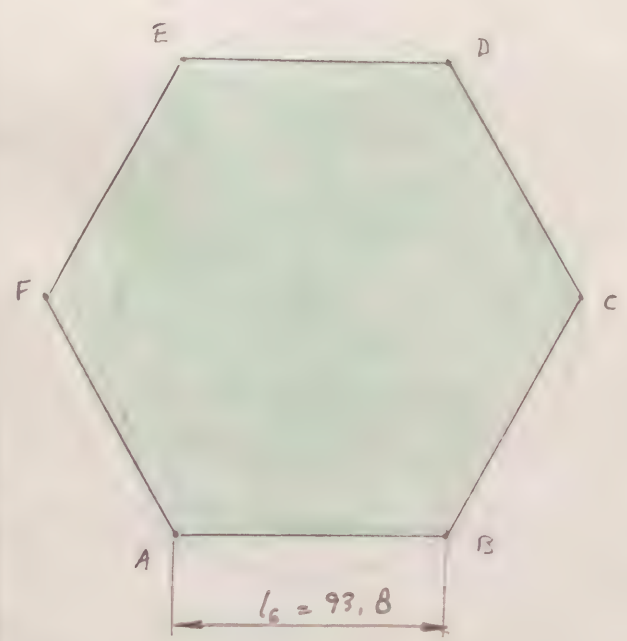
Figura 1

Figura 1

PIEZA N° 2 CARAS LATERALES EXAGONALES, REGULARES

4 unidades

La forma y dimensiones se detallan en la figura 2



PIEZA N° 2

4 (u)

Figura 2

Figura 2

PIEZA N° 3

REFUERZO NORMAL INTERIOR DE LAS CARAS TRIANGULARES REGULARES 4 unidades

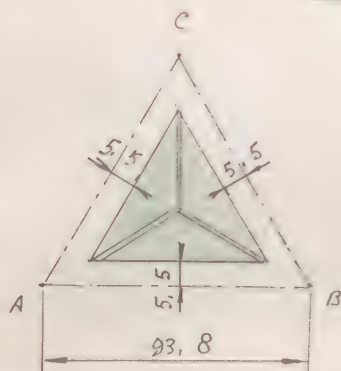


Figura 3

La forma y dimensiones se deducen de las del triángulo ABC de la figura 1, y se detallan en la figura 2.

PIEZA N° 3

4 (u)

Figura 3

PIEZA N° 4

REFUERZO NORMAL INTERIOR DE LAS CARAS HEXAGONALES REGULARES 4 unidades

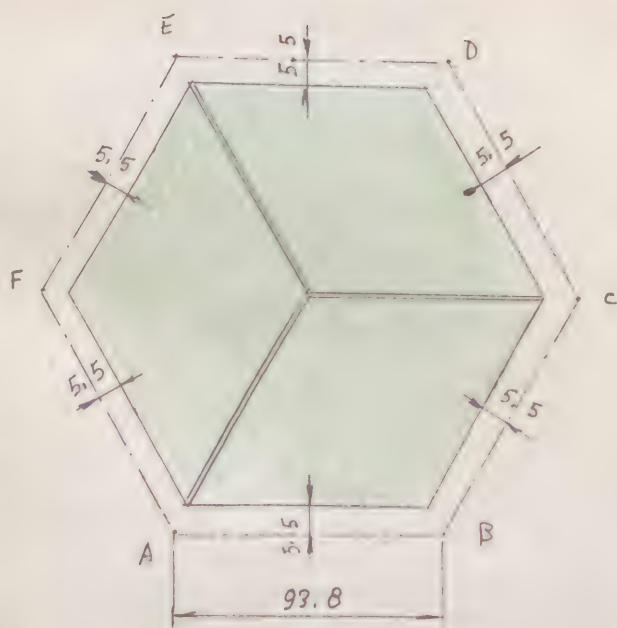


Figura 4

La forma y dimensiones se deducen de las del octágono regular convexo A, B, ..., E, F, de la figura 2, y se detallan en la figura 4.

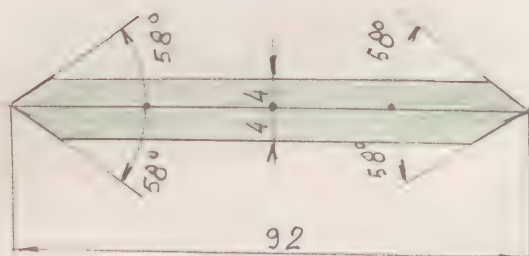
PIEZA N° 4

4 (u)

Figura 4

PIEZA N° 5 UNIONES ARISTAS EN DOS CARAS EXAGONALES
CONTIGUAS 6 unidades

La forma y dimensiones se detallan en la figura 5



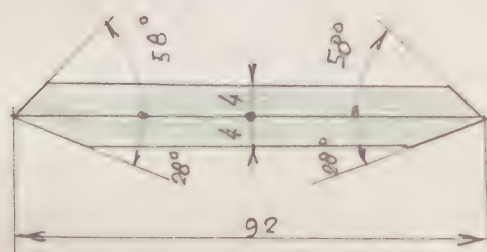
PIEZA N° 5 6(u)

Figura 5

Figura 5

PIEZA N° 6 UNIONES ARISTAS DE UNA CARA TRIANGULAR
CON OTRA EXAGONAL CONTIGUAS 12 unidades

La forma y dimensiones se detallan en la figura 6



PIEZA N° 6 12(u)

Figura 6

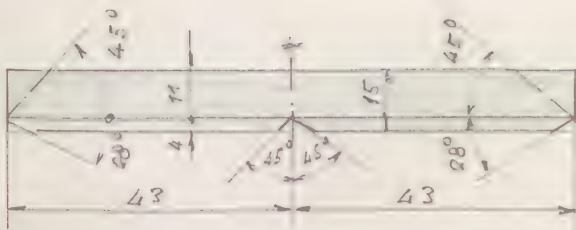
Figura 6

PIEZA N° 7 REFUERZO TRANSVERSAL INTERIOR DE LAS
CARAS TRIANGULARES REGULARES

12 unidades

La forma y dimensiones se detallan en la figura 7; en colocación en la figura 3.





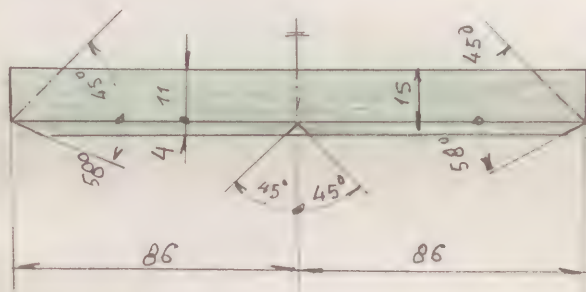
PIEZA N° 7 12 (u)

Figura 7

Figura 7

PIEZA N° 8 REFUERZO TRANSVERSAL INTERIOR DE LAS
CARAS EXAGONALES REGULARES. 12 unidades

La forma y dimensiones se detallan en la figura 8;
su colocación en la figura 4

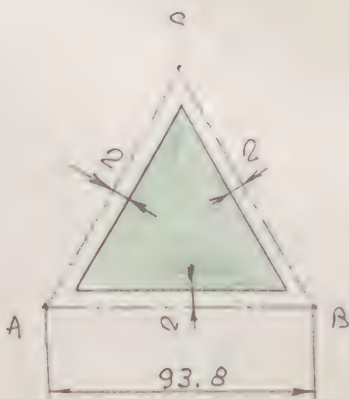


PIEZA N° 8 12 (u)

Figura 8

Figura 8

PIEZA N° 9 FORRO COLOREADO EN CARAS TRIANGULA-
RES, REGULARES 4 unidades



La forma y dimensiones se deducen
de las del triángulo ABC de la figura 1
y se detallan en la figura 9.

PIEZA N° 9 4 (u)

Figura 9

Figura 9

PIEZA N° 9 FORRO COLOREADO EN CARAS EXAGONALES
REGULARES 4 unidades

La forma y dimensiones se deducen de las del exágonos regulares converso A,B,C... EF. de la figura 2, y se detallan en la figura 10.

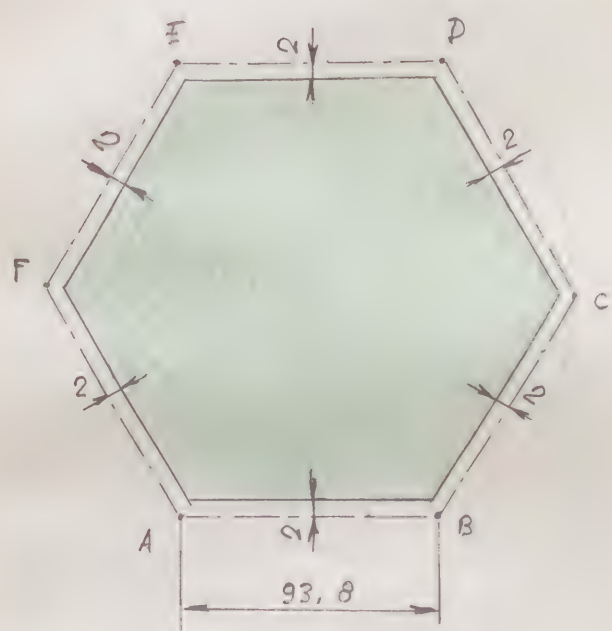


Figura 10

PIEZA N° 9

4(u)

Figura 10

EN PROYECTO

MODELO CORPÓREO DEL POLIEDRO

CONVEXO DE CARAS VACIADAS,

"ARQUIMEDIANO VII," FORMADO

POR CUATRO CARAS TRIANGULARES

REGULARES (C_3), Y CUATRO CARAS

EXAGONALES, REGULARES (C_6), CON -

CURRIENDO EN CADA VÉRTICE $1C_3 + 2C_6$

Radio de su esfera circunscrita:

$$r' = 110 \text{ mm.}$$

ENUNCIADO: Construir el modelo corpóreo del poliedro convexo de caras vaciadas, ARQUIMEDIANO VII, formado por cuatro caras triangulares regulares (C_3), y cuatro caras hexagonales, regulares (C_6), concurrendo en cada vértice $1 C_3 + 2 C_6$.

Este modelo, puede considerarse como una variante del M-39.1, de igual forma y dimensiones, pero con sus caras vaciadas.

Las propiedades de este poliedro, así como sus dimensiones, son las enunciadas y calculadas en el mencionado modelo M. 39.1

DATO ÚNICO DE ESTE EJERCICIO: r_{ec}^{VII} = radio de la esfera circunscrita:

$$r_{ec}^{VII} = 110 \text{ mm}$$

Para la construcción de este poliedro son necesarias las siguientes piezas:

<u>PIEZA N° 1</u>	<u>CARAS LATERALES, TRIANGULARES, REGULARES</u>	<u>4 unidades</u>
-------------------	---	-------------------

La forma y dimensiones se detallan en la figura 1



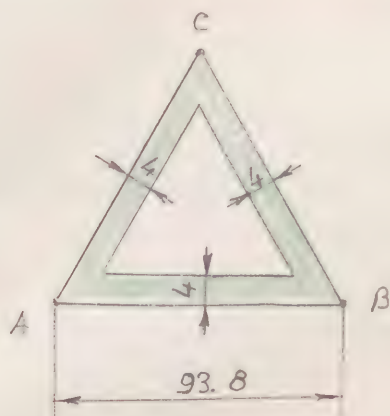


Figura 1

PIEZA N° 14 (u)

Figura 1

PIEZA N° 2 CARAS LATERALES EXAGONALES, REGULARES.4 unidades

La forma y dimensiones se detallan en la figura 2

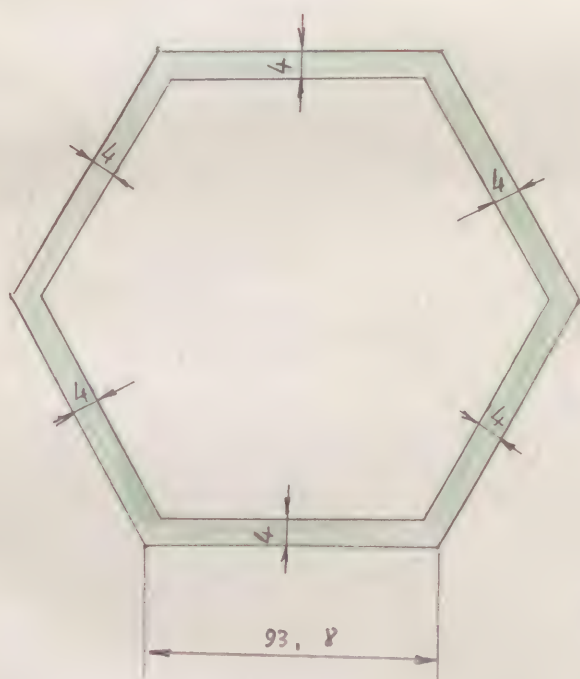


Figura 2

PIEZA N° 24 (u)

Figura 2

PIEZA N° 3 UNIONES ARISTAS EN DOS CARAS EXAGONALES CONTINUAS.6 unidades

La forma y dimensiones se detallan en la figura 3

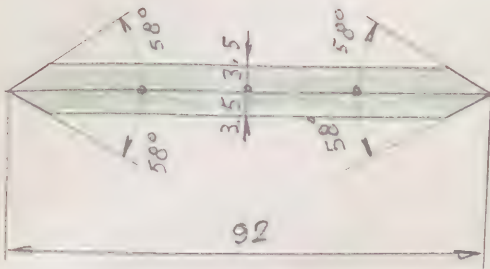


Figura 3

PIEZA N° 3 6 (u)

Figura 3

PIEZA N° 4 UNIONES ARISTAS DE UNA CARA TRIANGULAR
CON OTRA EXAGONAL CONTIGUA

12 unidades

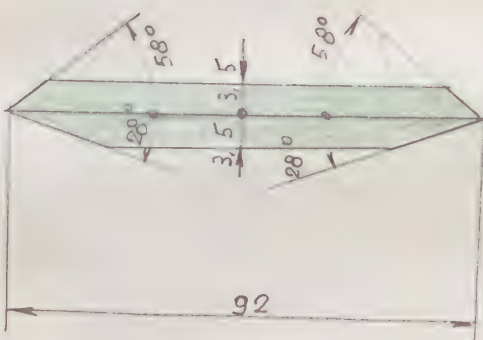


Figura 4

PIEZA N° 4 12 (u)

Figura 4

ESFERA 30

VARIANTE DEL MODELO M-39.1 ,
DE IGUAL FORMA QUE ÉSTE, SIEN-
DO MÁS PEQUEÑO EL RADIO DE SU
ESFERA CIRCUNSCRITA.

Radio de la esfera circunscrita:

$$r' = 76.1 \text{ mm}$$

ENUNCIADO:

Construir el modelo corpóreo del poliedro convexo de caras planas "ARQUIMEDIANO VII", formado por cuatro caras triangulares regulares (C_3) y cuatro caras hexagonales regulares (C_6), concu-
rriendo en cada vértice $1C_3 + 2C_6$.

Este modelo puede considerarse como una variante del modelo M-39.1 de igual forma, siendo menor el radio de su esfera circunscrita. ($r_{ec} = 76.1 \text{ mm}$).

Para obtener el dibujo de este modelo, utilizaremos el mismo estudio analítico hecho en el del modelo M-39.1, determinando previamente el coeficiente "k" de reducción, $k = 76.1 : 110$, o relación entre los radios correspondientes de sus respectivas esferas circunscritas.

DATO ÚNICO DEL EJERCICIO

$$r_{ec}^{\text{VII}} = 76.1 \text{ mm}$$

COEFICIENTE DE REDUCCIÓN

$$k = \frac{76.1}{110} = 0.6918$$

A continuación presentamos diversas tablas de longitudes, y ángulos, cuyas dimensiones han sido acortadas en las distintas figuras del modelo M-39.1, y de los valores correspondientes a aplicar en la construcción de este nuevo modelo M-39.3, en el que son necesarias las siguientes piezas:

PIEZA N° 1 CARAS LATERALES TRIANGULARES, REGULARES. 4 unidades

La figura 1, ha de construirse con las siguientes cotas modificadas:

<u>FIGURA 1</u>	Longitudes m m	Cotas modificadas m m
PIEZA N° 1 4 (u)	93,8	64,9

PIEZA N° 2 CARAS LATERALES EXAGONALES, REGULARES 4 unidades

La figura 2, ha de construirse con las siguientes cotas modificadas:

<u>FIGURA 2</u>	Longitudes m m	Cotas modificadas m m
PIEZA N° 2 4 (u)	93,8	64,9

PIEZA N° 3 REFUERZO NORMAL INTERIOR DE LAS CARAS
TRIANGULARES 4 unidades

La figura 3 ha de construirse con las siguientes cotas modificadas:

<u>FIGURA 3</u>	Longitudes m m	Cotas modificadas m m
<u>PIEZA N° 3</u>	93.8	64.9
4(u)	5.5	5

PIEZA N° 4 REFUERZO NORMAL INTERIOR DE LAS CARAS
EXAGONALES, REGULARES 8 unidades

La figura 4, ha de construirse con las siguientes cotas modificadas:

<u>FIGURA 4</u>	Longitudes m m	Cotas modificadas m m
<u>PIEZA N° 4</u>	93.8	64.9
4(u)	5.5	5

PIEZA N° 5 UNIONES ARISTAS EN DOS CARAS EXAGONALES
CONTIGUAS 6 unidades

La figura 5, ha de construirse con las siguientes cotas modificadas:

FIGURA 5	Longitudes m m	Cotas modificadas m m
PIEZA N° 5 6(u)	92	63
	4	4
	58°	58°

PIEZA N° 5 UNIONES ARISTAS DE UNA CARA TRIANGULAR
CON OTRA EXAGONAL CONTIGUAS.- 12 unidades.

La figura 6, ha de construirse con las siguientes co-
tas modificadas:

FIGURA 6	Longitudes m m	Cotas modificadas m m
PIEZA N° 6 12 (u)	92	63
	4	4
	28°	28°
	58°	58°

PIEZA N° 7 REFUERZO TRANSVERSAS INTERIOR DE LAS CA-
RAS TRIANGULARES REGULARES 8 unidades

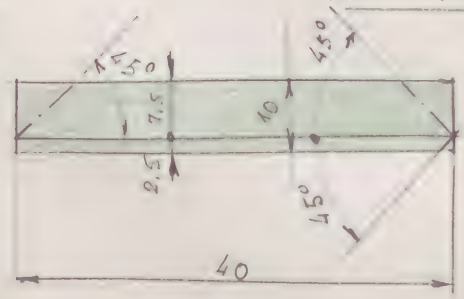


Figura 7

La forma y dimensiones se de-
tallan en esta figura 7, que sustituye a la del mismo número del
modelo M-39.1.- La colocación será en
dirección de la altura del triángulo equilátero

PIEZA N° 7 8(u) (Figura 7).



PIEZA N° 8 REFUERZO TRANSVERSAL INTERIOR DE LAS CA-
RAS EXAGONALES REGULARES 12 unidades

La figura 8, ha de construirse con las siguientes cotas modificadas:

<u>FIGURA 8</u>	Longitudes m m	Cotas modificadas m m
<u>PIEZA N° 8</u> 12 (u)	86	59
	4	2,5
	11	7,5
	15	10
	58°	58°
	45°	45°

PIEZA N° 9 FORRO COLOREADO EN CARAS TRIANGULARES
REGULARES 4 unidades

La figura 9, ha de construirse con las siguientes cotas modificadas:

<u>FIGURA 9</u>	Longitudes m m	Cotas modificadas m m
<u>PIEZA N° 9</u> 4 (u)	93,8	64,9
	2	2

PIEZA N° 10 FORRO COLOREADO EN CARAS EXAGONALES
REGULARES 4 unidades

La figura 10, ha de construirse con las siguientes cotas modificadas, iguales a las del cuadro de la pieza n° 9.

Edwards

Abril 1980

ESFERA

VARIANTE DEL MODELO M-39.2,
DE IGUAL FORMA QUE ÉSTE, SIEN-
DO DE MENOR LONGITUD EL RADIO
DE SU ESFERA CIRCUNSCRITA.

Radio de la esfera circunscrita:

$$r' = 76.1 \text{ m m}$$



ENUNCIADO: Construir el modelo corpóreo del poliedro con-
vexo de caras variadas "ARQUIMEDIANO VII",
formado por cuatro caras triangulares regula-
res (C_3) y cuatro caras hexagonales, regulares,
(C_6), concurriendo en cada vértice $1C_3 + 2C_6$

Este modelo puede considerarse como una variante del
modelo M-39.2, de igual forma y siendo menor el ra-
dio de su esfera circunscrita ($r_{ec} = 76,1 \text{ mm}$).

A continuación presentamos diversas tablas de longitudes
y ángulos, cuyas dimensiones han sido reseñadas en
las distintas figuras del modelo M-39.2, en el que
son necesarias las siguientes piezas:

PIEZA N° 1 CARAS LATERALES TRIANGULARES REGULARES
4 unidades

La figura 1, ha de construirse con las siguientes cotas
modificadas:

<u>FIGURA 1</u>	Longitudes mm	Cotas modificadas mm
<u>PIEZA N° 1</u>	93,8	64,9
$L_1(1)$	4	3,5



PIEZA N° 2 CARAS LATERALES EXAGONALES, REGULARES
4 unidades

La figura 2, ha de construirse con las siguientes co-
tas modificadas:

<u>FIGURA 2</u>	Longitudes mm	Cotas modificadas mm
<u>PIEZA N° 2</u>	93.8	64.9
4 (4)	4	3.5

PIEZA N° 3 UNIONES ARISTAS EN DOS CARAS EXAGONA-
LES, CONTIGUAS 6 unidades

La figura 3, ha de construirse con las siguientes co-
tas modificadas:

<u>FIGURA 3</u>	Longitudes mm	Cotas modificadas mm
<u>PIEZA N° 3</u>	92	63
6 (4)	4	3.5
	58°	58°

PIEZA N° 4 UNIONES ARISTAS DE UNA CARA TRIANGULAR
CON OTRA EXAGONAL CONTIGUA.- 12 unidades

La figura 4, ha de construirse con las siguientes cotas modificadas:

<u>FIGURA 4</u>	Longitudes m m	Cotas modificadas m m
	92	63
<u>PIEZA N° 4</u>	4	3,5
12 (u)	28°	28°
	58°	58°

INTRODUCCIÓN A LOS MODELOS SOBRE

POLIEDROS SEMI-REGULARES CONVEXOS, O

"POLIEDROS ARQUIMEDIANOS"

ESTUDIO PREVIO A LA CONSTRUCCIÓN DE

LOS MISMOS.- PROCESO DE TRUNCADURA

DE VÉRTICES EN LOS POLIEDROS REGULA-

RES CONVEXOS REPRESENTADOS EN LAS

LÁMINAS 1 a 5.

ENUNCIADO: Estudio previo a la construcción de los poliedros Arquimedianos.- Proceso de obtención por el procedimiento de TRUNCADURA DE VÉRTICES de los poliedros regulares convexos.

1. GENERALIDADES

En la introducción al modelo M-39.1, en su párrafo 5. exponíamos que los trece Arquimedianos del Grupo 1°; el A_3 del Grupo 2° (octaedro regular convexo) y el B_4 del Grupo 3° (octaedro regular convexo) pueden derivarse por varios procesos, de los cinco poliedros regulares convexos.

Entre ellos, estudiamos y aplicamos en este ejercicio, el denominado "TRUNCADURA DE VÉRTICES" de los poliedros regulares convexos o poliedros generadores.

2. DEFINICIONES

La operación geométrica denominada "TRUNCADURA DE VÉRTICES" de un poliedro regular convexo, consiste en cortar todos los ángulos sólidos de sus vértices, por planos perpendiculares a los radios que unen dichos vértices con el centro O de su esfera circunscrita.

Estos planos secantes, dan lugar a la formación, en los ángulos sólidos, de polígonos planos que quedarían visibles, si

imaginamos retiradas las zonas truncadas del poliedro generador comprendidas en el semiespacio del plano secante que contiene al vértice correspondiente.

Igualmente, los mencionados planos secantes, producen en las caras del poliedro generador otros nuevos polígonos planos situados en dichas caras con un contorno que se destaca claramente al retirar imaginaria o materialmente las mencionadas zonas truncadas del poliedro generador.

Las dos clases de polígonos planos definidas anteriormente, que se producen en el poliedro generador por el proceso de "truncadura de vértices" pueden considerarse como caras superficiales del poliedro resultante al retirar las zonas truncadas de los vértices en el poliedro generador.

Este poliedro resultante lo denominaremos en lo sucesivo como poliedro núcleo del poliedro generador después de realizada la truncadura de los vértices del mismo.

Las propiedades y forma de este poliedro núcleo dependen de la posición del plano secante con respecto al poliedro generador y también de la clase de éste.

Éste será el objeto principal del estudio general del proceso de TRUNCADURA DE VÉRTICES de un poliedro



regular convexo.

3. TRUNCADURA DE VÉRTICES DEL TETRAEDRO REGULAR CONVEXO

Consideremos (figura 1) un tetraedro regular convexo

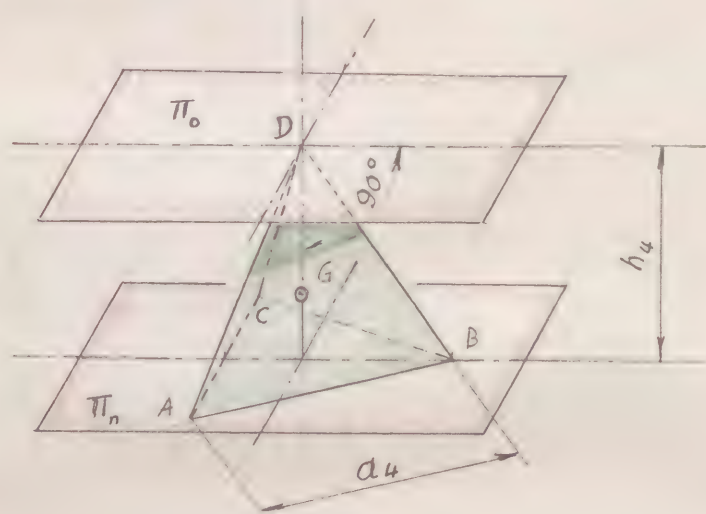


Figura 1

de vértices ABCD, siendo G el centro de una esfera circunscrita (centro de gravedad del tetraedro).

Unamos G con el vértice D, y tracemos por D el plano π_0 , perpendicular a la recta \underline{GD} , o radio de la esfera circunscrita

que pasa por \underline{D} .

Imaginemos ahora que el plano π_0 se mueva paralelamente a sí mismo en la dirección \underline{DG} , hasta alcanzar la posición límite π_n , coincidente con el plano de la cara rec, opuesta al vértice considerado \underline{D}

En las sucesivas posiciones el plano móvil π_0 irá produciendo una truncadura de vértices en el vértice considerado \underline{D} , que completada con las de los vértices restantes del tetraedro generador nos formará en cada momento un poliedro cuideado variable, cuya forma y dimensiones dependen de la posición del



plano secante. Para fijar la posición de éste, consideremos que el mismo, corta a las tres caras del ángulo sólido concurrentes en D según rectas que forman un triángulo cuyos vértices son los puntos de intersección de las aristas del ángulo sólido con el plano secante. Dicho triángulo es equilátero, por ser sus vértices equidistantes de el vértice del ángulo sólido D considerado.

Los tres segmentos rectilíneos o distancias "x" entre los vértices del triángulo sección y el vértice D del ángulo sólido en que se produce la truncadura, fijan la posición del plano secante con respecto al tetraedro generador, en dicho vértice.

El poliedro núcleo resultante de la truncadura de los cuatro vértices del tetraedro generador a la misma distancia "x" tiene la forma y dimensiones que analizamos a continuación:

3.1 1ª Posición

POLIEDRO NÚCLEO RESULTANTE DE LA TRUNCADURA DE
TODOS LOS VÉRTICES DE UN TETRAEDRO REGULAR CON-
VEXO A LA DISTANCIA

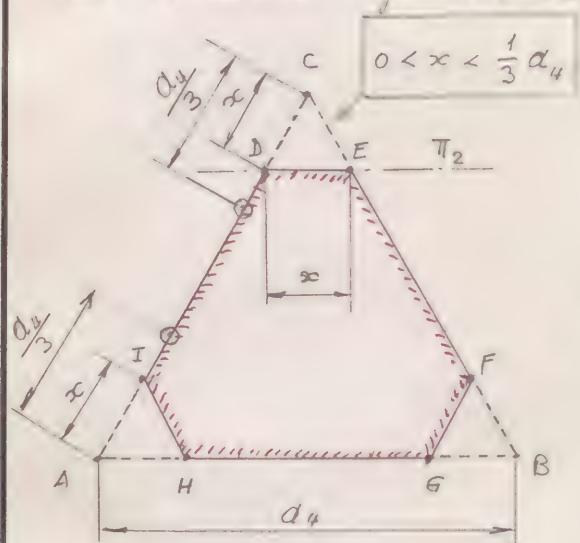
$$0 < x < \frac{1}{3} a_u$$

(1)

Teniendo en cuenta las consideraciones expuestas en el



párrafo 2., el plano secante da lugar a la formación, en los ángulos sólidos, de triángulos equiláteros de lado " x " ($0 < x < \frac{1}{3}a_4$), y en las caras ABC (fig. 2) del tetraedro generador de arista a_4 , se formará un exá-



gono DEF GHI. Se demuestra fácilmente que este exágono es equiángulo (ángulo de 120°) y de lados alternativamente iguales

$$\overline{DE} = \overline{FG} = \overline{IH} = x$$

$$\text{y } \overline{EF} = \overline{GH} = \overline{ID} = a_4 - 2x$$

Figura 2

siendo los primeros menores que los segundos. (exágonos no equiláteros y por tanto no regulares)

Como consecuencia de lo expuesto anteriormente, se deduce que el poliedro núcleo resultante, será un poliedro irregular convexo de las siguientes características:

- 1) Cuatro caras triangulares equiláteras de lado $l_3 = x$, obtenidas sobre el plano secante en la truncadura de los cuatro ángulos sólidos del tetraedro generador.
- 2) Cuatro caras exagonales equiángulas DEF GHI (fig. 2) sobre las caras del tetraedro generador, de lados $\overline{DE} = \overline{FG} = \overline{HI} = x$ y $\overline{EF} = \overline{GH} = \overline{ID} = a_4 - 2x$.
- 3) Número de vértices = $\frac{4 \times 6 + 4 \times 3}{3} = 12$ vértices
- 4) Número de aristas = $\frac{4 \times 6 + 4 \times 3}{2} = 18$ aristas

Como resumen de lo expuesto en el párrafo 3.1, tenemos:

RESUMEN

El poliedro mides resultante de la truncadura de todos los vértices de un tetraedro regular convexo a la distancia

$$0 < x < \frac{1}{3} a_4 \quad 1^a \text{ POSICIÓN}$$

es un poliedro irregular convexo de las siguientes características:

1) Número de caras triangulares regulares = 4

2) Número de caras exagonales equiángulas = 4

Total caras = 8

3) Número de vértices $V = 12$

4) Número de aristas $A = 18$

MODELO DE ESTA PRIMERA POSICIÓN:

EN PROYECTO



3.22° Posición

POLIEDRO NÚCLEO RESULTANTE DE LA TRUNCADURA DE
TODOS LOS VÉRTICES DE UN TETRAEDRO REGULAR CON-
VEXO A LA DISTANCIA

$$x = \frac{1}{3} d_4 \quad (2)$$

Continuemos el estudio de la truncadura de vértices del tetraedro regular convexo, iniciados en los párrafos 3. y 3.1, cuando el plano secante pasa de la 1° posición a esta 2° en la que $x = \frac{1}{3} d_4$

Refiriéndonos a la figura 2, vemos que al aumentar la distancia x , se conservan todas las características del poliedro irregular convexo del núcleo, pero que al mismo tiempo van aumentando de forma continuada las longitudes de los lados menores \overline{DE} , \overline{EF} e \overline{IH} del exágono equiángulo, y disminuyendo las longitudes de sus lados mayores.

Aquí pues, existirá una posición tal en que se igualen ambas magnitudes, y el exágono será también equi-

$$\left. \begin{aligned} \overline{DE} &= \overline{EF} = \overline{IH} = x, \\ \overline{EF} &= \overline{GH} = \overline{ID} = d_4 - 2x \end{aligned} \right\} \text{ Pero siendo}$$

esto ocurrirá cuando sea $x = d_4 - 2x$; de donde



$$d_4 = x + 2x = 3x$$

de aquí:

$$x = \frac{1}{3} d_4$$

Así pues, la truncadura de vértices del tetraedro regular convexo a la distancia $x = \frac{1}{3} d_4$ produce en las caras del tetraedro generada, exágonos regulares convexos, DEFGHI. (figura 3) de lado $x = \frac{1}{3} d_4$

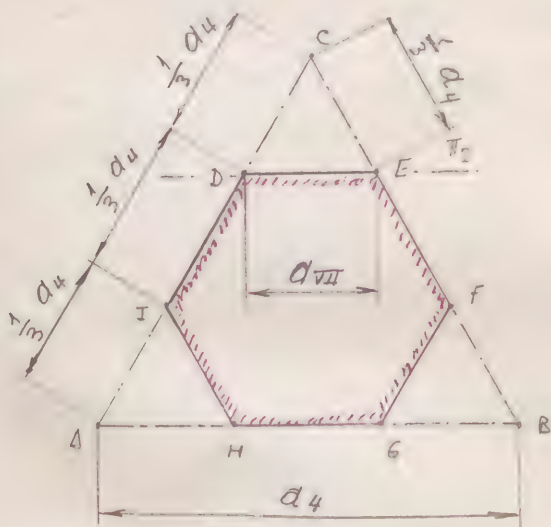


FIGURA 3

También los planos secantes de dichas truncaduras producen en los ángulos sólidos, triángulos equiláteros de igual lado $x = \frac{1}{3} d_4$

Por consiguiente, el poliedro resultante, será un poliedro convexo de las siguientes características:

- 1) Cuatro caras equiláteras triangulares de lado $l_3 = x = \frac{1}{3} d_4$
- 2) Cuatro caras exagonales regulares convexas de igual lado $l_6 = x = \frac{d_4}{3}$
- 3) Doce vértices $V = 12$
- 4) Diez y ocho aristas $A = 18$
- 5) En cada vértice concurren $1 C_3 + 2 C_6$

Estas características son las mismas que las del ARQUIMEDIANO VII (ver modelo M-39.1) siendo la longitud de su arista a_{VII} el segmento $x = \frac{1}{3} a_4$

Como resumen de lo expuesto en el párrafo 3.2, tenemos:

RESUMEN

El poliedro núcleo resultante de la truncadura de todos los vértices de un tetraedro regular convexo, a la distancia

$$x = \frac{a_4}{3} \quad 2^a \text{ posición}$$

es: UN ARQUIMEDIANO VII DE ARISTA $a_{VII} = \frac{1}{3} a_4$

estudiado en el ejercicio G.E. n° ... - Lámina 39.

Con los conceptos desarrollados en este párrafo 3.2 podemos construir el siguiente modelo M-39.5, correspondiente al enunciado explícito del mismo, que detallamos a continuación.



ARQUIMEDIANO

MODELO CORPÓREO DEL "ARQUIMEDIANO VII" OBTENIDO
 POR TRUNCADURA DE VÉRTICES DE UN TETRAEDRO REGU-
 LAR CONVEXO, DE ARISTA " a_4 ", AL TOMAR SOBRE
 CADA ARISTA, Y DESDE SU VÉRTICE, LA DISTANCIA
 $\frac{a_4}{3}$. - EL ARQUIMEDIADO OBTENIDO, SE CONSTRUIRÁ
 CON LAS CARAS MACIZAS, Y EL TETRAEDRO REGU-
 LAR CONVEXO GENERADOR, CON LAS CARAS VACIAS
 EN LOS VÉRTICES TRUNCADOS

Radio de la esfera circunscrita al tetraedro regular
 generador

$$r_{ec}'' = 110 \text{ m m.}$$

ENUNCIADO: Construir el modelo corpóreo del "ARQUIMEDIANO VII" obtenido por truncadura de vértices de un tetraedro regular convexo de arista " a_4 ", a la distancia $x = \frac{a_4}{3}$. - El Arquimediario generado se construirá con las caras macizas, y el tetraedro generador, con las caras vaciadas en los vértices truncados.

DATO ÚNICO DE ESTE EJERCICIO: r_{ec}^4 = radio de la esfera circunscrita al tetraedro regular generador:

$$r_{ec}^4 = 110 \text{ mm}$$

En el resumen del párrafo 3.2 del ESTUDIO PREVIO a la construcción de este modelo M-39.5, por el proceso de TRUNCADURA DE VÉRTICES de un tetraedro regular convexo, obtuvimos la conclusión de que:

"EL ARQUIMEDIANO VII puede ser engendrado por la truncadura de los vértices de un tetraedro regular convexo a la distancia $x = \frac{a_4}{3}$, siendo la arista de dicho Arquimediario, $a_{VII} = x = \frac{a_4}{3}$ "

El enunciado anterior nos permite la construcción del

modelo M-39.5 que estudiamos, cuyo enunciado explícito se incluye al comienzo de este estudio.

Primeramente calcularemos las siguientes magnitudes

1.- Arista " d_4 " del tetraedro generador, en función del radio " r_{ec}^4 " de su esfera circunscrita (dato del ejercicio).

Se deduce de la fórmula $r_{ec}^4 = \frac{\sqrt{6}}{4} d_4$, deducida en el ejercicio G.E. n° ----.- Lámina 1. Despejando en ella d_4 , tendremos:

$$\boxed{d_4} = \frac{\sqrt{6}}{4} : r_{ec}^4 = \frac{4}{\sqrt{6}} \times r_{ec}^4 = \frac{4\sqrt{6}}{6} r_{ec}^4 = \boxed{\frac{2\sqrt{6}}{3} r_{ec}^4} \quad (1)$$

2.- Arista d_{VII} del Arquimediano generado

Del enunciado resumen del párrafo 3.2 del ESTUDIO PREVIO, se deduce:

$$\boxed{d_{VII}} = \frac{d_4}{3} = \frac{2\sqrt{6}}{3} r_{ec}^4 : 3 = \boxed{\frac{2\sqrt{6}}{9} r_{ec}^4} \quad (2)$$

Las fórmulas (1) y (2) nos permitirán calcular las magnitudes necesarias para la construcción de este modelo.

En el caso presente es $r_{ec}^4 = 110 \text{ mm}$, por lo que ten-

diámetro:

$$\boxed{d_u} = \frac{2\sqrt{6}}{3} r_{ec}^4 = 1.53 \ 29 \ 93 \ 16 \ 2 \dots \times 110 \approx \boxed{179.6 \text{ mm}}$$

y también:

$$\boxed{d_{VII}} = \frac{2\sqrt{6}}{9} r_{ec}^4 = 0.54 \ 43 \ 31 \ 05 \ 4 \dots \times 110 \approx \boxed{59.9 \text{ mm}}$$

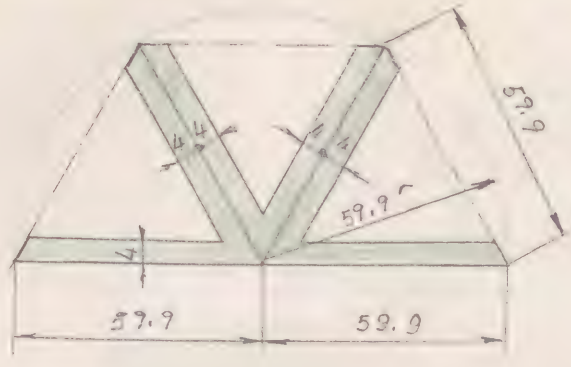
Para la construcción de este modelo, son necesarias las siguientes piezas:

A) TETRAEDRO GENERADOR DE CARGAS VACIADAS

Se reduce a cuatro pirámides triangulares, rectas, regulares, cuyo desarrollo lateral es el siguiente:

PIEZA N° 1 DESARROLLO LATERAL DE LAS CUATRO PIRÁ-
MIDES TRUNCADAS 4 unidades

La forma y dimensiones se detallan en la figura 3

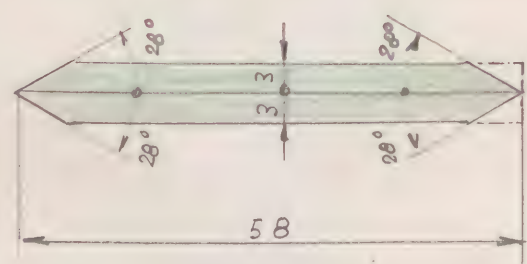


PIEZA N° 1 4 (u)

Figura 3

Figura 3

PIEZA N° 2 UNIONES ADISTAS LATERALES 12 unidades



La forma y dimensiones se detallan en la figura 4

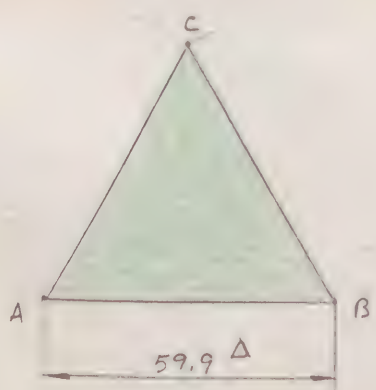
PIEZA N° 2 12 (u)

Figura 4

B) ARQUIMEDIANO VII, ENGENDRADO, DE CARAS MACIZAS

PIEZA N° 3 CARAS SUPERFICIALES, TRIANGULARES, REGULARES 4 unidades

La forma y dimensiones se detallan en la figura 5



PIEZA N° 3 4 (u)

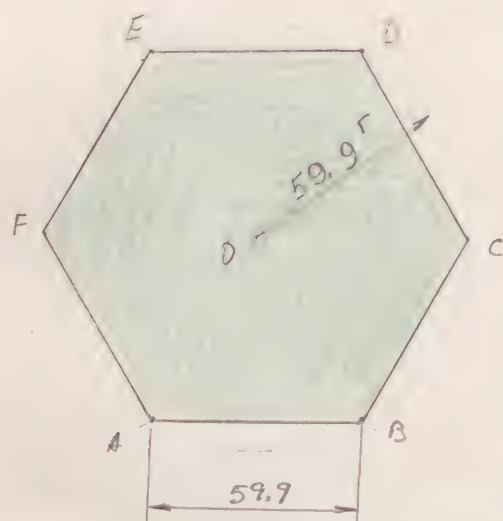
Figura 5

Figura 5

PIEZA N° 4 CARAS SUPERFICIALES, EXAGONALES, REGULARES,

4 unidades

La forma y dimensiones se detallan en la figura 6



PIEZA N° 4

4 unidades

Figura 6

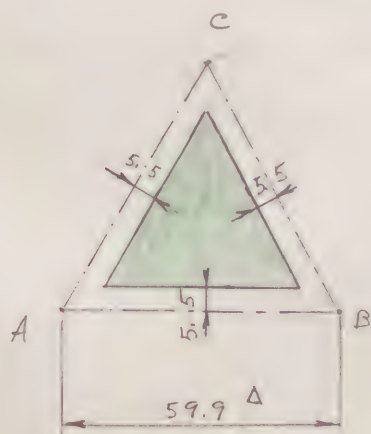
Figura 6

PIEZA N° 5 REFUERZO NORMAL EN CARAS SUPERFICIALES,

TRIANGULARES REGULARES

4 unidades

La forma y dimensiones se deducen de los del triángulo ABC de la figura 5, y se detallan en la figura 7



PIEZA N° 5

4 (u)

Figura 7

Figura 7

PIEZA N° 6 REFUERZO NORMAL EN CARAS SUPERFICIALES,

EXAGONALES REGULARES4 unidades

La forma y dimensiones se deducen de las del hexágono regular ABCDEF de la figura 6, y se detallan en la fig. 8

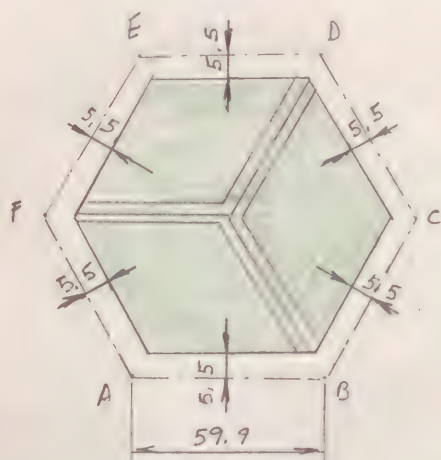


Figura 8

PIEZA Nº 6 4 (u)

Figura 8

PIEZA Nº 7 REFUERZO TRANSVERSAL EN CARAS SUPERFICIALES, EXAGONALES, REGULARES 12 unidades

La forma y dimensiones se detallan en la figura 9.

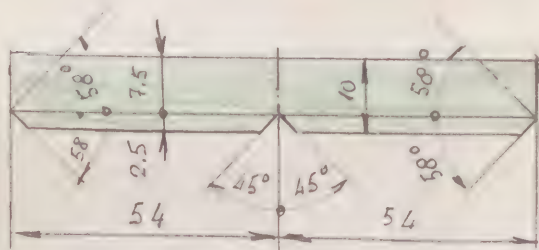


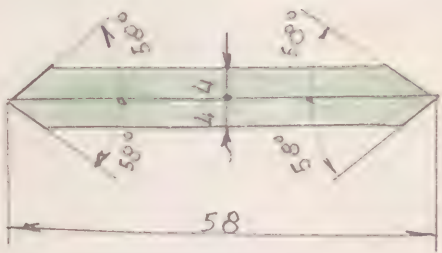
Figura 9

PIEZA Nº 7 12 (u)

Figura 9

PIEZA Nº 8 UNIONES ARISTAS EN CARAS EXAGONALES CONTIGUAS 6 unidades

La forma y dimensiones se detallan en la figura 10



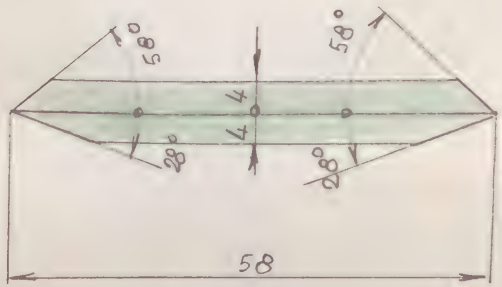
PIEZA N° 8 6 (u)

Figura 10

Figura 10

PIEZA N° 9 UNIONES ARISTAS DE UNA CARA TRIANGULAR CON
OTRA EXAGONAL CONTIGUAS 12 unidades

La forma y dimensiones se detallan en la figura 11



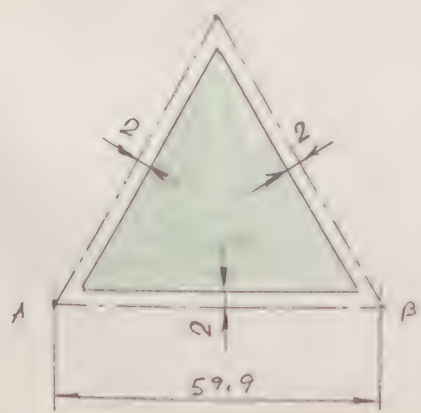
PIEZA N° 9 12 (u)

Figura 11

Figura 11

PIEZA N° 10 FORRO COLOREADO EN CARAS TRIANGULARES,
REGULARES 4 unidades

La forma y dimensiones se deducen de los del triángulo ABC de la figura 5, y se detallan en la figura 12



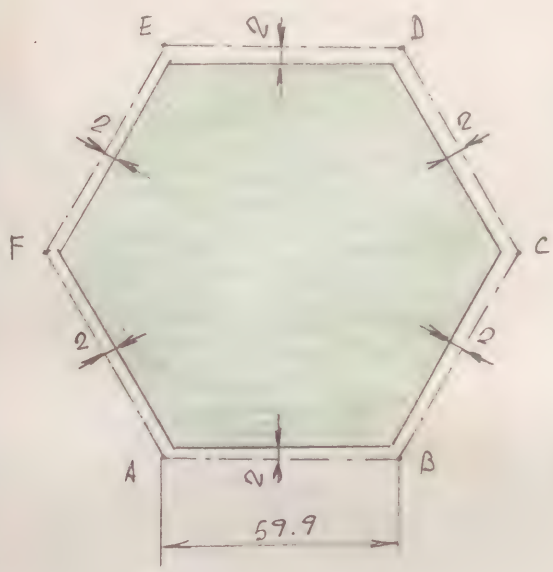
PIEZA N° 10 4 (u)

Figura 12

Figura 12

PIEZA N° 11 FORRO COLOREADO EN CADA EXAGONALES, DE-
GULARES 4 unidades

La forma y dimensiones se deducen de las del exágono
ABCDEF de la figura 6, y se detallan en la figura 13.



PIEZA N° 11 4(1)

Figura 13

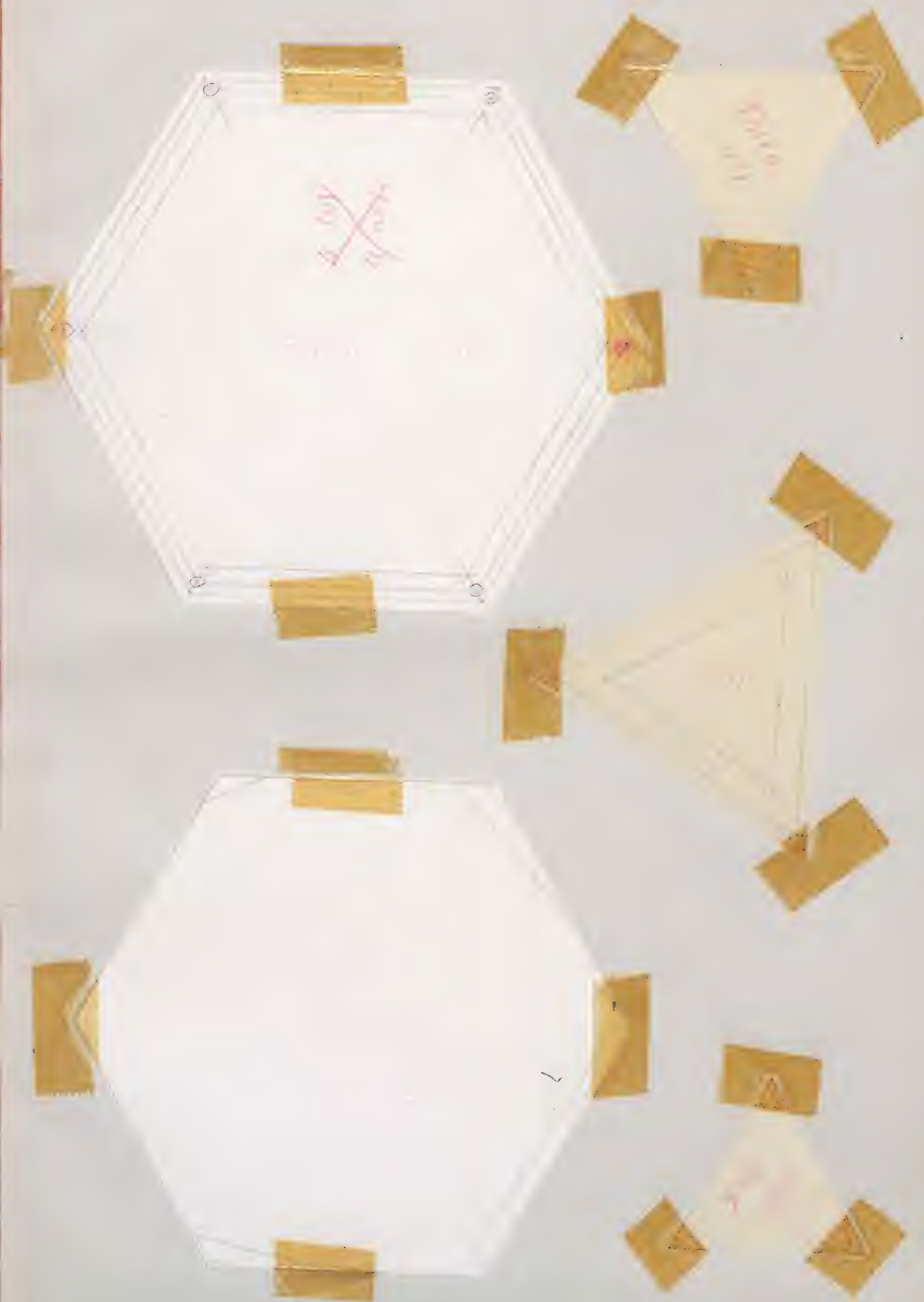
Figura 13



MODELO

M - 39.5

PATRONES



EJERCICIO 39.6

VARIANTE DEL MODELO CORPÓREO M-39.5,
 CONSISTENTE EN ADICIONAR AL MISMO, CUATRO
 PIRÁMIDES RECTAS, REGULARES, EXAGONALES,
 DE CARAS VACIADAS, QUE TENGAN POR BASES LAS CARAS EXAGONALES
 DEL ARQUIMEDIANO VII GENERADO, Y
 POR VÉRTICES, LAS PROYECCIONES, SOBRE LA
 ESFERA CIRCUNSCRITA AL TETRAEDRO GENERADOR
 DE LOS CENTROS DE LAS CARAS
 EXAGONALES Y DESDE EL CENTRO "O" DEL POLIEDRO.

Radio de la esfera circunscrita

$$r' = 110 \text{ m m}$$



ENUNCIADO:

Construir el modelo corpóreo obtenido al añadir al modelo M-39.5, cuatro pirámides rectas, regulares, hexagonales, de caras vaciadas, que tengan por bases las caras hexagonales del Arquimediano VII generado, y por vértices, las proyecciones sobre la esfera circunscrita al tetraedro generador, de los centros de dichas caras hexagonales, desde el centro "O" del poliedro.

Como se deduce del enunciado, ha de construirse previamente un modelo igual al M-39.5, al cual ha de añadirse cuatro pirámides de caras vaciadas, cuyo desarrollo y dimensiones estudiamos a continuación:

La altura " h_6 " de dichas pirámides, se obtiene como diferencia del radio " r_{ec}^4 " de la esfera circunscrita al tetraedro regular generador, y del radio " r_{ei}^{VII-6} " de la esfera inscrita tangente a las caras hexagonales del Arquimediano generado. Así pues, será:

$$h_6 = r_{ec}^4 - r_{ei}^{VII-6} \quad (1)$$

El radio r_{ec}^4 , se obtuvo en el ejercicio G.E. n.º... Lámina 1, en función de la arista a_4 del tetraedro generador. Su valor es

$$r_{ec}^4 = \frac{\sqrt{6}}{4} a_4 \quad (2)$$



El radio " r_{ei}^{VII-6} " de la esfera tangente a las caras hexagonales del Arquimедiano VII, se obtuvo en el ejercicio G.E. n°... Lámina 39. Su valor, en función de la arista " a_{VII} " de dicho Arquimедiano, es:

$$r_{ei}^{VII-6} = \frac{\sqrt{6}}{4} a_{VII} \quad (3)$$

y substituyendo a_{VII} por su valor $a_{VII} = \frac{1}{3} a_4$ (ver fórmula (3) h 10 del modelo M-39.5, tendremos

$$r_{ei}^{VII-6} = \frac{\sqrt{6}}{4} a_{VII} = \frac{\sqrt{6}}{4} \cdot \frac{1}{3} a_4 = \left[\frac{\sqrt{6}}{12} a_4 \right] \quad (4)$$

Substituyendo en (1) los valores (2) y (4), tendremos:

$$h_6 = r_{ec}^4 - r_{ei}^{VII-6} = \frac{\sqrt{6}}{4} a_4 - \frac{\sqrt{6}}{12} a_4 = \left(\frac{\sqrt{6}}{4} - \frac{\sqrt{6}}{12} \right) a_4 =$$

$$= \left(\frac{3\sqrt{6} - \sqrt{6}}{12} \right) a_4 = \frac{2\sqrt{6}}{12} a_4 = \left[\frac{\sqrt{6}}{6} a_4 \right] \text{ de donde se obtiene finalmente:}$$

$$h_6 = \frac{\sqrt{6}}{6} a_4 \quad (5)$$

Substituyendo a_4 por su valor $a_4 = \frac{2\sqrt{6}}{3} r_{ec}^4$, en función del radio r_{ec}^4 de la esfera circunscrita al tetraedro generador, obtenidos en la hoja 11 del modelo M-39.5, tendremos:

$$h_6 = \frac{\sqrt{6}}{6} a_4 = \frac{\sqrt{6}}{6} \times \frac{2\sqrt{6}}{3} r_{ec}^4 = \frac{2 \times 6}{3 \times 6} r_{ec}^4 = \left[\frac{2}{3} r_{ec}^4 \right] \quad (6)$$

Para obtener la longitud de la arista " α_6 " de las caras laterales de las pirámides escagonales, tendremos en cuenta que " α_6 " es la hipotenusa de un triángulo rectángulo, de catetos $h_6 = r_{ec}^6$, y otro igual al radio de la circunferencia circunscrita a la cara hexagonal del Arquimediano VII, que es igual a la arista α_{VII} del mismo.

Por consiguiente, tendremos:

$$\alpha_6 = \sqrt{(h_6)^2 + (\alpha_{VII})^2} \quad (7)$$

En la cual $h_6 = \frac{2}{3} r_{ec}^4$ (ver fórmula (6) de este ejercicio)

y $\alpha_{VII} = \frac{2\sqrt{6}}{9} r_{ec}^4$ (ver fórmula (5) del modelo M-39.5, hoja 12)

Sustituyendo valores en (7), tendremos:

$$\begin{aligned} \alpha_6 &= \sqrt{(h_6)^2 + (\alpha_{VII})^2} = \sqrt{\left(\frac{2}{3} r_{ec}^4\right)^2 + \left(\frac{2\sqrt{6}}{9} r_{ec}^4\right)^2} = \sqrt{\left(\frac{2}{3}\right)^2 + \left(\frac{2\sqrt{6}}{9}\right)^2} r_{ec}^4 = \\ &= \sqrt{\frac{4}{9} + \frac{24}{81}} r_{ec}^4 = \sqrt{\frac{36+24}{81}} r_{ec}^4 = \sqrt{\frac{60}{81}} r_{ec}^4 = \sqrt{\frac{20}{27}} r_{ec}^4 \end{aligned}$$

de donde se obtiene finalmente

$$\alpha_6 = \sqrt{\frac{20}{27}} r_{ec}^4 \quad (8)$$

El lado de la base de la pirámide es el de la arista α_{VII} del Arquimediano VII. Su valor es

$$\alpha_{VII} = \frac{2\sqrt{6}}{9} r_{ec}^4 \quad (9)$$

(Ver fórmula (5), hoja 12, del modelo M-39.5)

Las fórmulas (8) y (9) nos permiten calcular los elementos necesarios para el desarrollo lateral de las pirámides exagonales rectas regulares que se adicionan al modelo M-39,5 para obtener el que se estudia.

Para este caso particular de $\tau_e^d = 110 \text{ mm}$, será:

$$\boxed{d_6} = \sqrt{\frac{20}{27}} \tau_e^d \approx 0,860662966 \dots \times 110 \approx \boxed{94,7 \text{ mm}}$$

2

$$\boxed{d_{vII}} = \frac{2\sqrt{6}}{9} \tau_e^d \approx 0,544331054 \dots \times 110 \approx \boxed{59,9 \text{ mm}}$$

Para la construcción de este modelo, se precisan las siguientes piezas:

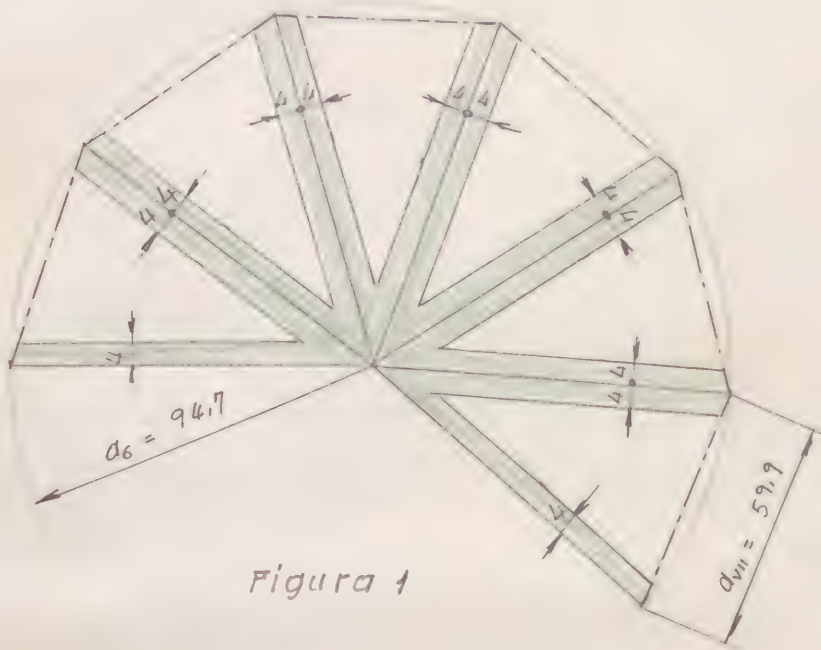
- A) MODELO CORPÓREO DEL ARQUIMEDIANO VII, OBTENIDO POR TRUNCADURA DE VÉRTICES DE UN TETRAEDRO REGULAR CONVEXO, A LA DISTANCIA $\frac{1}{3} d_4$

PIEZAS 1 al 11 iguales a las del Modelo M-39,5

- B) PIRÁMIDES EXAGONALES, REGULARES, RECTAS, DE CARAS VACIADAS, QUE SE ADICIONAN AL MODELO M-39,5

PIEZA Nº 12 DESARROLLO LATERAL DE LAS PIRÁMIDES
ADICIONADAS 4 unidades

La forma y dimensiones se detallan en la figura 1



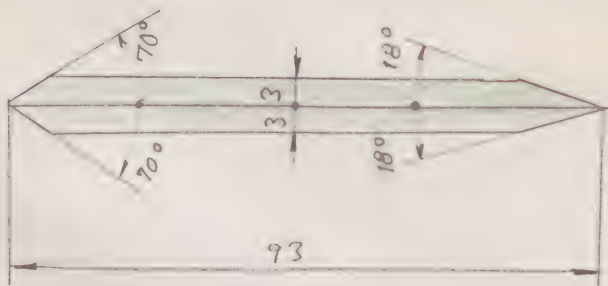
PIEZA Nº 12

4 (4)

Figura 1

PIEZA Nº 13 UNIONES ADISTAS 24 unidades

La forma y dimensiones se detallan en la figura 2



PIEZA Nº 2

24 (6)

Figura 2



Quince los cuatro vértices del tetraedro generador, y los cuatro vértices de las pirámides adicionales, rectas regulares, están sobre la esfera circunscrita de radio $r_{cc}'' = 110 \text{ mm.}$ y cada vértice equidista de los tres más próximos que lo rodean, al unirlos entre sí, se formará un exaedro regular convexo, en el que está inscrito el poliedro que forma el contenido de este modelo M-39.6

Para destacar esta propiedad, completaremos este modelo con el mencionado exaedro regular convexo, de caras vaciadas. Así pues lo ampliaremos con las siguientes piezas:

c) EXAEDRO REGULAR CONVEXO DE CARAS VACIADAS

PIEZA N° 14 CARAS SUPERFICIALES 6 unidades

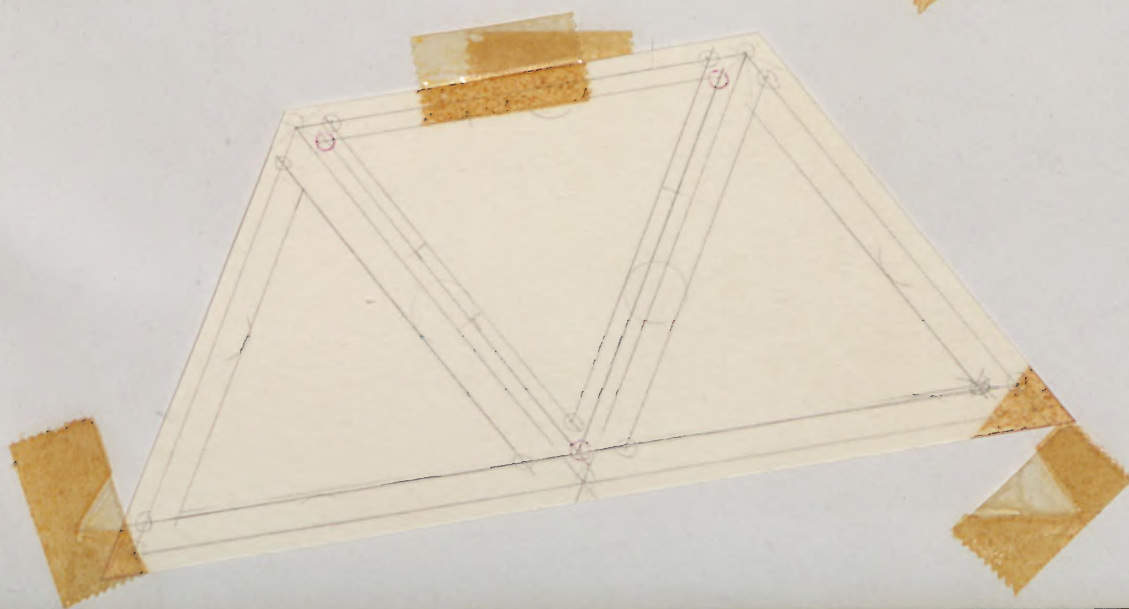
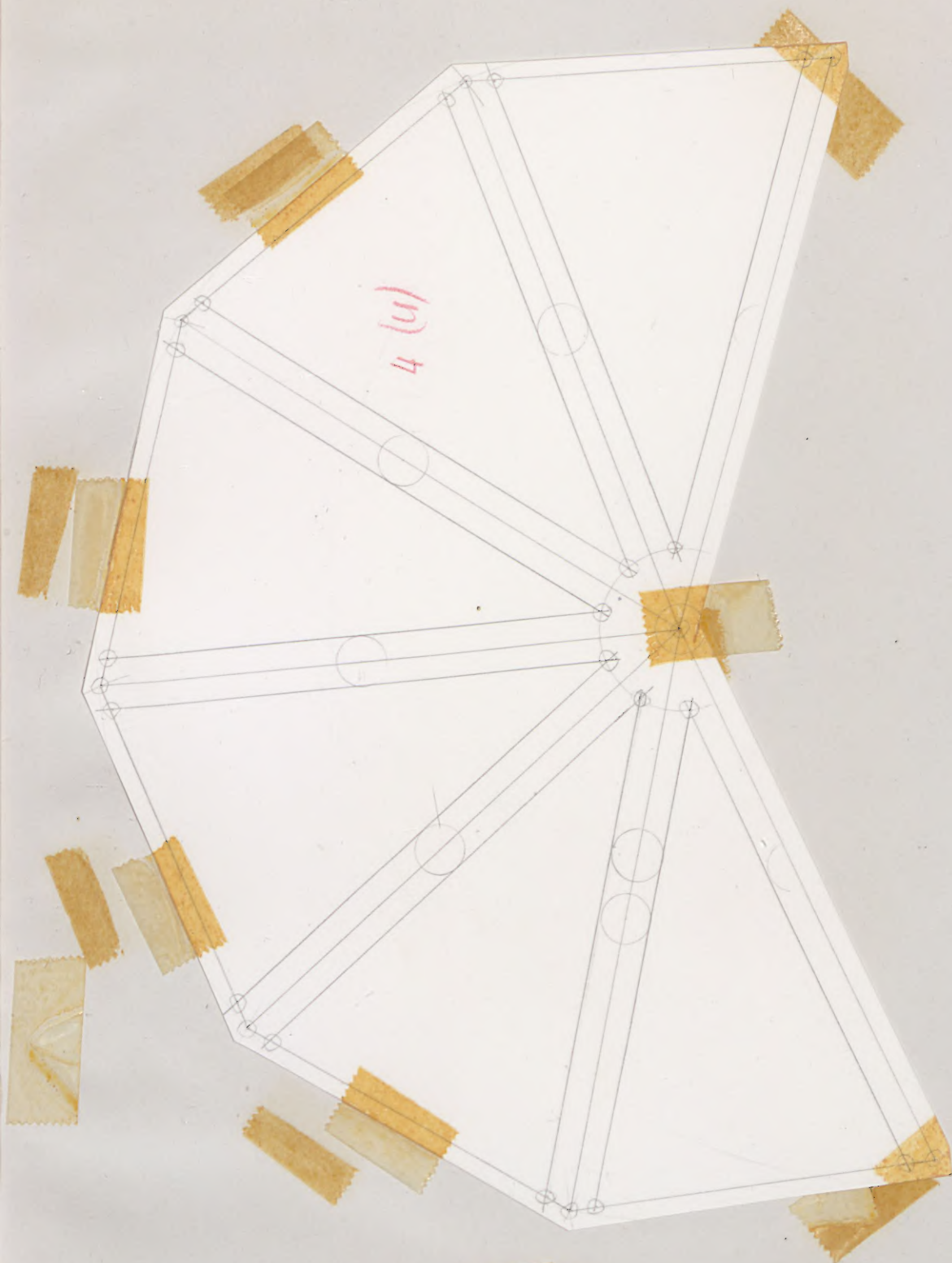
Iguales a la pieza n° 1 (fig. 1) del modelo M-2,102

PIEZA N° 15 UNIONES ARISTAS 12 unidades

Iguales a la pieza n° 2 (figura 2) del modelo M-2,102

MODELO M - 39.6

PATRONES



colorchecker classic



calibrite